

T.C.
AKDENİZ ÜNİVERSİTESİ
FEN BİLİMLERİ ENSTİTÜSÜ

SİSMİK YÖNTEMLERDE ZEMİNLERİN Q KALİTE FAKTÖRÜ
ÜZERİNE İNCELEMELER

YÜKSEK LİSANS TEZİ
JEOFİZİK MÜH. ŞÜKRÜ ARI

T607/1-1

ANA BİLİM DALI: JEOFİZİK MÜHENDİSLİĞİ

Tezin Enstitüye Verildiği Tarih: 25.09.1992
Tezin Savunulduğu Tarih : 23.10.1992

Tez Danışmanı : Prof. Dr. D. Ali KEÇELİ
Diğer Juri Üyeleri: Yrd. Doç. Dr. Züheyr KAMACI
Yrd. Doç. Dr. Mahmut MUTLUTÜRK

EYLÜL 1992

İÇİNDEKİLER

GÖSTERİMLER	v
ÖZET	vi
ABSTRACT	viii
BÖLÜM 1. GİRİŞ	1
BÖLÜM 2. TEMEL KAVRAMLAR	4
2.1. Elastisite Tanımı	4
2.2. Sismik Dalga Çeşitleri	4
2.2.1. Cisim Dalgaları	5
2.2.1.1. Boyuna Dalgalar	5
2.2.1.2. Enine Dalgalar	7
2.2.1.2.a SH Dalgalar	8
2.3. Sismik Kırılma Yöntemi	9
2.4. Uygulamada P ve S dalgalarının elde edilişi	10
2.4.1. P Dalgası	10
2.4.2. SH Dalgası	11
2.5. Dinamik Elastik Parametreler	12
2.6. Arazide Kullanılan Sismik Cihaz	14
2.6.1. Sinyal Biriktirici	15
2.6.2. Kazanç	15
2.6.3. İz Büyüklüğü	15
2.6.4. Hafıza Dondurma	15
2.6.5. Hafıza Silme	15

2.6.6. Osilograf	15
2.6.7. Frekans	15
2.6.8. CRT kadrani	16
2.7. Kullanılan Ekipmanlar	16
2.8. Jeofonların Özellikleri	16
2.8.1. Jeofonun Frekansı	19
BÖLÜM 3. ÇALIŞMA ALANININ GENEL JEOLOJİSİ	21
3.1. Çalışma Alanının Jeolojisi	21
3.1.1. Mesozoik	22
3.1.1.1. Söbüdağ Formasyonu	22
3.1.2. Senozoik	24
3.1.2.1. Konglomera ve Alüvyon	25
BÖLÜM 4. JEOLOJİ MÜHENDİSLİĞİNDE Q KALİTE FAKTÖRÜ	27
BÖLÜM 5. ZEMİNLERİN SINIFLANDIRILMASINDA KULLANILAN JEOTEKNİK PARAMETRELER	30
5.1. Jeoteknik Parametrelerin Önemi	33
5.2. Sismik Alanları Belirleyen Jeoteknik Haritaların Özellikleri	34
5.3. Sismik Şiddet Artışına Neden Olan Faktörler	36
5.3.1. Sismik Akustik Empedans	36
5.3.2. Yeraltı Su Seviyesi	37
5.3.3. Taşıma Gücü	38
5.3.4. Sismik Yöntemlerle Zemin Emniyet Gerilmesinin Saptanması	39
5.3.4.1. Duraylı Zeminler	40
5.3.4.2. Koşullara Bağlı Duraylı Zeminler	40
5.3.4.3. Duraysız Zeminler	40
5.3.5. Zeminin Hakim Titreşim Periyodu	41

BÖLÜM 6. JEOFİZİK MÜHENDİSLİĞİNDE Q KALİTE FAKTÖRÜ	43
6.1. Zeminlerde İnsitu Deneyleriyle Anatasyonun Ölçülmesi	43
6.2. Jeofizik Mühendisliğinde Sismik Yöntemle Q Belirleme Yöntemleri	47
6.2.1. Uzaklıkla Genlik Kayması	47
6.2.2. Spektral Oran Yöntemi	48
6.2.3. Rise-Time Metodu	50
BÖLÜM 7. UYGULAMALAR VE YORUMLAR	54
TARTIŞMA	113
SONUÇLAR VE ÖNERİLER	124
TEŞEKKÜR	
KAYNAKLAR	
ÖZGEÇMİŞ	

GÖSTERİMLER

A : Atış noktası (enerji kaynağı)
B : Hıza bağımlı olan kritik sönüm faktörü
 E_d : Dinamik elastisite modülü
 f_0 : Doğal frekans
 f_p : P dalga frekansı
 f_s : S dalga frekansı
G : Dinamik kayma modülü
h : Tabaka kalınlığı
 h_o : Sönüüm faktörü
 J_1, J_2 : Jeofon kayıt noktaları
 J_r : Eklem pürüzlülük sayısı
 J_a : Eklem alterasyon sayısı
 J_w : Eklem su indirgeme faktörü
K : Yayın eğilmezlik katsayısı
M : Kütle
P : Boyuna sismik dalga
RQD: Kaya kalitesi tanımlaması
S : Enine sismik dalga
SRF: Gerilme indirgeme faktörü
SH : Yatay polarlanmış enine dalga

SV : Düşey polarlanmış enine dalga
Ti : Kesme zamanı
t : zaman
T : Peryot
Vp : Boyuna dalga hızı
Vs : Enine dalga hızı
X : Uzaklık
Xc : Kritik uzaklık
 ρ : Ortamın yoğunluğu
 μ : Poisson oranı
 λ : Puls genişliği
Qp : Boyuna dalga hızından hesaplanan kalite faktörü
Qs : Enine dalga hızından hesaplanan kalite faktörü

ÖZET

Son yıllarda kayaçların elastik olmayan özelliklerini belirlemek için sismik enerji sönmünün belirlenmesi çalışmalarının arttığı görülmektedir.

Zeminlerin anelastik sönmünü belirlemek, mühendislik yapılarının temel etüdlerinde çok önemlidir. Değişik çalışmalarında, zeminlerin hakim titreşim periyodu, zeminin taşıma gücü, sismik akustik empedans, yerin stabilitesi ve yeraltı su seviyesine bağlı olarak zeminler sınıflandırılmış ve yerel jeoteknik haritalar hazırlanmıştır. Bu çalışmada bu parametrelerin yanı sıra çeşitli jeolojik birimler için elastik parametreler ve sismik enerji sönmünden elde edilen Q kalite faktörü in-situ ölçümleri ile tesbit edilmiştir.

Q kalite faktörünün tesbitinde kullanılan Rise-Time yöntemi puls genişliğinden saptanmıştır. Rise-Time yöntemi Q değerinin bulunmasında en yaygın olarak kullanılan bir yöntemdir.

Bu çalışmada ilk defa Q kalite faktörü ile sismik hızlar (V_p, V_s) ve elastik parametreler (E, G) arasında deneysel olarak empirik bağıntılar bulunmuştur. Bu bağıntılara göre Q ile V , E , G arasında $y = ax$ gibi lineer bağıntı olduğu saptanmıştır. Ayrıca enine ve boyuna dalga hızlarından elde edilen Q_p ve Q_s arasında da lineer bir bağıntı olduğu saptanmıştır.

Bu tez çalışmasına göre mühendislik jeolojisinde kullanılan Q kalite faktörü gibi mühendislik jeofiziğinde elde edilen Q kalite faktörü ile jeolojik yapıların mühendislik özelliklerinin incelenileceği gösterilmiştir.

ABSTRACT

In recent years it is seen that to determine the inelastic properties of rocks, seismic energy attenuation studies have increased.

It is very important to determine the inelastic attenuation of unconsolidated sediment for foundation studies of engineering structures. In various studies ground have been classified with respect to predominant periods of soils, bearing capacity, seismic acoustic impedance, ground stability and under ground water level and local geotechnical maps have been prepared. In this study, in addition to these parameters for various geological formations Q quality factors which have been obtained from seismic energy attenuation and elastic parameters have been determined by means of in-situ measurements.

The Rise-time method which is used for determining quality factor Q has been obtained from pulse band. This method has been used very often to find the Q values.

With this study, for the first time, empirical equations among quality factor Q, seismic velocities (V_p, V_s) and elastic parameters (E, G) have been found experimentally. According to these equations it has been seen that there is a linear equation such as $y = ax$ between Q and V_p, V_s . Further more, it has been determined that there is a linear equation between Q_s and Q_p which have been obtained from the compressional and shear wave velocities.

According to this study, it has been pointed out that quality factor Q used in engineering geophysics can be studied in determining the engineering properties of geological structures as well as quality factor Q used in engineering geology.

GİRİŞ:

Arama jeofiziği yöntemlerinden biri olan sismik yöntemlerle ekonomik kütlelerin aranması ve mühendislik problemlerinin çözümünde yeraltı tabakalarının kalınlığı, elastik özellikler, sıvı saturasyonu, yapısal bozuklukları (faylı ve karstik yapılar v.b.) ve sismik enerji sönümünden zeminin kalite faktörü belirlenebilmektedir. Gelişen teknolojik bilgiler ışığında sismik yöntemler yol inşaatlarında binaların temel özelliklerinden, zemin taşıma gücü, zeminin hakim titreşim peryodu, sismik aküstik empedans, tabaka eğimi, elastik parametreleri v.b. gibi çeşitli mühendislik problemlerinde sıkça kullanmaya başlanmıştır.

Bu sözü edilen mühendislik problemlerinin çözümünde sismik boyuna (P) ve enine (S) dalgalarının elde edilmesi çok önemlidir. Bunun yanı sıra elastik parametrelerin prospektiyonu daha ziyade mühendislik yapılarının doğa afetlere karşı önlemlerinin alınması için saptanması gereken parametrelerdir.

Sismik enerji sönümü ile ilgili çalışmalar son yıllarda giderek artmış, sönüm tesbiti için üç yöntem geliştirilmiştir. (Haterly, 1986) uzaklıkla genlik kayması

üzerine çalışmıştır. (Blair ve Spathis, 1974)'e göre ise spektral oran yöntemi sınırlıdır.

Gladwin ve Stacey (1974), Kjartanson (1979) çalışmalarında sinyalin geliş zamanının dalga genişliği ile orantılı olduğunu göstermiştir. Gladwin ve Stacey'e göre Q kalite faktörünü belirlemenin en iyi yolu Rise-Time metodudur.

Tanif ve Baurbine (1987)'ye göre sinyal sınırlandırılmamasının geometrik kaymadan bağımsız olması ve sinyalin ilk geleninin gürültü içermemesi Rise-Time metodunun üstünlüğünü ortaya koymaktadır.

Anelastik bir ortamda bir sismik enerji kaynağı tarafından üretilen sismik dalganın sözümü, bir ortamda sismik dalga yayınırken enerji miktarının azalmasıdır. Bu tür enerji sözümünün büyülüklüğü ortamın fiziksel özelliklerini kadar bir sismik kaynağın da fonksiyonu olarak tanımlanabilir.

Uygulamada sismik enerji sözümüne neden olan faktörler:

- a) Sismik enerji kaynağı ile alıcı jeofon arasındaki uzaklık, buradaki olay sismik dalga cephesinin uzağa gitmesi ve kaynaktan uzaklaşması ile sismik dalganın genliğinin azalması olayıdır.
- b) Ortamın elastik olmayan özelliğine bağlıdır. Bu genellikle sözümün tersi olan Q kalite faktörü ile

karakterize edilir.

- c) Ara yüzeylerde sismik enerjinin bölünmesine bağlıdır.

Konsolide olmamış ve olmuş sedimanter zeminler üzerinde Q kalite faktörünün yerinde (in-situ) ölçümlerini elde etmek için mühendislik fakültesinin kampüs alanı içerisinde ve civarında sismik enine ve boyuna dalga profilleri alınmıştır. Enine ve boyuna sismik kırılma dalgalarından ortamın elastik parametreleri ve ortamın Q kalite faktörü tesbit edilmiştir.

Bu çalışmanın amacı zeminin türüne göre sismik hızla orantılı olan Q kalite faktörünün ve elastik parametrelerin belirlenmesi ve bu parametreler arasında bir ilişki kurulmasıdır. Bunun için bölgenin jeolojisi tanıtılmıştır. Jeolojik verilerle zeminlerin özellikleri sağlıklı bir biçimde tayin edilemediği durumlarda jeofizik yöntemler devreye girer. Bunun için jeofizik arama yöntemlerinden olan sismik kırılma yöntemiyle çeşitli zeminlerin Q kalite faktörü ve diğer elastik parametrelerin bulunması yoluna gidilmiştir. Kalite faktörü ile elastik parametreler arasında bir ilişki kurulmaya çalışılmıştır. Böylelikle sözkonusu zeminler hakkında yararlı bilgiler elde edilmiştir.

2. TEMEL KAVRAMLAR

2.1 Elastisite Tanımı

Zemin mekaniğinde bir ortama belirli bir limiti aşmak koşulu ile deformasyon oluşturan dış kuvvetler ortadan kalkarsa oluşan deformasyon geri döner. Tümüyle ortadan kalkar. Bu duruma elastiklik denir. Yükleme sırasında oluşan deformasyonların boşalma sonrasında geriye dönmeden kalmasına plastiklik denir. Mühendislik jeofiziğinde ise patlatma veya vuruş noktasından itibaren gerilmeler elastik dalga olarak yayılır. Bir sismik dalga bir ortamda yayıldığında geçtiği ortamda belli değişiklikler olur. Bu değişikliklerin miktarı ve tipi dalganın içeriğine ve ortamın fiziksel özelliklerine bağlıdır.

Kayaçlarda sismik dalgaların yayılması, bir partikülün deformasyonunun katı içersinde, katının elastik özelliklerine ve yoğunluğuna bağlı olarak suratla ilerlemesi şeklinde olur. Bu bağımlılığı belirlemek için kuvvetlerin neden olduğu deformasyonları iyi tanımk gerekir.

2.2. Sismik Dalga Çeşitleri

Sismik dalgacık; (seismic wavelet) sismik enerji kaynağından çıkıp yer içinden geçerek jeofona (alıcıya) gelirken ki bir tek parçacığın hareketinin çizdiği şekil olarak tanımlanır. Normalde, sismik enerjinin çizdiği yol üzerinde geçen her tabaka homojen, izotrop ve tam elastik olduğu varsayıılır.

Yer içinde homojen, izotrop ve tam elastik bir ortamda geometrik optigin temel yasalarına uyarak 2 tür sismik dalga yayılır. Bunlarda kendi içinde ikiye ayrılarak 4 tür sismik dalga yer içinde yayılmış olur. Bu dalgalar:

1. Cisim dalgaları (Body waves)
 - 1) Boyuna (P) sismik dalgalar
 - 2) Enine (S) sismik dalgalar
- 2 Yüzey dalgaları (Surface waves)
 - 1) Rayleigh (L_R) dalgaları
 - 2) Love (L_Q) dalgaları

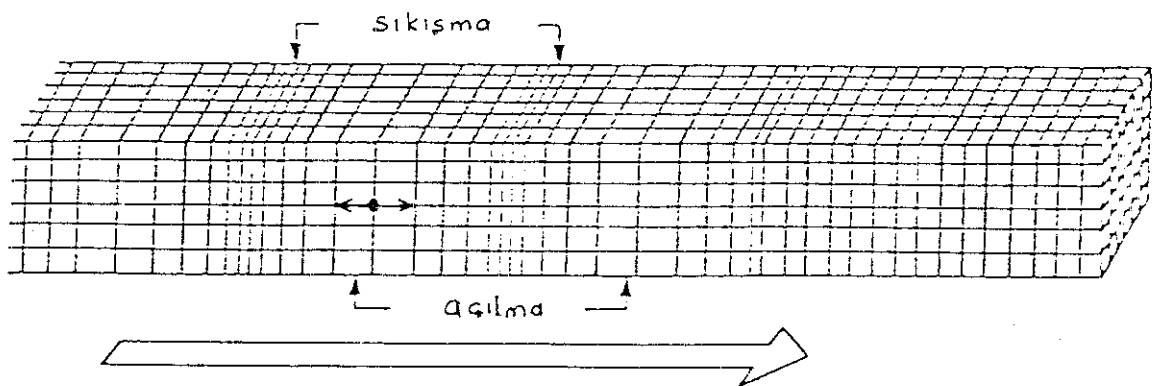
Bir sismografin kaydettiği sismik izde çeşitli dalgalar görülür. Bunlardan bir kısmı yeryüzünde, bir kısmı ise yer içinde yayılır. Yer içinde yayılan dalgalar boyuna ve enine dalgalarıdır. Mühendislik jeofiziğinde kullanılan bu dalga türlerine kısaca değinelim.

2.2.1 Cisim Dalgaları

2.2.1.1 Boyuna Dalgalar (P)

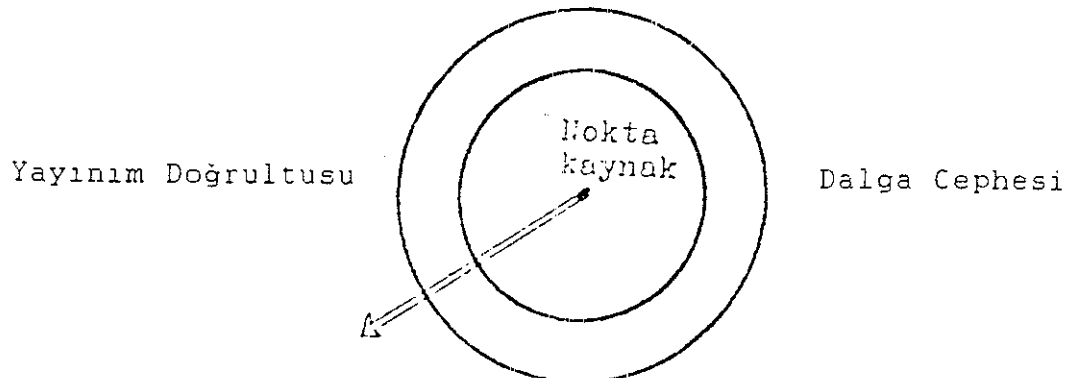
Bu dalga tipi kompresyonel veya primer (P) dalgası olarak bilinir. Cismin içinde yayının doğrultusuna paralel olarak titreşim gösteren dalgalarıdır (Şekil:2.1).

P - dalgası



Şekil:2.1 Yayının doğrultusu boyunca titreşen P dalgası (Bolt, 1982)

Hugens prensibine göre nokta kaynaktan küresel olarak titreşim gösteren P dalgaları, dalga cepheleri şeklinde yayılırlarken iki sıkışma veya iki genişleme dalgaları arasında bir dalga boyuna sahip olurlar (Şekil:2.2).



Şekil:2.2 Nokta kaynaktan boyuna dalga yayılması (Dobrin;1982)

Boyuna dalga hızı, ortamın elastik sabitleri ve birim hacim hacim ağırlığına aşağıdaki bağıntıda açıklandığı şekilde bağlıdır.

$$V_p = \sqrt{(\lambda + 2G) / \rho} = \sqrt{E/\rho} * 1 - \mu / (1+\mu) (2.1)$$

Burada V_p : Boyuna dalga hızı

λ : Lame sabiti

G : Kayma modülü

ρ : Yoğunluk

E : Elastisite modülü

μ : Poisson oranı modülü

K : Bulk modülü

Sismik yöntemlerde P boyuna dalgaların çok kullanılmasının nedeni, P dalgalarının oluşturulmasının çok kolay olması, her türlü ortamda yayılmaları, ortamda en hızlı yol alan dalgalar olup jeofonlara ilk gelen dalgalar olmasındandır.

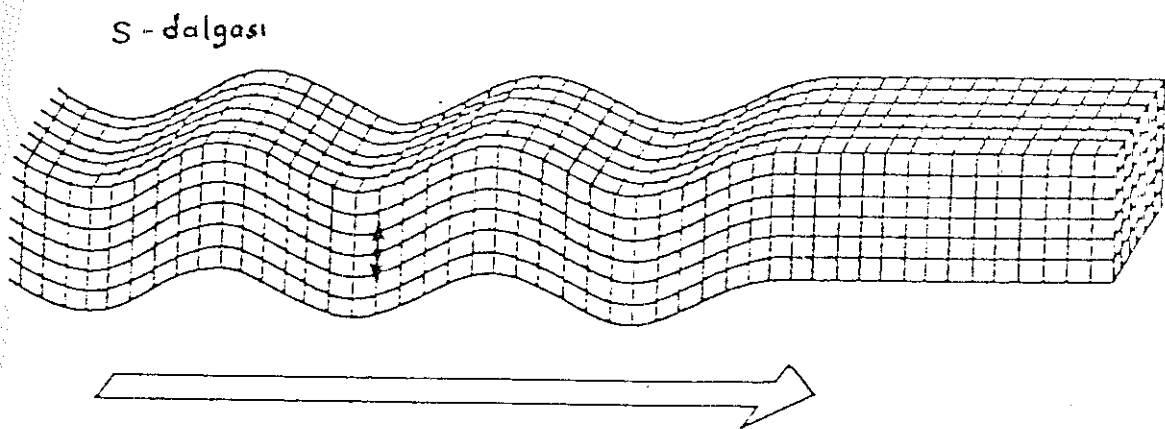
(P) ve (S) dalgaları farklı hızlarda dağıldıkları gibi farklı frekanslarda yayılırlar. Bu dalgaların dalga boyu frekans ve hız karşılaştırması aşağıdaki gibidir.

$$\frac{\lambda_P}{\lambda_S} = \frac{V_P}{V_S} \cdot \frac{f_S}{f_P} \quad \lambda_P = \frac{V_P}{f_P} \quad \text{ve } \lambda_S = \frac{V_S}{f_S} \quad (2.2)$$

2.2.1.2 Enine Dalgalar

Seconder dalgalar olarak bilinen S dalgaları yayınım

doğrultusuna dik düzlem içersinde titreşirler. S dalgası SH ve SV olmak üzere iki bileşene sahiptir. Çalışmamızda kullandığımız dalga bileşeni SH'dir.



Şekil:2.3 S dalgalarında partiküllerin yatay olarak polarlanmış enine dalgaları (Bolt , 1982)

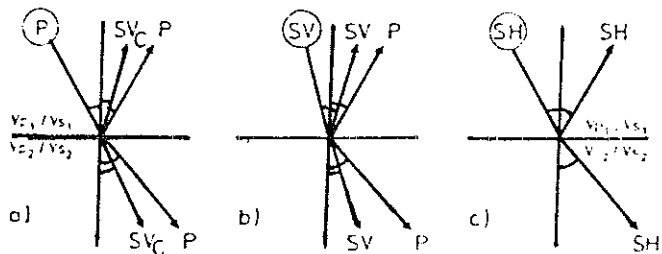
Enine dalga, ortamın elastiki sabitlerine ve yoğunluğuna aşağıdaki şekilde bağlıdır.

$$V_s = \sqrt{\frac{E}{\rho}} = \sqrt{\frac{E}{\rho}} \cdot \frac{1}{2(1 + \nu)} \quad (2.3)$$

Enine dalgalar P dalgalarından daha alçak frekanslara sahiptir.

2.2.1.2.1 SH Dalgaları

SH dalgalarının bir ortamda yayılışı P ve S dalgalarına göre daha basittir. Bir süreksizliğe gelen hiçbir dalga SH dalgalarının yansımı ve kırılmasından oluşmaz.



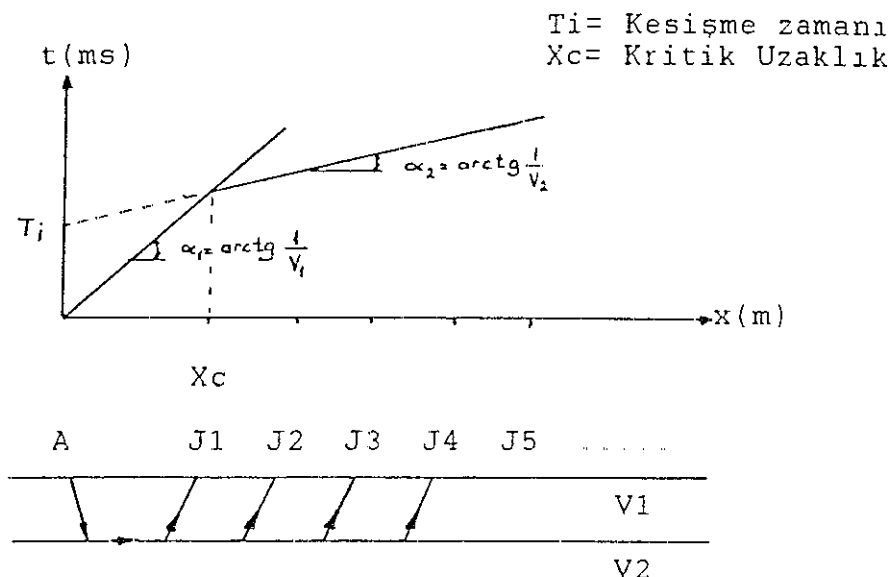
Şekil:2.4 iki elastik ortam arasındaki arayüzeye gelen elastik dalganın dağılımı (Prakla report,1986)

Yalnız SH dalgaları yayan bir sismik kaynak yardımıyla elde edilen kayıtlar oldukça basittir ve kolaylıkla değerlendirilebilir.

Burada çalışmış olduğumuz sismik enine dalga SH dalgası olduğu için sadece buna değinilmiştir.

2.3. Sismik Kırılma Yöntemi:

Yeryüzünde bir A noktasında bulunan bir kaynaktan çıkan sismik dalgaların yer içersinden kırılıarak yayıldıktan sonra yeryüzündeki jeofonlara gelmeleri için geçen zamandan faydalananarak yeraltındaki tabakalı jeolojik yapıyı tanıtmaya yarar. Sismik kırılma yöntemi Mühendislik Jeofizигinde temel kayanın derinliğini ve fiziksel özelliklerini saptamak için kullanılır. Yeraltı homojen ve dalga hızı sabitse, kayıtlardan elde edilen zaman, uzaklığın fonksiyonu olarak grafiklenirse zaman-uzaklık grafikleri elde edilir. Bu grafik bir doğrudur. Bu doğru denklemle ifade edilir.



Şekil:2.5. Sismik Kırılma yönteminde Yol-zaman grafiği ve ortamda dalga yayılımı

Şekilde de görüldüğü gibi zaman-uzaklık grafiği iki tabakalı bir ortamın grafiğidir. Birinci tabakanın eğimi $1/V_1$ 'dir. X_c kadar mesafeden sonra eğimi daha az fakat hızı daha yüksek ikinci tabakanın eğimi vardır. Buranın eğimi $1/V_2$ dir. Birinci tabakanın kalınlığı h 'dir.

Bu ikinci doğru iki tabaka arasındaki sınırın etkisi ile oluşmuş P dalgalarına ilişkindir. A atış noktasından çıkan bir sismik dalga jeofonlardan kaydedilmeden önce bu arayüzey de yansır veya kırılırlar. Sınırın kritik iç açısı ile gelen dalgalar ($\sin(\text{ic}) \approx V_1/V_2$) sınır boyunca alt tabakada yayılarak sınırın kritik iç açısı ile birinci tabakaya geçerler ve jeofonlar yardımıyla yeryüzünde kaydedilirler. Çalışmalarda sismik kırılma yöntemiyle frekans 2 - 40 Hz. civarında olan kırılma dalgalarının kaydedildiği görülmüştür.

Kırılma olayını basit olarak iki tabaka için ele alırsak: $V_1 < V_2$ olmalıdır. Burada V_1 birinci tabakanın

hızı, v_2 ikinci tabakanın hızı, h_1 birinci tabakanın kalınlığıdır.

$$h_1 = \frac{T_i}{2} \sqrt{\frac{V_1 V_2}{V_2^2 - V_1^2}} \quad \text{ya da} \quad (2.4)$$

$$h_1 = \frac{x_c}{2} \sqrt{\frac{V_2 - V_1}{V_1 + V_2}} \quad \text{olarak ifade edilir.} \quad (2.5)$$

2.4. Uygulamada P VE S Dalgalarının Elde Edilişi:

2.4.1. P Dalgası:

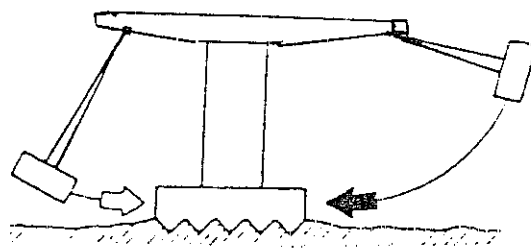
Sismik yöntemlerde P boyuna sismik dalgayı ölçmek için sismik profil boyunca düşey bileşenli jeofonlar ofset uzaklığından sonra eşit aralıklarla serilmiştir. Bu çalışmada enerji kaynağına yerleştirilen demir-dökümden imal edilmiş bir koniye 7 kg'lık bir balyoz ile darbeler uygulanarak P jeofonlarında boyuna sismik dalgalar kaydedilmiştir.

2.4.2. SH Dalgası:

Uygulamada kullandığımız enine sismik dalga SH dalgasıdır. Onun için bu dalganın elde edilişini ve ekipmanları kısaca ifade edelim.

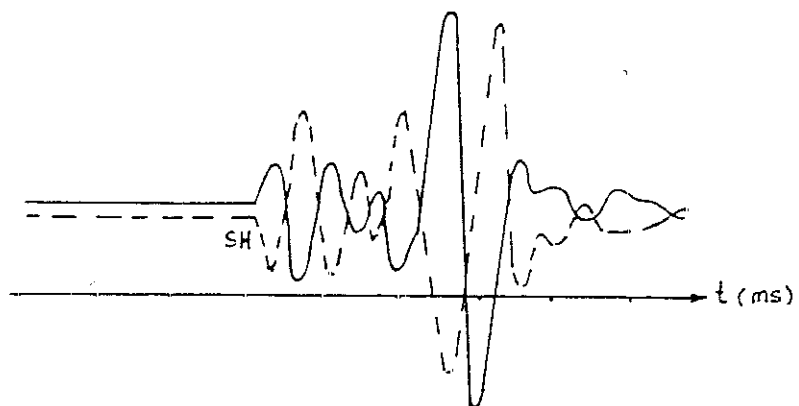
Enine dalgalarla çalışma yeteri derecede gelişmiş sismik beceriyle ve güvenilir bir enerji kaynağına ihtiyaç gösterir. Çalışma sırasında rastgele olan etkiler yok edilmelidir. Enerji çıkışı büyütülmeli ve elde edilmesi

istenen dalgaların polarizasyon yönü kontrol edilmelidir. Enine dalgaları elde etmek için değişik yöntemler geliştirilmiştir. Uygulamada yatay çekic̄ yöntemi kullanılmıştır. Mühendislik jeofiziğinde en çok kullanılan bir tekniktir. Burada tahta kalas yere sıkı bir şekilde yerleştirilir ve uçların birine yatay bir darbe ile vurulur. Bu uygulanan yatay kuvvet tahta kalasla yerde üretilen kesme mukavemetine eşitlenir. Aynı anda bir sıkışma gerilemesi, tahta kalasın diğer bir ucunda yaratılır (Şekil:2.6).



Şekil:2.6 Yatay çekic̄in prensibi. İki çekic̄ sıra ile yere yerleştirilmiş bir tahta kalasa vurulur.
© (Prakla Report., 1986)

Bu üretilen enine sismik dalgaının kaydı aşağıda görüldüğü gibidir (Şekil 2.7).



Şekil: 2.7 Zit yönde darbe ile oluşturulmuş SH enine Dalgası (Türker, 1988)

2.5. Dinamik Elastik Parametreler

Dinamik Elastisite Modülü (Ed):

Dinamik elastisite modülü (E) yoğunluk ve sismik hızlarından bulunabilir. Bu parametre jeolojik birimlerin sertliğin ve sağlamlığın bir ölçüsüdür.

$$Ed = \frac{3V_p^2 - 4V_s^2}{V_p^2 - V_s^2} \cdot Vs^2 \cdot 10^{-3} \quad \text{ve} \quad (2.6)$$

$$Ed = 2 \cdot g \cdot (Vs)^2 (\mu + 1) \quad (2.7)$$

Dinamik Rigidite (Kayma) Modülü (Gd):

$$Gd = g \cdot Vs^2 \cdot 10^{-4} \quad (2.8)$$

Dinamik kayma modülü yalnız enine dalga hızı ile yoğunluğa bağlıdır. Bunun için de enine dalga hızını belirlemek gereklidir. Deprem hasarlarını tahmin etmede Gd modülünün tayinin hayatı önem taşıdığı bilinir.

Dinamik Poisson Oranı (μ):

Dinamik Poisson oranı (μ) boyuna ve enine dalga hızlarından hesaplanır. Poisson oranı (V_p/V_s) hız oranına direkt olarak bağlıdır ve yoğunluk dikkate alınmadan hesaplanır.

$$\mu = \frac{0.5 (V_p / V_s)^2 - 1}{(V_p / V_s)^2 - 1} \quad (2.9)$$

Poisson oranı P ve S hızları eşit olduğu zaman negatif ve sonsuzdur. Bundan başka teorik olarak;

$$-\infty \leq \mu \leq 0.5 \text{ için} \quad V_s \leq V_p$$

olduğu söylenebilir. Fakat daha gerceği, (μ) Poisson oranı 0.0 ile 0.5 arasında değişir. (μ) yumuşak kayaçlar ve su ile doygun kayaçlar için yüksektir. Sert kayaçlar ve gaz ile doygun kayaçlar için düşüktür. Kristalen ve metamorfik kayaçlar genellikle ($\mu = 0.25$) civarında bir değer ile karakterize edilir.

Yoğunluk (ρ)

Sismik hızlar bilinirse, jeofizik literatüründe kuru ortam yoğunluğu empirik olarak tanımlanabilir. Bu empirik bağıntı aşağıda aşağıdaki şekilde verilmiştir.

$$\rho = 0.2 V_p + 1.6 (\text{gr / cm}^3) \quad (2.10)$$

Burada V_p hızı formüle km/s cinsinden konur.

2.6. Arazide Kullanılan Sismik Cihaz

Sismik kırılma tekniğiyle yapılan çalışmalarda kayıtlar Amerikan Geometrics Firmasının (EG & G-GEOMETRICS) üretimi, çok gelişmiş, 12 kanallı ve sinyal biriktirmeli ile alınmıştır. Her bir kanalın "time break'i (sıfır başlangıç zamanı) darbe anında çekiç üzerinde bağlanmış

anahtarla (açık durumdayken kapanıp açılan platinle) elde edilmektedir. Sismik dalgaların kırılmaları 0.5 ms (milisaniye) duyarlılıkla olabilmektedir.

2.6.1. Sinyal Biriktirici (Signal Enhancement) :

Hafızanın büyülüğu her bir kanalda 10 küçük parça ile 1024 sözcükten oluşur. Örnekler, sayısal hale getirilmiş ve birikmiş sinyaller hafızaya geçer. Tekrarlanmış sinyalleri üst üste biriktirerek kaydeder. Gürültülü gelen rastgele sinyaller silinir ve sınırlanır. 12 kanaldan istenilenler de hafıza dondurulabilir.

2.6.2. Kazanç (Gain) :

Her bir kanalın tek tek güçlendiricisini düzenler. Gain düğmesi, keyfi olarak 0-66 dB'le kadar 6 dB'lik kadalar halinde kalibre edilmiştir. Sistemin bütün kazancı ise bundan çok daha yüksektir. Her 6 dB'lik kademe, kazançların iki kat değerlerini vermektedir.

2.6.3. iz Büyüklüğü (Trace Size)

Değerlendirme sırasında en iyi iz büyüğünü belirlemekte kullanılır. Bu kontrol hafızaya girer. Veriler üzerinde herhangi bir etki yapmaz.

2.6.4. Hafıza Dondurma (Memory Freeze) :

Bu sistemin iz büyüğü düğmesinin yukarıya doğru çekilmesiyle çalışmaya başlar. Yaptığı iş tek tek her kanalı veri biriktirmekten veya veriyi silme işlemi yapmaktan engellemektir.

2.6.5. Hafızayı Silme (Clear Memory) :

Bu sistem kayının silinerek aletin yeni bir veriye hazırlanması için kullanılır.

2.6.6. Osilograf (Oscillograph) :

10 cm. genişliğindeki elektroya duyarlı ve kağıt üzerinde 12 kanalın hepsinde aynı zamanda oluşan sürekli kayıt alır. Kayıt ışıkta kararmaz ve fotokopisi alınır.

2.6.7. Frekans (Frequency):

Filtrelerin köşe frekansını seçer ve 30 Hz. ile 300 Hz. arasında ayarlanabilir.

2.6.8. CRT Kadranı (Cathode Ray Tube Display):

CRT ekranı gün ışığında karartma yapmadan görülebilir. Zaman çizgilerini seçen anahtarla değişik zaman uzunluğun-daki bölgelerde sinyal izleri izlenebilir.

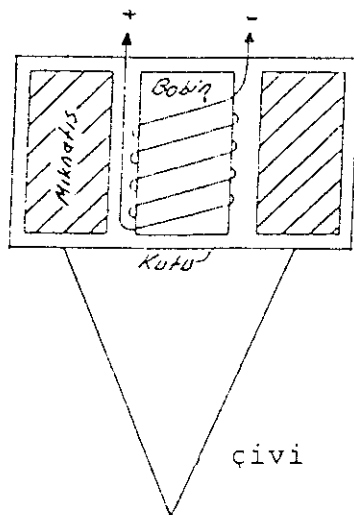
2.7 Kullanılan Ekipmanlar

- a) Sismograf
- b) 12 batarya kutusu
- c) Batarya şarj edici
- d) Güç kablosu (Sismograf ile batarya arasında)
- e) Çekiç ve çekiç anahtarı
- f) Kayıt kağıdı
- g) Jefon kablosu (Sismograf ile batarya arasında)
- h) Jeofonlar (Alicilar)
- i) Demir-döküm koni (veya alüminyum plaka).
- j) Tahta kalas (2m.X 0 1m. X 0 .3m.)

2.8. Jeofonların Özellikleri

Sismometreler ya da pratikteki adıyla jeofonlar, depremlerin kaydında aletlerin dayandıkları sarkaç ilkesine

göre yapılmışlardır. Ancak sismik yöntemlerde kullanılacak jeofonlar daha yüksek frekanslı dalgaları kaydedeceklerinden öz (doğal) peryotları daha küçük olması gereklidir. Ayrıca jeofon kolayca taşınabilmelidir. Taşınırken sarsıntı ve benzeri şeylerden etkilenmeyecek biçimde ve özellikle olmalıdır. Jeofon bir elektromekanik alettir. En basit ve en çok kullanılan tipi elektromagnetik tiptir. Elektromagnetik jeofonun şematik yapısı (Şekil:2.9)'de gösterilmektedir.

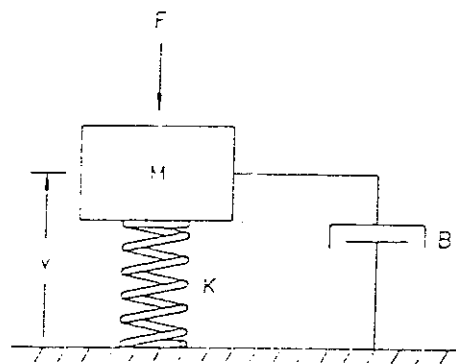


Sekil:2.9. Elektromagnetik tipli jeofonun yapısını gösteren şematik diyagram (Geospace rep ,1986)

Eletkromekanik alet diye adlandırılan jefon bir bobin ile bir mıknatıstan ibarettir. Bunlardan biri yere rıjît bir şekilde sabitleştirilir, diğer ise sabit bir dayanağa yay ile asılır. Buradaki bobin yere tesbit edilmiş olup, mıknatıs asılıdır ve bobin yerle birlikte hareket ederken mıknatıs atalet kütlesi görevini yapar. Bobinin mıknatısa göre hareketi bobinin iki ucu arasında hareketin hızı ile orantılı olan bir e.m.k. (elektromagnetik kuvvet) üretir.

Bobinin atalet kütlesi görevini tam yapması isteniyorsa bobinin ağır bir çekirdek etrafına sarılmış olması gereklidir.

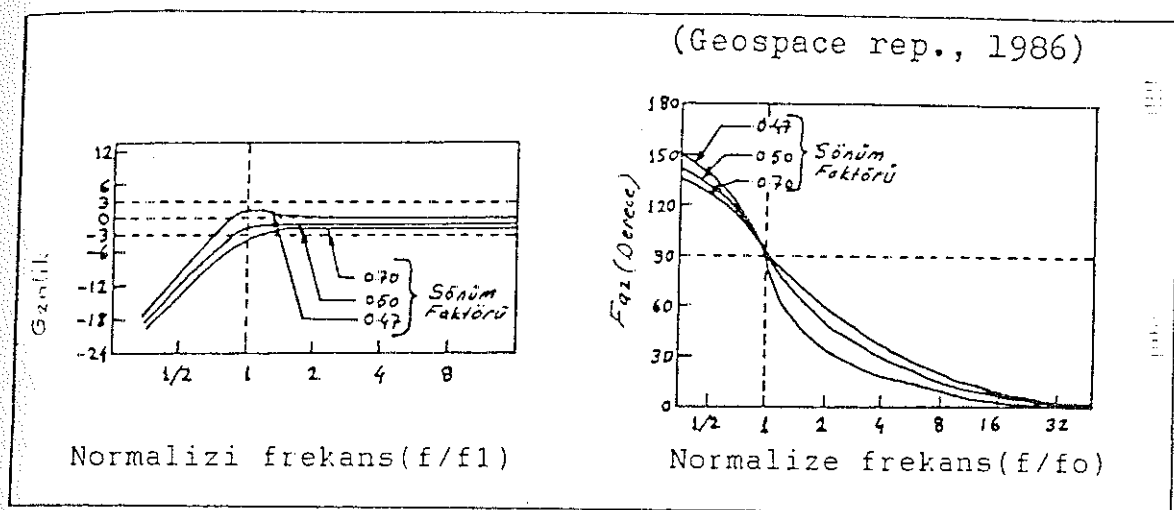
Bobin bir yay ile asılı, mıknatıs ise jeofonun gövde kışına bağlı jeofon tipleri bu tezde kullanılmıştır. Aletlerde, bobin ile mıknatısın birbirine göre harekitini incelemek için genel olarak sarkaç tipi aletlerin titresmini incelemek gereklidir. Zorlanmış bir titresim hareketi (yerin hareketi, zorlayan harekettir) karşısında bir sismometrenin veya jeofonun hareketi sönülü (sönüm, hız ile orantılı olarak varsayılmır) ve yerine getirme kuvvetinin (yer değiştirmeye ile orantılı) bulunduğu düşünülverek incelenir. Jeofonun mekanik eşdeğeri (Şekil 2.10)'da gösterilir.



Şekil 2.10. Jeofonun mekanik eşdeğeri(Geospace rep., 1986).

Burada jeofonun genel hareket denkleminde sırasıyla içinde yer alan kütle (M), yayın eğilmezlik katsayısı (K) ve hiza bağlı olan kritik sönüm faktörü (B)'dır. Dışarıdan uygulanan kuvvet jeofonun uzun eksenine paraleldir. Doğal frekans (f_0), sönüm faktörü ise (h_0) 'dır.

Bir harmonik sinyallarındaki tipik bir jeofonun cevap eğrilerinin, frekansın ve sönümün bir fonksiyonu olarak normalize edilmiş hali (Şekil 2.11)'de gösterilir.



Sekil:2.11 Tipik bir jeofon cevap eğrileri.

Normalize olan frekans, tıhriğin sesinin aktaran frekansa oranı olmaktadır. h_0 sönüüm faktörü, B izafi (nisbi) sönüümün, $2\sqrt{KM}$ oranıdır. Sıfır sönüüm için, çıkış (Output Amplitüd) doğal frekansta sonsuz olur. Açıkçası bu sadece teorik bir sonuçtur. Çünkü, sıfır sönüüm hiç elde edilmez. Sönüüm için artışlar, çıkış piki (Magnetüt) gittikçe azalır ve sönüüm faktörü (h_0), 0.5 ve 0.7 arasında pik görünmez ve düz olan cevabin alanı, onun maksimum miktarına sahip olur. Sönüüm için artışlar bu değerden ileridedir. Düşük frekansın cevabı tedricen düşer. Bundan dolayı jeofon çıkışındaki genlik bozunması (distortion) ilişkisiyle daha az ve daha fazladır. Jeofon cevaplari için kritik sönüüm faktörünün %70 lik seçimi kabul edilmiştir.

Bir jeofonun çıkış geneliği, giriş miktarıyla ilişkili olan faz kayması önemli yer tutar. Çünkü frekansla ve $n\pi$ 'nin bir engeliyle doğrusaldır. Yani, kayma $(kw+n\pi)$ 'ye eşittir. Burada k bir sabit ve n bir tam sayıdır. Herhangi bir jeofona giren sinyalin A Coswt olması halinde jeofondan çıkan sinyal aşağıdaki gibi olmaktadır.

$$B \cos(wt+kw+n\pi) = tB \cos w(t+k)$$

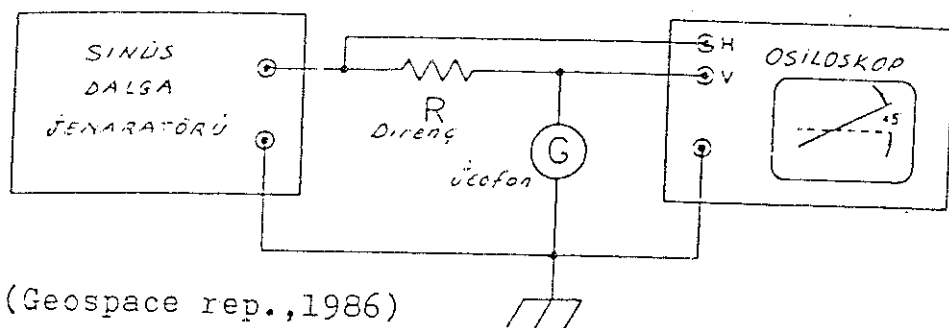
Böylece, net etkisi n tam sayı olmadığı zaman, yani tek sayı olduğu zamandaki bütün frekansların kayması olur. Dalga biçiminin değişmesindeki sonuçların her ikisi söz konusu değildir (Şekil 2.11)'e ait olan sönüm faktörü 0.5-0.7 için faz karakteristikler, 20 Hz. üstündeki frekans alanı için uygun bir düz doğrudur.

Genellikle yakın aralıklarla yerleştirilmiş jeofonlar tek bir birleşik çıkışını üretmek için bir seri ve paralel düzende birleştirilir ve bağlanır. Bütün jeofon grubu, grubun merkezinde yerleştirilmiş bir tek jeofona eşit olacak şekilde düşünülür. Her nasılsa, her bir jeofonun sönümü, devrenin rezistansındaki değişmeden dolayı diğer jeofonlarin varlığıyla tesir edilecektir.

2.9. Jeofonun Frekansı

Doğal frekans 90 ile girişî olan ve onun çıkış eğrilerindeki gözlenen nokta ise bir sinüs dalga titrestiricisiley, jeofon (G), elektriksel olarak tâhrik ediciyle ölçülür.

Doğal frekans ölçümü için şema şekil 2.12'de gösterilmektedir.



Şekil: 2.12 Doğal frekans ölçümüne ait şema

Bu rezistor serileri, jeofon bobin rezistansı ve tahrik etme seviyesi jeofon duyarlılığının yaklaşık %5'ten yaklaşık 50 devir daha büyütür. Osiloskopun düşey (V) ve yatay (H) kanallarla genlik ve fazdaki dengelemeyeyle tahrik frekansı, Lissajous düzeni 45 derecede düz bir hattında olduğu zaman doğal (natural) frekansa eşittir.

Uygulamada SIG mühendislik çalışması yaptığımız için 20 Hz. ve 40 Hz.'lık jeofonlar kullanılmıştır. SIG çalışmalarında kayıt alabilmek için yüksek frekanslı jeofonlar kullanılır.

3. ÇALIŞMA ALANININ GENEL JEOLOJİSİ:

3.1. Çalışma Alanının Jeolojisi

Bölgede Mezosoyik ve Senozoyik yaşlı birimler yer almaktadır. En fazla yayılım gösteren birim üst Kretase yaşlı olan Söbüdağ formasyonudur. Bu formasyon kendi arasında iki ümeye ayrılır. Altta masif kireçtaşının üyesi, üstte ise plaketli kireçtaşının üyesi bulunur. Masif kireç taşı, kristalize, sert, bol çatlaklı ve çatlaklar kalsit dolguludur. Yer yer 0,5-2 metre arasındaki kalınlıkta tabakalanma sunmalarıyla beraber bazı kezimlerde de tabakalanma pek görülmez. plaketli kireçtaşının ise gri, koyu gri renkli olup plaka halindedirler. Bunlar masif kireçtaşına nazaran daha az dayanıklı olup daha az çatlaklıdır.

Söbüdağ formasyonu üzerinde Kızılkıarma tepe formasyonu yer alır. Bu formasyon kırmızı renkli şeyl, kumtaşı, killi kireçtaşının mikro konglomera içerikli olup yaşı Üst Paleosen Alt Eosen'dir. Kalınlığı yaklaşık 80 m. civarında bulunmuştur. Bunun üzerinde ise Orta-üst Eosen yaşlı, kumtaşı, şeyl, çakıltası, mikro konglomera detritik kireçtaşının ardalanmalı olarak Kayıköy formasyonu yer alır. Bu arada Pliyosen'de Gölcük volkanizmasının bir yan baca faaliyeti şeklinde ortaya çıktığı düşünülen andezit birimi Çünür mevkiinde

mostra vermektedir.

Çalışma alanında Kuvarter yaşlı en genç çökelleri olan oluşuklar ise konglomera, tuf ve alüvyondur. Akdeniz Üniversitesi öğrenci yurudunun batısındaki yol yarmasında gözlenen konglomeralar kil bağlayıcıdır. Tüfler ise volkanizmanın ürünüdür. Gevşek tutturulmuş kil, küm, çakıl depolarından oluşan alüvyon en genç çökeldir.

3.1.1. Mesozoik

3.1.1.1. Söbüdağ Formasyonu

Bu formasyon en iyi gözlediği yer Söbüdğa ve çevresi olduğundan birime bu ad verilmiştir.

Bu formasyon, altta Masif Kireçtaş Üyesi, üstte ise Plaketli Kireçtaş Üyesi olmak üzere iki ümeye ayrılmıştır. Çalışmalar bu iki üye arasındaki dokanağın uyumsuz olduğunu göstermiştir.

Masif Kireçtaş Üyesi:

Söbüdağ Formasyonunun tabanını oluşturan Masif Kireçtaş eski Isparta-Burdur karayolunun Kuzeydoğusundaki Büyük söbü Tepe ve Küçüksöbü Tepe'de, Yanık Tepe'de, Senirce köyü nün doğusundaki İntepe'de ve batısındaki Yassıdağ Tepe' de, Çünür'ün kuzeyindeki Demirci Tepe'de, Sivriçalı Tepe, Kırtepe, Arapdağı Tepe, Enniköz Tepe'de, Isparta-Eğirdir karayolunun sağda ve solundaki Çaltepe, İncirli tepe ve Toptas

Tepe'de olmak üzere yaklaşık 20 km'lik bir alanda mostra vermektedir.

Birimini oluşturan Kireçtaşının genellikle beyazımsı, gri-akıç gri ve bej renkli, konkoidal kırılma yüzeyli, sert yapılı, bol çatlaklı ve çatlakları kasit dolguludur. Genelde masif görünümlü olmalarına rağmen bazi kesimlerde ise, 0.5-1.5 mm kalınlıkta tabakalanma sunan sözkonusu kireçtaşının önemli ölçüde rekristalizasyona uğramıştır. Yüzeysel ayrışma yapılı olan bu kireçtaşında ayrılmış kesimlerde yer yer sarı renk göze çarpar.

Plaketli Kireçtaşının Üyesi

Söbüdağ Formasyonunun tabanını temsil eden Masif Kireçtaşının Üyesi üzerinde paralel uyumsuz bir konumda bulunan Plaketli Kireçtaşının Üyesi Söbüdağının ve Yanıktepenin Güney batı eteklerinde, Göltaş Çimento Fabrikasının güneyinde, Senirce Köyünün doğusundaki Kırkerenler Tepe'de, Çünür'ün Kuzeyindeki Seyrekler Tepe'de ve Sivriçalı Tepe'nin güneyinde olmak üzere yaklaşık 8 km'lik alanda mostra vardır.

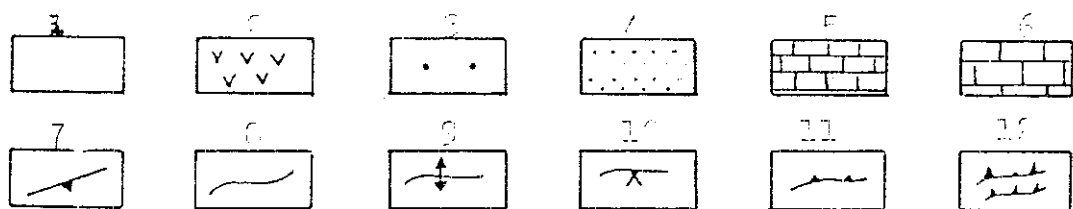
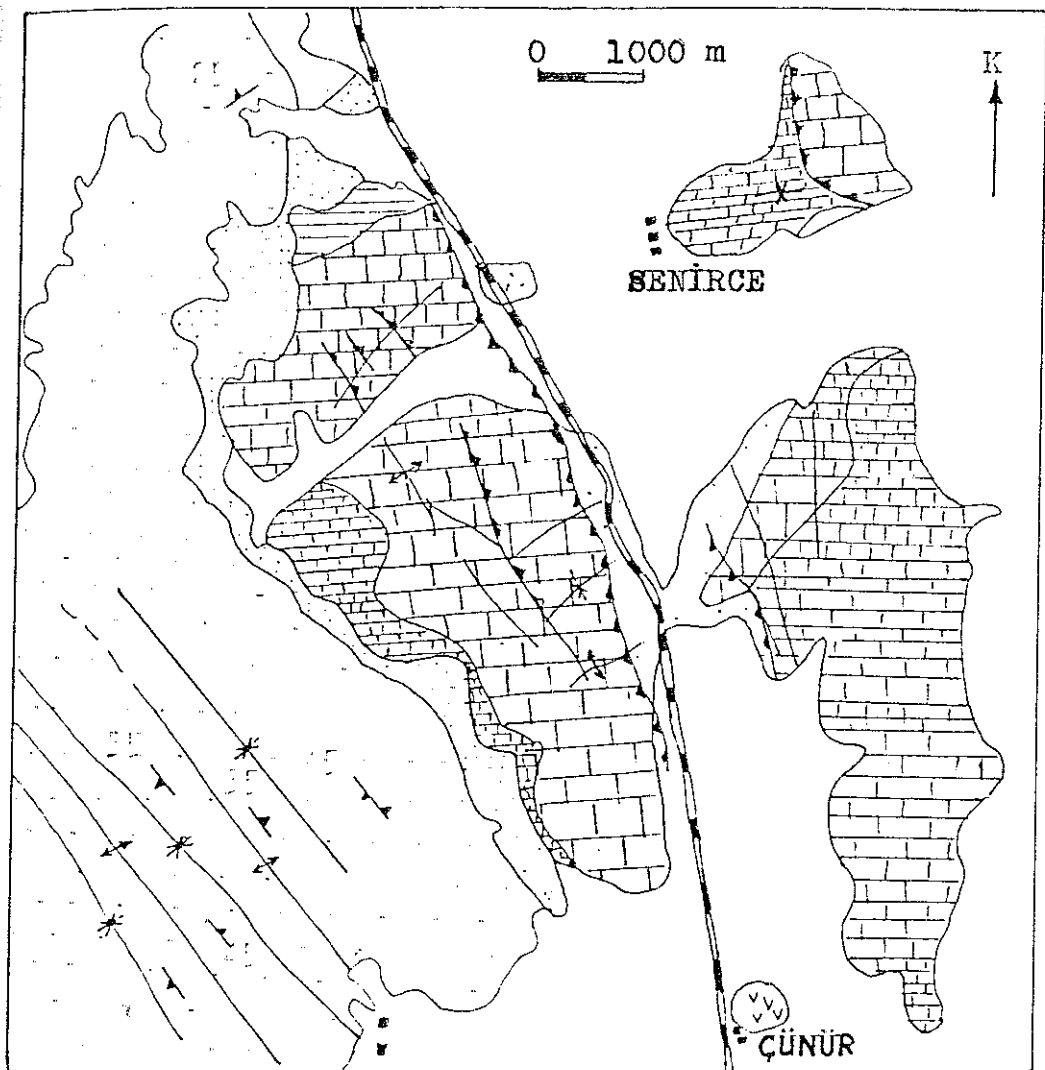
Birimini oluşturan kireçtaşının genellikle gri, koyu gri, beyaz krem renkli Masif Kireçtaşına nazaran daha az dayanıklı yer yer kırılınan yer yer sert özelliktedir. Masif Kireçtaşına nazaran daha aza çatlaklı ve çatlaklar kalsit dolguludur. 3 cm -1 m arasında değişen tabakalanma gösteren sözkonusu kireçtaşının üst seviyelere doğru killi ve çört yumruludur. Ayrılmış kısımlar ise hafif koyu renklidir. Birimin yaşı Üst Kretase (Kampaniyen-Maestrichtiyen) olarak saptanmıştır.

3.1.2. Senozoyik

3.1.2.1. Konglomera ve Alüvyon

Çünürün kuzeybatısındaki yaklaşık 0,5 km²'lik gibi küçük bir alanda yüzeyleme veren Konglomera, kil bağlayıcı olup gevşek tutturılmış kolay dağılabilir özelliktedir. Ayrıca içerisinde çakillara oranla daha az bulunan Silt ve Kum yer almaktadır.

Çalışma alanının 40-50 km² gibi büyük bir kesimini oluşturan alüvyon ise gevşek tutturılmış, kil, silt, kum, çakıl ve bloktanoluşan güncel çökelleri oluşturmaktadır. Malzeme ise çevredeki Kireçtaşı ve diğer birimlere ait sedimanlardır. Bunların yaşı Kuvaterner'dir.



Sekil :3.1 İnceleme alanının jeoloji haritası

- 1) Alivyon. 2) Volkanik Birimler. 3) Kayıköy Formasyonu
- 4) Kızılıkırma Formasyonu. 5) Senirce Kireçtaşı. 6) Söbü-
- dağ Kireçtaşı. 7) Tabaka doğrultu ve eğimi. 8) Dokanak
- 9) Antiklinal ekseni. 10) Senklinal ekseni. 11) Normal
- fay 12) Ters fay (Karaman, 1988)

4. JEOLOJİ MÜHENDİSLİĞİNDE Q KALİTE FAKTÖRÜ

Kaya kütlesi kalitesi (Rock Mass Quality =Q) Barton, Lien ve Lunde (1974) tarafından ortaya konmuş, Q sistemi olarak da bilinen bir kaya kütlesi sınıflama sistemidir. Bu sistemin temeli, Deere (1963) tarafından belirtilen RQD tanımlamasının kaya kütlesini tam olarak tanımlamadığı ve aynı RQD değerine sahip iki kayada açılan tünelde farklı davranışlar görüldüğü (Bjerrum(1970)), RQD tanımlamasının geliştirilmesi esasına dayanır.

Barton, Lien ve Lunde; a) Yüksek RQD ve 1'den fazla eklem takımı içeren bir kaya ile düşük RQD ve 1 eklem takımı içeren bir kayanın aynı duraylılığa sahip olabileceği, eklem takımı sayısının RQD ile ters orantılı olduğunu, b) Kaya kalitesini, ufak veya orta boyutlu eklem pürüzlüklerinin olumlu, alterasyon ve dolgu malzemelerinin olumsuz etkilediğini, c) Eklem suyu ve buna bağlı su basıncı, ile kaya yükünün, gözönünde bulundurulması gerektiğini söylemişler ve kaya kütlesi (Q)'ni aşağıdaki gibi tanımlamışlardır.

$$Q = \frac{RQD}{J_n} \cdot \frac{J_r}{J_a} \cdot \frac{J_w}{SRF} \quad (4.1)$$

RQD = Kaya kalitesi tanımlaması

Jn = Eklem takımı sayısı

Jr = Eklem pürüzlülük sayısı

Ja = Eklem altersayon sayısı

Jw = Eklem su indirgeme faktörü

SRF = Gerilme indirgeme faktörü

Bu parametrelerden RQD tablo:4.1'de verilmiştir. Kaya kütlesi kalitesi (Q) belirlenirken yukarıdaki verilen değerlerle ilgili göz önüne alınması gereken ek notlar şöyledir.

1 RQD tanımlaması Deere (1963) 'den alınmıştır, ancak sondaj karotlarının bulunmaması halinde birim hacimdeki eklem sayısı toplanarak Palmström (1974) 'ün verdiği bağıntı ile hesaplanır. Bu bağıntı kil içermeyen kayalar için geçerlidir.

$$RQD = 115 - 3 \cdot J_v \quad (4.2)$$

$J_v = 1 \text{ m}^3$ 'teki eklem sayısı

2 Eklem takımı sayısını (J_n) sistozite, tabakalanma yüzeyi gibi süreksizlikler etkiler. Bunların belirgin şekilde paralel olarak gelişenleri bir eklem takımı olarak alınmalıdır.

3. Jr ve Ja parametreleri makaslama mukavemetini temsil eder. (Jr/Ja) değeri minimum olan süreksizlik zonu veya eklem takımı duraylılık için uygun doğrultudaysa, bu durumda daha az uygun doğrultulu eklem takımı veya süreksizlik zonu duraylılık yönünden daha önemli olabilir. Q hesaplanırken (Jr/Ja)'nın yüksek değeri kullanılmalıdır.

4. Kil içeren kayalarda Gerilme İndirgeme Faktörü (Stress Reduction Factor = SRF) hesaplanmalıdır. SRF zayıflık zonlarının kil ya da ayrılmış malzeme içermesi halinde gevşeyen yüklerle ilgilidir. Bu durumda kayanın mukavemeti göz önüne alınmaz ancak zayıflık zonları minimum ve kil tamamen yoksa SRF hesabında kayanın mukavemeti (basınç ve çekme)'ne bakılır.

Tablo 4.1.
Q sistemi sınıflama parametreleri (Barton vd. 1974)

Tanımlama	Değerlendirme	Not
1. Kaya Kalitesi Tanımlaması	RQD	1. Q hesaplanırken RQD \leq 10 ise '0'da hile 10 olarak alınır.
A. Çok fena	0 - 25	2. RQD 5 aralıklı olarak alınmalıdır.
B. Fena	25 - 50	(65, 70, 75 vb.)
C. Orta	50 - 75	
D. İyi	75 - 90	
E. Pekiyi	90 - 100	

5. Genel olarak yerli kayanın basınç ve çekme mukavemetleri (σ_c ve σ_t) duraylılık yönünden uygun olamayan doğrultuda hesaplanmalıdır. Bu durum özellikle çok fazla anizotropik ortamlar için önemlidir.

Kaya kütlesi kalitesi (Q) hesabında yer alan altı parametre çift olarak değerlendirilirse;

1. (RQD/Jn) kayanın genel yapısını belirler, ve blok boyutunun kabaca ölçüsünü gösterirler. Örneğin RQD ve Jn parametrelerinin üç değerlerini (100-10 ve 0.5-20) ve birimi cm. alırsak, 200 cm. ve 0.5 cm. değerlerini elde ederiz. Bu da bize yaklaşık en iri blok boyutu 200 cm. ve

en küçük parçada 0.5 cm. olabileceğini gösterir

2. (J_r/J_a) terimi eklem pürüzlülüğü ve eklem dolgusunun derecesini belirler. Bu iki parametrenin çeşitli kombinasyonlarının tan⁻¹ (J_r-J_a) değerleri, beklenen hakiki makaslama kuvvetine oldukça yakın olduğu belirlenmiştir.

3 (J_w/SRF) terimi iki gerilme paraametresinden oluşur J_w eklemelerin mukavemetini ters yönde etkileyen su basıncının ölçüsüdür. SRF toplam gerilmenin bir parametresi olarak nitelendirilebilir. Bu terim aktif gerilimi belirleyen bir faktördür.

Bu nedenlerden dolayı Q 'nun üç maddenin bir fonksiyonu olduğu görülmektedir.

- $$1. \frac{RQD}{J_n} = \text{Blok boyutu}$$
- $$2. \frac{J_r}{J_a} = \text{Bloklar arası kayma direnci.}$$
- $$3. \frac{J_w}{SRF} = \text{Aktif gerilme}$$

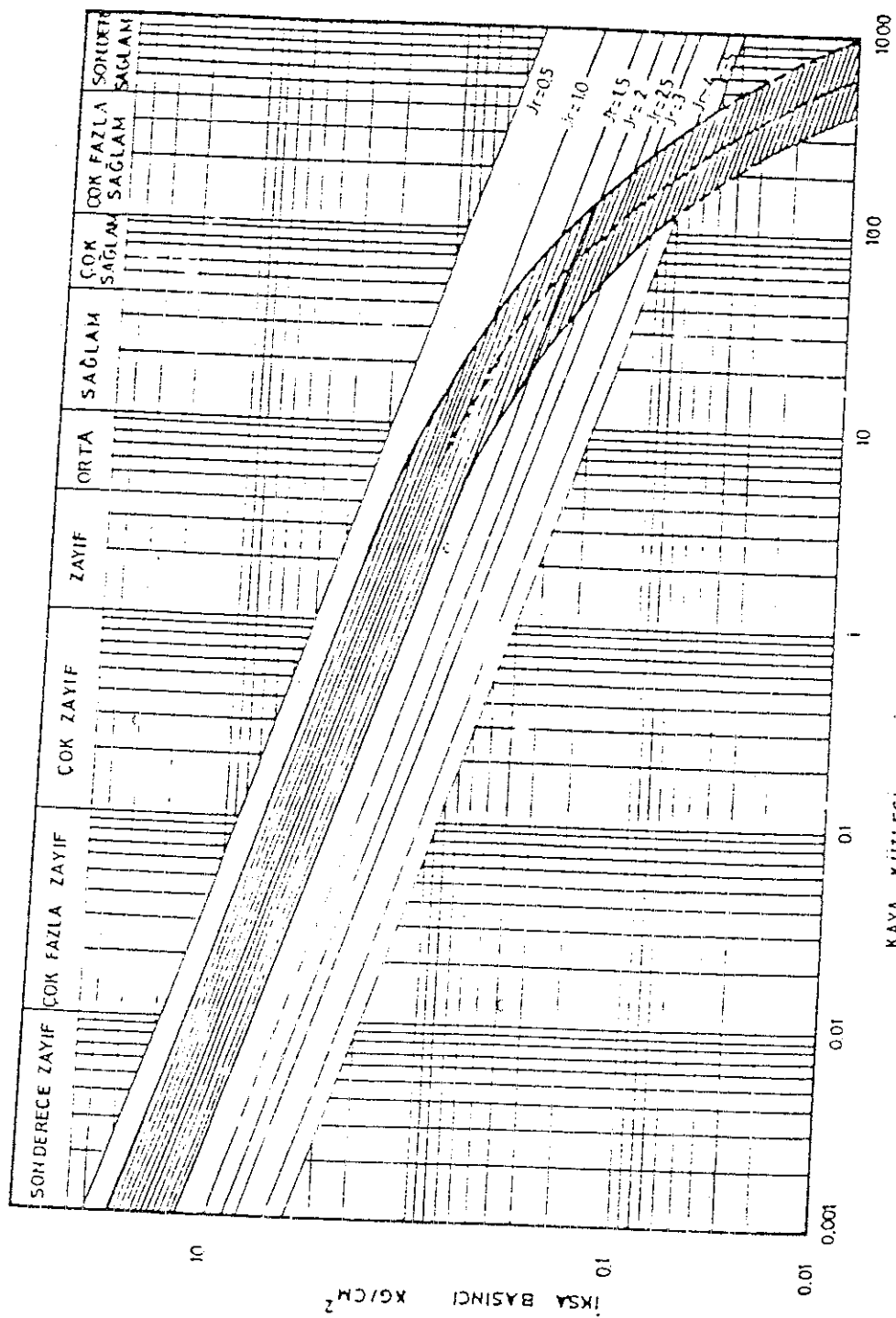
Q sisteminin destek hesabı için temel özelliklerinden biri destek hesabından kaya kütlesi kalitesi (Q)`nin kazi boyutları ve kazi amacına bağlı olduğunu, Kazi boyutları (en, çap veya yükseklik)`nin, kazi amacı (ESR)`na oranı eş boyut olarak tanımlanmış ve kaya kütlesi kalitesi Q ile eş boyuta bağlı 38 destek sınıfında toplanmıştır.

Destek sınıfı belirlenirken tavan desteği için kazi

eni veya çapı, duvar desteği için kazı yüksekliği veya çapı kullanılır. Kazı destek oranı (ESR) kazı amacını belirleyen bir faktördür.

Barton, Lien ve Lunde sadece kaya kütlesi kalitesi (Q) ve destek önlemlerini belirtmekle kalmayıp destek basıncı, bulonlama ve ankraj betonu hesapları ile sürekli iksasız maksimum proje açıklığı ve kendi kendini tutma süresi, kavramlarına ayrıntılı olarak değinmiştir. Destek basıncı ile Q arasındaki ilişki (Şekil 4.1)'de daha iyi görülmüktedir.

Jeolojik Q kalite faktörü tünellerde iksa basıncı ile kaya kalitesi arasındaki ilişkiye bağlı olarak alınması gereken önlemleri hesaplamaktadır.



Şekil: 4.1 - Olsunun, testek hastacılık kaya kalitesi arasındaki ilişki

5. ZEMINLERIN SINIFLANDIRMASINDA KULLANILAN JEOTEKNİK PARAMETRELER

5.1. Jeoteknik Parametrelerin Önemi:

Sismik aktivitesi yüksek bölgeler yer küre üzerinde belirli bölgelerde toplanmıştır. Diğer bir deyişle belirli kuşaklar boyunca toplanmıştır. Ülkemizde sismik aktivitesi yüksek olan bu kuşaklardan Alp-Himalaya deprem kuşağı üzerinde bulunmaktadır. Ancak bu sismik etkinlik bölgelere göre değişmektedir. Bu durum deprem bölgelerinde deprem dağılışının gelişigüzel olmadığını, depremlerle bölge tektoniği arasında bir ilişkinin olduğunu ortaya çıkarmaktadır. Bu nedenle burada önemli olan husus belirli bir zaman aralığı içinde olacak en büyük ve en şiddetli depremlerde yapılara etkiyecek kuvvetlerin önceden bilinmesidir. Bunun için deprem şiddetini etkileyen faktörler bilinmelidir. Biz jeofizikçiler için önemli olan sismik şiddet artışına neden olan zeminin yapısının ortaya konmasıdır.

Yerel zemin koşullarına bağlı olarak sismik enerji açığa çıktığı zaman hasarlara yol açtığı önceden beri bilinmektedir. Ancak bu konuda aletsel ölçümser ve hesaplamalar yenidir. Bu konuda ilk çalışma 1957 San Francisco depreminde değişik noktalardan alınan bazı ölçümelerden elde edilmiştir. Bu ölçümler deprem enerji boşalım merkezinden aynı

uzaklıkta birbirine yakın oluşan yer ivmelerinin bazen birbirinden %100 e varan farklılıklar gösterdiği ve bunun büyük olasılıkla ölçü istasyonları altındaki zemin koşullarından ileri geldiğini ortaya koymuştur. Bir sahada meydana gelecek yer hareketlerinin frekans özellikleri ve dolayısıyla davranış spektrumları büyük ölçüde sahanın zemin koşulları tarafından etkilenmektedir. Buda aynı deprem sırasında aşağı yukarı episantırdan eşit uzaklıkta fakat birbirinden farklı zemin koşulları olan istasyonlarda birbirlerinden çok değişik davranış spektrumu veren yer hareketleri ölçülmüştür. Bu hareketlerde mühendislik yapılarını değişik oranlarda etkilemektedir.

Bunun için zemin özelliklerine göre sismik aktivite gösteren alanların sınıflandırılması gereklidir. Ancak zemin tanımından bu sınıflamayı yapmak mümkün değildir. Jeofizik mühendisliği konusu olan bir çalışmaya bir sınıflandırma yapılabilir.

5.2 Sismik Alanları Belirleyen Jeoteknik Haritaların Özellikleri

Yerleşime açılacak yeni yerleşim alanlarında sismik mikrozonları belirleyen bu jeoteknik haritalar iki özellik taşır. Bu haritaların hazırlanmasının amacı bölgesel sismik şiddet artışı değerlerini daha dar bölgelere indirmektir. Bu haritaların özellikleri:

- a. Sismik aktivite gösteren bölgelerde mühendislik jeofizigi haritaları ile standart sismik bölge içindeki sismik zonların sismik parametreleri saptanır. Böylece

yerleşime açılacak bölgelerdeki sismik hız alanları belirlenir. Çalışma alanının jeolojik birimlerinin eğim derecesi, taşıma gücü, sismik akustik empedans birimlerine göre tesbit edilmiştir.

b. Sismik mikrozonlar içinde yeralan yerleşim alanlarının gelecekteki durumlarını tahmin etmek için tüm sismik veriler kullanılarak yapılmış sismik bölgelerin özelliğini gösteren mühendislik jeofiziği haritasıdır. Haritamızda bölgenin konumuna ve zemin türüne göre tesbit edilmiş ve elde edilen veriler haritaya aktarılmıştır.

Bu haritalar için önemli olan parametrelerle kısaca değındikten sonra asıl konumuz olan zemin kalite faktörü Q ve elastik parametrelerle degeneceğiz. Bu parametrelerin de mühendislik jeofiziğinde hazırlanan jeoteknik haritaların hazırlanmasında kullanılabilcecagini göstermeye çalışacağız

Bu özelliklere sahip haritalar hazırlanırken çeşitli skalar kullanılır. Bu skalar:

1. Bölgesel jeoteknik haritaların ölçügi 1/50.000 den küçük olur. Genellikle bu ölçekli haritalar geniş bölgelein temel özelliklerini saptamada kullanılır.

2. Temel jeoteknik haritaların ölçügi 1/10.000 ile 1/50.000 arasındadır. Bu haritalar yerleşim alanının planının hazırlanmasında sismik alanların belirlenmesi için kullanılır.

3. Ancak uygulamadaki ayrıntılı jeoteknik haritaların

skaları 1/10.000 den büyük olmalıdır. Bu haritalar yerlesim alanlarındaki ayrıntılı sismik alanları ve jeolojik yapıyı göstermede kullanılır.

5.3. Sismik Şiddet Artışına Neden Olan Faktörler

Bu faktörler:

- a. Sismik aküstik empedans
- b. Yer altı su seviyesi
- c. Taşıma gücü
- d. Yerin stabilitesi
- e. Eğim derecesi ve yapı farklılıklarını

5.3.1. Sismik Aküstik Empedans

Yerin fiziksel özelliklerini ve özelliğe sahip karakteristik alanlarının iyi bir şekilde belirlenmesini sağlar. Medvedev'e göre S^*V ye bağlı olan sismik şiddet artışı katsayısı empirik olarak bu bağıntı ile hesaplanabilir. Buna göre sismik aküstik empedans:

$$S = V * \rho \text{ dur.} \quad (5.1)$$

V: Sismik dalganın içinden geçtiği ortamın hızı

ρ : Ortamın yoğunluğudur.

Tablo:5.1
Sismik aküstik empedans zemin türüne göre
değişimi verilmiştir.

<u>GRUP</u>	<u>S</u>	<u>Litolojik Sıralama</u>
1.	12,5 ve yukarısı	Kireç taşı, granit, granadiorit,
2.	6-12,5	Serpantin, Gnays, mikaşist, kırmızı kumtaşı, altere granit
3.	4,5-6	Parçalanmış konglomera, fliş sedimanı, altene milaşist, kırıklı serpantin, kırıklı kireç taşı ,
4.	3-4,5	Marn, konsolide kil,
5.	2-3	Kum, kil , gevşek dolgu zeminler
6.	1-2	Altere tüf, altere marnlı kireç taşı, kum, aglomena
7.	1 ve aşağı	Duraysız kum, kil v.b

5.3.2. Yeraltı Su Seviyesi

Literatürde empirik olarak yeraltı su seviyesi ile sismik şiddet artışı arasındaki bağıntı aşağıdaki formülle verilmiştir. Buna göre

$$\eta_u = \exp(-0,04 * h^2) \quad (5.2)$$

Burada:

η_u =Yer altı su seviyesinin etkisinde sismik şiddet artışı

h = Temel yapıdaki yeraltı su seviyesinin derinliği

Uygulamada yer altı su seviyesine bağlı olarak zeminler üç bölüme ayrılır. Buna göre:

<u>Y.S.S.</u>	<u>Sismik Şiddet Artışı</u>
1. 0-4 m. arası	0,5 ile 1
2. 4-10 m. arası	0, ile 0,5
3. 10 m. den fazla ise	0 dır.

Sonuç olarak; Y.S.S litolojik yapıyı takip ettiğini ve sismik aküstik empedansın bu yüzeylerde değiştiğini dolayısıyla sismik şiddet artışına neden olduğunu söyleyebiliriz.

5.3.3 Taşıma Gücü

Zeminlerin taşıma gücü bir denge (stabilité) sorunu olup çökme olmadan zeminin taşıyabileceği yüktür. Yeterli büyülükteki bir yük altında temel, artan bir hızla zeminin içine batarak çökebilir. Zeminlerin taşıma gücü zeminin mukavemet karakteristiklerine bağlı olmakla beraber uygulanın yükün miktarına ve dağılımına da bağlıdır.

Zeminin izotropisinden dolayı taşıma gücü depremin şiddetini etkiler. Bu nedenle sismik alanlara özgü yerlerin belirlenmesinde zeminin taşıma kapasitesine dikkat edilmelidir.

Taşıma gücü terimi ile temelin çökmeden taşıyabileceği maksimum taban basıncı nitelendirilmektedir. Birimi (kg/cm^2) veya (t/m^2) olarak tanımlanır.

Emniyetli taşıma gücü veya zemin emniyet gerilmesi başka bir değişle müsade edilebilir taşıma gücü q_s ise nihai taşıma gücü q_u nun G_s gibi bir emniyet faktörüne veya güvenlik katsayısına bölünmesi sonucunda bulunan taşıma

gücüdür.

$$q_s = q_u / G_s$$

(5.3)

5.3.4. Sismik Yöntemlerle Zemin Emniyet Gerilmesinin Saptanması

Zemin mekaniği veya temel inşaatı konularında kullanılan taşıma gücü bağıntılarda; tabaka kalılığı, yer altı su seviyesi, gömülü fay, kırıkkılık, çatlaklık, yapılan hesaplamaların etüd alanının bütün noktalarını kapsayıp kapsamadığı dikkate alınmamaktadır. Çünkü her noktadan numune almak zaman-finansman bakımından ekonomik değildir.

Bunun için jeofizik yöntemlerle zemin taşıma gücü saptanmasına çalışılmıştır

Japonya'daki zemin etütlerinde dünya çapında tanınmış OYO firması tarafından geliştirilen ve kullanılan zemin taşıma gücü anlamındaki serbest basınç direnci q_u ile enine sismik dalga hızı V_s arasındaki deneysel olarak geliştirilen bağıntı Imai'ya (1976) göre

$$V_s = 138,3 * q_u^{0,417}$$

(5.4)

Ayrıca benzer şekilde yine deneysel olarak serbest basınç direnci q_u ile V_p boyuna sismik dalga arasında (Imai 1976) tarafından:

$$q_u = 10^{3} V_p$$

(5.5)

olarak verilmiştir. Burada V nin birimi Km olarak kullanılmıştır.

Dinamik taşıma gücü ve zemin emniyet gerilmesi (Türker ve Keçeli, 1988) tarafından V_p/V_s oranı güvenlik katsayısı olarak kullanılarak zemin taşıma gücünü:

$$q_u = \frac{d \cdot V_p \cdot T_0}{40} \text{ kg/cm}^2 \quad (5.6)$$

zemin emniyet gerilmesini:

$$q_s = \frac{d \cdot V_p \cdot T_0}{40} \text{ kg/cm}^2 \quad (5.7)$$

olarak elde edilebileceğini göstermişlerdir.

Burada: T_0 : Zeminin hakim titreşim peryodu.

d : Zeminin yoğunluğu

veya (Keçeli, 1989) $q_u = d \cdot V_p / 100 \text{ kg/cm}^2$ (5.8)

$$q_s = d \cdot V_s / 100 \text{ kg/cm}^2 \quad (5.9)$$

olarak elde edildiğini göstermiştir

Sismik özelliğe sahip olmayan alanlarda olduğu gibi sismik aktiviteye sahip olanların sınıflandırılmasında da eğim önemlidir. Eğimin durumuna göre zeminler:

5.3.4.1. Duraylı zeminler: Bu tür zeminler doğal yapının stabil eğime sahip olduğu zeminlerdir. İnsan eliyle gerçekleştirilen kütle hareketi ile karıştırılmamalıdır.

4.3.4.2. Koşullara bağlı duraylı zeminler: Bu tür zeminler doğal durum altında karalıdır. Fakat insan eliyle gerçekleştirilen çalışmalarдан sonra duraylı olmaktan çıkmaktadır.

4.3.4.3. Duraysız Zeminler: Doğal ortam altında tabakalarında kütle hareketi gösteren zeminlerdir. Bu hareketler kayma, ani akma, düşme, su taşması vb. ile gerçekleşir.

Koşullara bağlı duraylı zeminlerde zeminin eğimi çok önemlidir.

5.3.5. Zeminlerin Hakim Titreşim Peryodu

Bu çalışmanın amacı inşaat alanı olarak açılacak bölgelerin sismik katsayılarının dâha iyi belirlenmesidir. Zeminin hakim titreşim peryoduna göre mühendislik yapılarının hakim titreşim peryodu tespit edilmiş olur. Zeminin hakim titreşim peryodu formül olarak

$$\frac{4H}{T_{0-----}Vs} \quad (5.10)$$

4H :
To----- dir. H: Tabaka kalınlığı
Vs

Buna göre 1981 yılında yapılan sınıflamaya göre:

Tablo: 5.2
Hakim Peryot
(Kiyoshi Kanai; Haziran 1983, Engineering sismolji)

<u>Hakim Peryot</u>	<u>Yerin Yapısı</u>
1. <0,2 sec	Temel kayalar, sıkı tabakalanmış zeminler
2. 0,2 ile 0,75 sec	Kum, Sert kili, alivyon
3. >0,75 sec	Deniz kenarı zeminleri, çamurlu alanları, dolgu zeminler.

T.C İmar ve İskan Bakanlığının Deprem araştırma
Enstitüsü Başkanlığı tarafından yayınlanan Temmuz 1975
tarihli afet bölgelerindeki yapılar hakkındaki yönetmelikte
de yukarıdaki sınıflama mevcuttur

6. JEOFİZİK MÜHENDİSLİĞİNDE Q KALİTE FAKTÖRÜ

6.1. Zeminlerde İN-SITU Deneyleri ile Atenuasyonun Ölçülmesi

Son yıllarda birçok araştırmacı laboratvarda ve arazide zeminlerin atenuasyonu üzerinde çalışmışlardır. Zaman ve frekans dönemindeki yöntemlerle kayanın ve zeminin elastik olmayan davranışına bağlı olarak zayıflamanın bir parçası olan soğurma hesaplanmaya çalışılmıştır. Bu çalışma larda soğurma birimsiz kalite faktörünün (Q) tersi olarak ölçülmüştür.

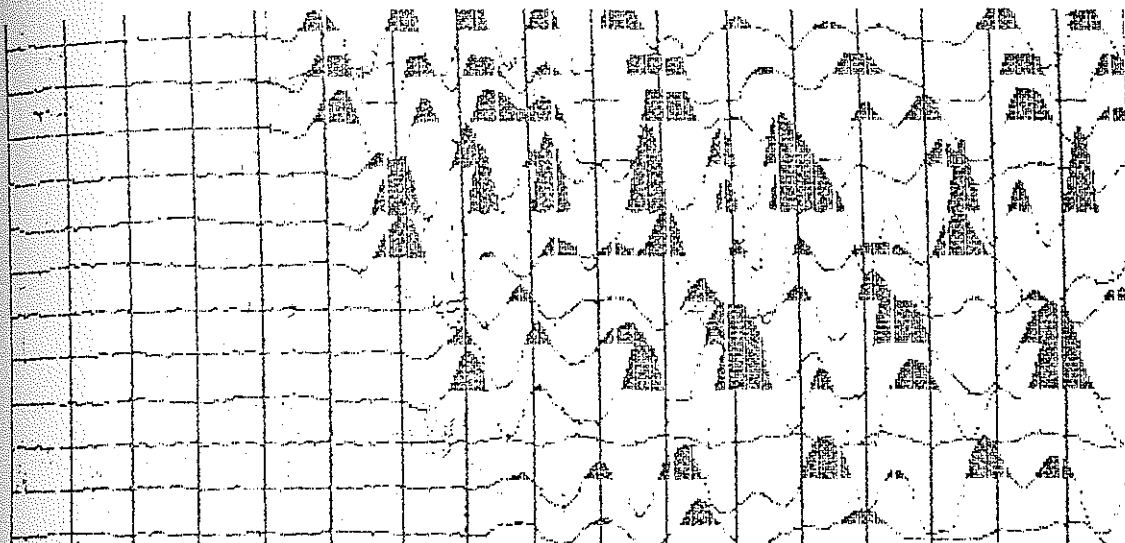
$$\frac{1}{Q} = \frac{E}{4\pi E}$$
 (6.1)

Burada E : Ana saklanmış enerji, E : Uygulamada elde edilen (sönüm) enerji kaybıdır.

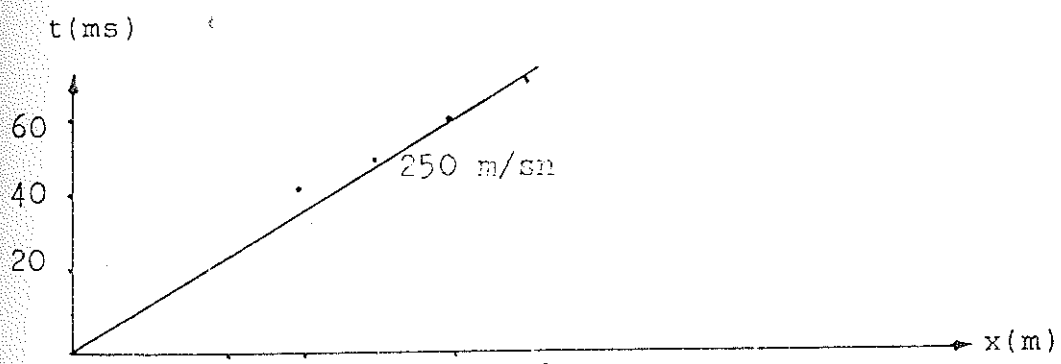
Labaratuvar testleri (Johnston et al 1979) kuru ve ıslak kayalar için Q nun esasen frekanstan bağımsız olduğunu göstermiştir. Bu konuya ilgili olarak kaydedilen verilerin değerlendirilmesiyle Q nun jeofon frekansından bağımsız olduğunu göstermiştir. Bu konu ile ilgili olarak Pomza madeni üzerinde yapılan çalışmada bu sonucu görebiliyoruz (Şekil: 6.1).

POMZA ÜZERİNDE ALINAN SIG BOYUNA (P) SİSMİK KIRILMA KAYDI.

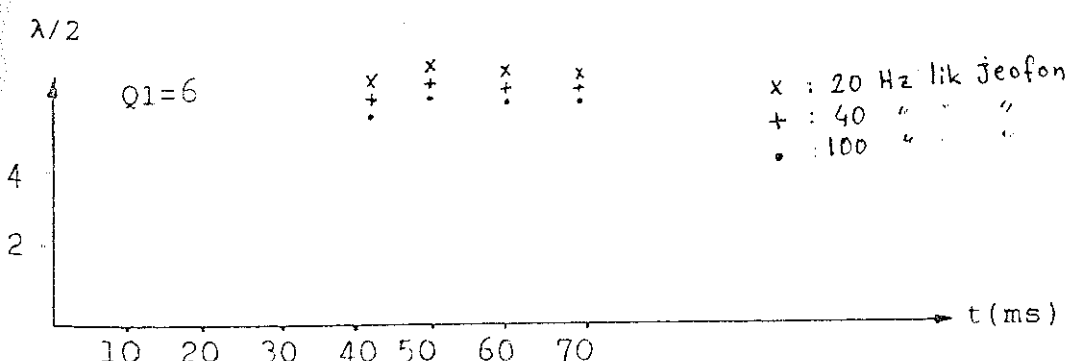
1 Kayıt uzunluğu 200 ms., Offset uzaklığı 9 m., Jeofon aralığı 3 m. Gain : 18 dB Trace size : 3 Allpass filtre.



Şekil: 6 1 Pomza üzerinde alınan boyuna (P) sismik kırılma kaydı



Şekil 6 2. Şekil 6 1'e ait yol-zaman grafiği.



Şekil:6 3 Tablo 6 1'e ait $\lambda/2$ -t grafiği

Tablo 6.1
Jeofon türüne göre peryot değişimi

	J1 100 Hz.	J2 40 Hz.	J3 20 Hz.
9 m. Geliş Z.	42,0	42,0	42,0
Peryot	11,0	12,1	13,0
$\lambda/2$	5,5	6,05	6,5
12 m. Geliş Z.	50,0	50,0	50,0
Peryot	12,2	13,0	13,8
$\lambda/2$	6,1	6,5	6,75
15 m. Geliş Z.	60,0	60,0	60,0
Peryot	11,6	12,4	13,2
$\lambda/2$	5,8	6,2	6,6
18 m. Geliş Z.	70,0	70,0	70,0
Peryot	11,6	12,4	13,5
$\lambda/2$	5,8	6,2	6,75

Burada görüldüğü gibi Q kalite faktörü jeofen frekansına bağlı değildir. Uygulamada kullanılan 100 Hz, 40 Hz, 20 Hz lik jeofonlarla kaydedilen kayıtları orantılıdır.

İlk olarak petrol arama çalışmalarından elde edilen sismik kırılma kayıtlarının atenüasyonlarının tesbiti ile Q kalite faktörü belirlenmeye başlanmıştır.

$$Q = \pi f / \alpha V \quad (6.2)$$

f: Frekans

Q: Kalite faktörü

V: Sismik hız

α : Sönüm Operatörü

Q kalite faktörünün frekansa ve sismik enerji sönüümüne bağlı olarak değişmesi Q kalite faktörünün diğer elastik parameterelere göre daha duyarlı olduğunu gösterir. Bunun için mühendislik yapılarının etütlerinde daha sîhhâtlı sonuçlar vereceği düşünülmüş ve birçok araştırmacı bu konu üzerinde çalışmıştır.

Tablo: 6.2

Kaya türüne göre Q kalitesi değişimi (Handbook of Physical Constants, Geol. Soc. Am. Mem. 97, 1966)

Kayaç Türü	Sismik Hız (m/s)	Q
Granit	5000	150
Bazalt	5500	70
Kireçtaşı (Hunton)	6000	71
Kumtaşı (Amherst)	4300	51
Kumtaşı (Navajo)	4000	22
Seyl (Pierre)	2150	31
Seyl (Sylvan)	3300	70

Diğer taraftan çatlaklara veya sıvı basıncından dolayı Q litoloji ile de çok ilgiliidir.

Geçtiğimiz yıllarda birçok araştırmacı doğal yollarla değişik frekans oranlarında kaya soğrulmasını ölçmüştür. Bunların çalışmalarında frekanstan bağımsız verilerle uygunluk göstermiştir.

Doğal Q ölçümleri Jeofizik Mühendisliği ile ilgiliidir. P ve S dalgalarının hızlarıyla: Q_p ve Q_s değerleri sismik

verilerden zemin tipi ve kalitenin elde edilmesini sağlayabilir. Zemin tipi, fisürlü, porozitilik ve heterojenlik gibi bilgiler, atenuasyon ve dalga hızı ölçümelerinin birlestirilmesiyle daha iyi belirlenebilir.

Diğer taraftan kalite faktörü deprem mühendisliğinde kullanılan önemli bir fiziksel parametredir. Birçok mühendislik yapısı topraktan ve yüzeysel tortulardan meydana gelir. Bu yüzden bunların güçlü yer hareketleri üzerindeki etkilerini ve kalite faktörü gibi dinamik özelliklerini tahrmin edilerek belirlenir.

Bu çalışmaların amacı; bazı durumlarda kalite faktörünün Jeofizik mühendisliğinde kullanılan alıslagılmış tekniklerin birleştirilmesiyle ölçülebileceğini göstermiştir.

6.2. Jeofizik Mühendisliğinde Sismik Yöntemle Q Belirleme Yöntemleri

Genellikle alan sismografları yardımıyla atenuasyonun ölçümü için üç yöntem kullanılır.

1. Uzaklıkla genlik kayması
2. Spektral oran yöntemi
3. Rise - time metodu

6.2.1 Uzaklıkla Genlik Kayması

Birincisi ilk clayın genliğinin uzaklıkla kaymasını

analiz eder. Dalga genlikleri geometrik yayıldığı için düzeltilmelidir.

Geriye kalan kayma zayıflamayı belirler. Teorik ve sayısal model çalışmaları (Haterly 1986) bir çok durumda geometrik yayılmanın özellikle kaynağın yakınında karmaşık bir olay olduğunu göstermiştir.

Bu nedenle dalga yüzeyi genişlemesi ile soğurma etkisini ayırtetmek çok güçtür. Hatta genlik kayması yöntemi kullanılarak yapılan Q değerini belirleme işlemi geometrik yayılma faktöründen çok etkilidir.

6.2.2. Spektral Oran Yöntemi

Homojen ve atenüasyonlu bir ortamda silindirik harmonik bir dalganın yayılması şu şekilde tanımlanır.

$$A(R, f) = A_0(R_0, f) \left(\frac{R_0}{R} \right)^n e^{-\alpha(R-R_0)} \quad (6.3)$$

Burada f : Frekans, $\alpha(f)$: atenüasyon katsayısı, $A(R, f)$: ve $A_0(R_0, f)$ kaynaktan R ve R_0 mesafelerindeki dalga genlikleri ve n de geometrik yayılma faktörüdür.

Q ile α arasındaki bağıntı

$$Q = 2\pi \frac{1}{-2\alpha\lambda} = \frac{\pi}{\alpha} \frac{\pi f}{V\alpha} \quad \text{dir} \quad (6.4)$$

Burada λ : Dalga boyu, V : hızdır.

Eşitlik 2 şu şekilde yazılabilir

$$\ln\left(\frac{A(R, f)}{A_0(R_0, f)}\right) = n \ln\left(\frac{R_0}{R}\right) - \alpha(R - R_0) \quad (6.5)$$

veya eşitlik 3'ten:

$$\frac{V}{\pi(R - R_0)} \ln\left(\frac{A(R, f)}{A_0(R_0, f)}\right) = \frac{V_0}{\pi(R - R_0)} \ln\left(\frac{R_0}{R}\right) - \frac{f}{Q} \quad (6.6)$$

Bu ifade şu şekildedir.

$$\Delta(f) = b - \frac{f}{Q} \quad (6.7)$$

Bu arada $\Delta(f)$ eş 5'in sol tarafıdır ve

$$b = \frac{V_0}{\pi(R - R_0)} \ln\left(\frac{R_0}{R}\right) \text{ frekanstan bağımsızdır.} \quad (6.8)$$

Eşitlik; $6.7, 1/Q$ eğimli bir doğru denklemidir.

Doğal arazi ölçümlü sismograflarda yöntem iki sinyalin Furrye transformu ve her frekans için $\Delta(f)$ hesaplamasını içerir. b frekanstan bağımsız olduğu için Q , Δ 'ya karşı f grafiğinin eğiminden çıkarılabilir. Sadece b kesiminden ortaya çıkan geometrik yayılma faktörü, Q kesiminden ortaya çıkan geometrik yayılma faktörü, Q 'nun belirlenmesinde mutlaka bilinmek zorunda değildir.

6.2.3. RISE - TIME Metodu

Rise Time metodu yüksek frekanslı bileşenlerin zayıflamasından elde edilen sinyallerin sınıflandırılması temeline bağlıdır. Bu metodla atenuasyonlu ortamların Q kalite faktörü hesaplanır. Yani Q frekanstan bağımsız olduğu için anelastik ortamların atenuasyonu puls genişliğinden tahmin edilir ve buradan yola çıkarak Q hesaplanır. Gladwin ve Stacey (1974) Kjartansson (1979) çalışmalarında sinyalin geliş zamanının dalga genişliği ile orantılı olduğundan Q için aşağıdaki eşitliği vermişlerdir

$$\lambda = (C/Q) * t + \lambda_0 \quad (6.9)$$

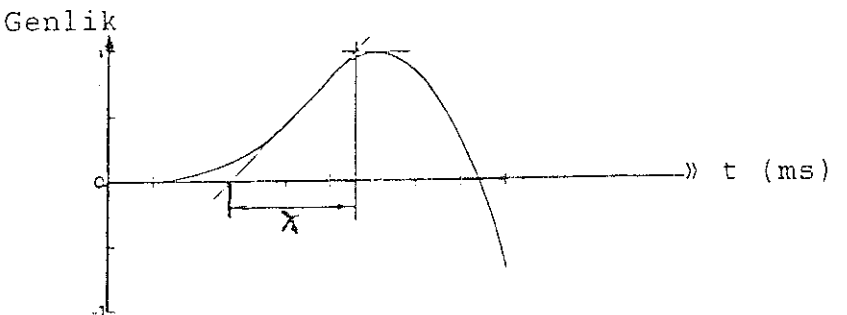
λ : Ölçüm noktasındaki sinyalin genişliği

λ_0 : Kaynak noktasındaki puls width

t: Kaynak ile jeofon arasındaki sinyalin ilk geliş zamanı

C: Sabit katsayı.

Uygulamada Pulse-width birkaç yolla hesaplanabilir. Birinci yaklaşım ilk gelen kırılma dalgasının birinci ceyreğinden pulse width hesaplanabilir. Bu ilk kırılan dalga sinyali ve bu sinyalin amplitüdünün zaman kayması olarak tanımlanabilir.



Şekil : 6.2 Birinci yaklaşımla λ 'nın tesbiti.

İkinci yaklaşım: Birinci kırılan dalgadan sonraki sinyalin ilk çeyreğinden pulse width hesaplanabilir.

Buraya kadar homojen bir ortamda atenüasyonun $(1/Q)$ hesaplanması için üç yöntem anlattık. Buna rağmen jeolojik yapı genellikle homojen olmayan ortamlardır.

Burada ana problemlerden biri iç zayıflamayı (Q^{-1} int) yansima, saçılma ve yakın alan yayılması gibi diğer zayıflatma mekanizmalarında ayırmaktır.

Arazide ölçülen zayıflama etkin bir Q_{eff}^{-1} zayıflamasıdır.

$$Q_{eff}^{-1} = Q_{int}^{-1} + Q_{app}^{-1} \quad (6.10)$$

Burada Q_{app}^{-1} sismik işaret şeklini etkileyen frekansa bağlı etkileri de içerir.

Bu zayıflama etkilerinin katkısı önemliyse ve Q_{app}^{-1} negatif olursa Q_{eff}^{-1} de negatif olabilir.

Bazı durumlarda Q_{app}^{-1} teorik sismograflar yardımıyla tesbit edilebilir. (Newnan ve Worthington 1982). Buna rağmen bazı yöntemler zayıflama sonuçlarını geliştiremezler ve işaretteki karışma etkisini ayırtetmek zorlaşır. (Troppe 1988)

Bu ek zayıflatma mekanizmaları atenüasyon ölçümlerinde ana zorluklardan birini oluştururlar ve Q belirleme kullanılan yöntemlerin dezavantajıdır.

Rise - Time metodu Gladwin ve stacey'in gösterdiği uygulamalarda Q belirlemenin en iyi yoludur (Blair ve Spathis 1984, Haterley 1986 Tanif ve Baurbine 1987) Bu yöntemin ana avantajları sinyal sınırlandırmasının geometrik kaymadan bağımsız olması ve sinyali ilk geleninin gürültü içermemesidir.

Haterly (1986) ve Blair ve Spathis (1984)'e göre spektral oran yöntemi sınırlıdır Çünkü gerçek ortamlarda ara-yüzeylerinde dalga trendini izole etmek zordur.

Bir hız kaynağında sismograf kullanılırsa (C) teorik olarak 0,298 e eşit olur.

Buraya kadar açıkladığımız bilgiler ışığında pratikliği açısından kullanılabilirliği uygun olan puls genişliği metodu boyuna ve enine sismik kırılma sinyalleri

üzerinden uygulanarak çeşitli zeminlerin Q kalite faktörü tesbit edilebilmektedir (Hartherl, 1983) Sismik enerjinin sönümu olan kalite faktörünü bulmak için:

Literatüre uygun şekilde arazide yapılan sismik kırılma çalışmaları kaydedilen sismik kayıtlarda; sismik sönmü ölçümlerinin kırılma sinyalleri üzerinden uygun bir şekilde tesbit edilebilmesi için sismoğraf üzerindeki tüm kanalların kazançlarının, filtre iz büyülüklelerinin, genliklerinin ve diğer tüm parametrelerinin aynı değerlerde olması gereklidir. Bu şartlar yerine getirildikten sonra sismik kırılma sinyallerinin varış zamanlarının hemen ardından gelen Puls'un yarım peryodluk değeri okunarak düşey eksen puls genişliği yatay eksen varış zamanlarının gösterecek şekilde tüm kanallar için okunan değerler grafik üzerinde belirlenir işaretlenen nokta değerler en küçük kareler yöntemi uygulanarak aşağıdaki doğru denkleminde Q kalite faktörü' bulunur

$$\lambda = \lambda_0 + C / Q * t \quad (6.11)$$

Puls genişliği bu denklemle tanımlanır.

7. UYGULAMALAR VE YORUMLARI

Kampüs sahası içerisinde değişik birimler üzerinde boyuna ve enine sık sismik kırılma ölçümleri alınmıştır. Kaydedilen sismik profili ölçüm yerlerinin temel jeolojik bilgileri KARAMAN (1988)'da yapmış olduğu çalışmalardan alınmıştır. Bu kayıtları diğer sismik kayıtlardan ayıran temel özellik sismik kayıt aleti üzerindeki Gain, Trace Size, ve Frequency ayar düğmeleri 12 kanal içinde aynı tutulmuştur. Dolayısıyla boyuna ve enine sismik dalga kayıtlarının değerlendirilmesi daha gerçekçi sonuçlar vermiştir. Bu değerlendirmeler sonucunda çalışma yapılan zeminlerin sismik aküstik empedansları, taşıma güçleri, Elastik parametreler ve tezin temelini teşkil eden zemin kalite faktörü Q_p ve Q_s (genlik/2) değerlerinden tesbit edilmiştir.

Sismik kayıtlardan sırasıyla zaman-uzaklık grafiklerinden yararlanarak önce zeminin hızı, ortam tabakalı ise ilk tabaka kalınlığı bulunmuştur. Sonra tezimizin içinde yer alan jeofizik parametreler enine dalga kayıtlarından faydalananarak saptanmıştır. Asıl konumuz olan Q parametresinin belirlenmesi için tüm kanallarda ilk gelen sinyalin peryotları gözönünde bulundurularak yarımlı peryotlar halinde değerlendirilmiştir. Puls genişliği diye ifade edilen bu veriler her tabaka için ayrı ayrı

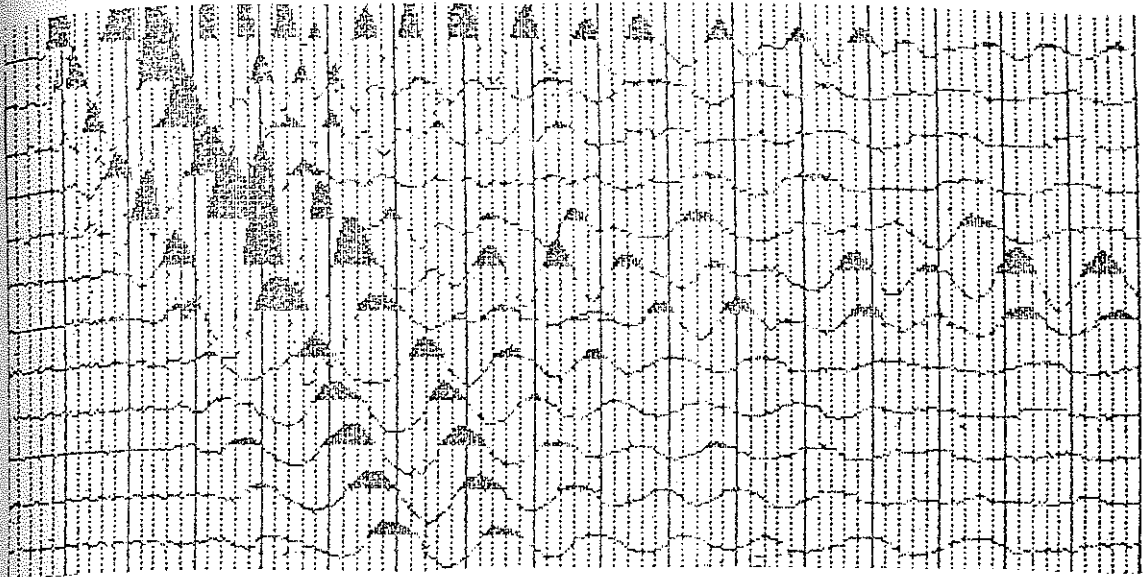
bilgisayara yüklenmiş ve veriler en küçük karekter yöntemiyle değerlendirilmıştır. Bu verilerin standart sapmaları ve korelasyon katsayıları saptanmıştır. Enküçük kareler yöntemiyle değerlendirilen verilerin puls genişliği grafikleri çizilmiş ve Qp, Qs kalite faktörleri tesbit edilmiştir. Şimdi sırasıyla arazi verilerini değerlendirelim.

7.1. Çünür Andezik Tepesi Üzerinden Alınan Sığ Boyuna ve Enine Sismik Kırılma Kayıtlarının Değerlendirilmesi

A) Boyuna (P) Sismik Kırılma Kaydı.

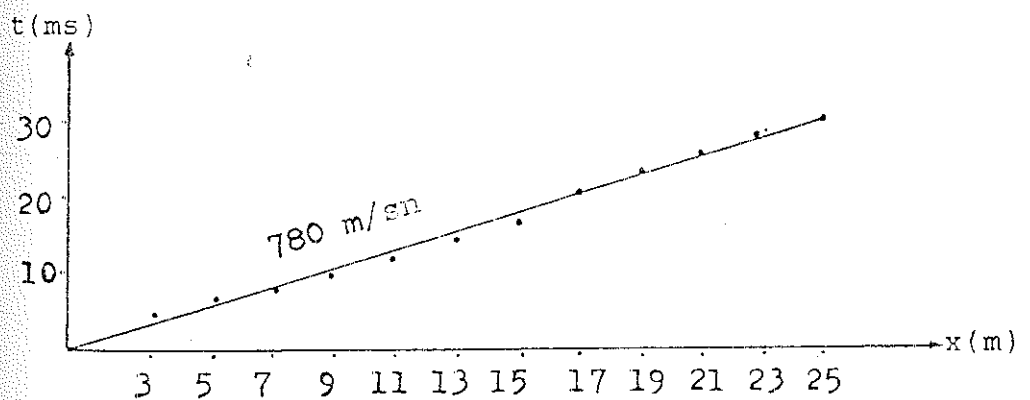
Pliyosen yaşılı Gölcük volkanizmasının bir yan baca faliyeti şeklinde ortaya çıktığı düşünülen bu Andezit birikimi Çünür mevkinde mostra vermiştir. Bu birikim çok çatlaklı ve kırıklıdır.

Bu birim üzerinde alınan sismik boyuna dalga kaydında Offset uzaklığı:3m, jeofen aralığı:2m, kayıt uzunluğu: 200ms ve kullanılan P jeofon:40 Hz dir (Şekil 7.1).



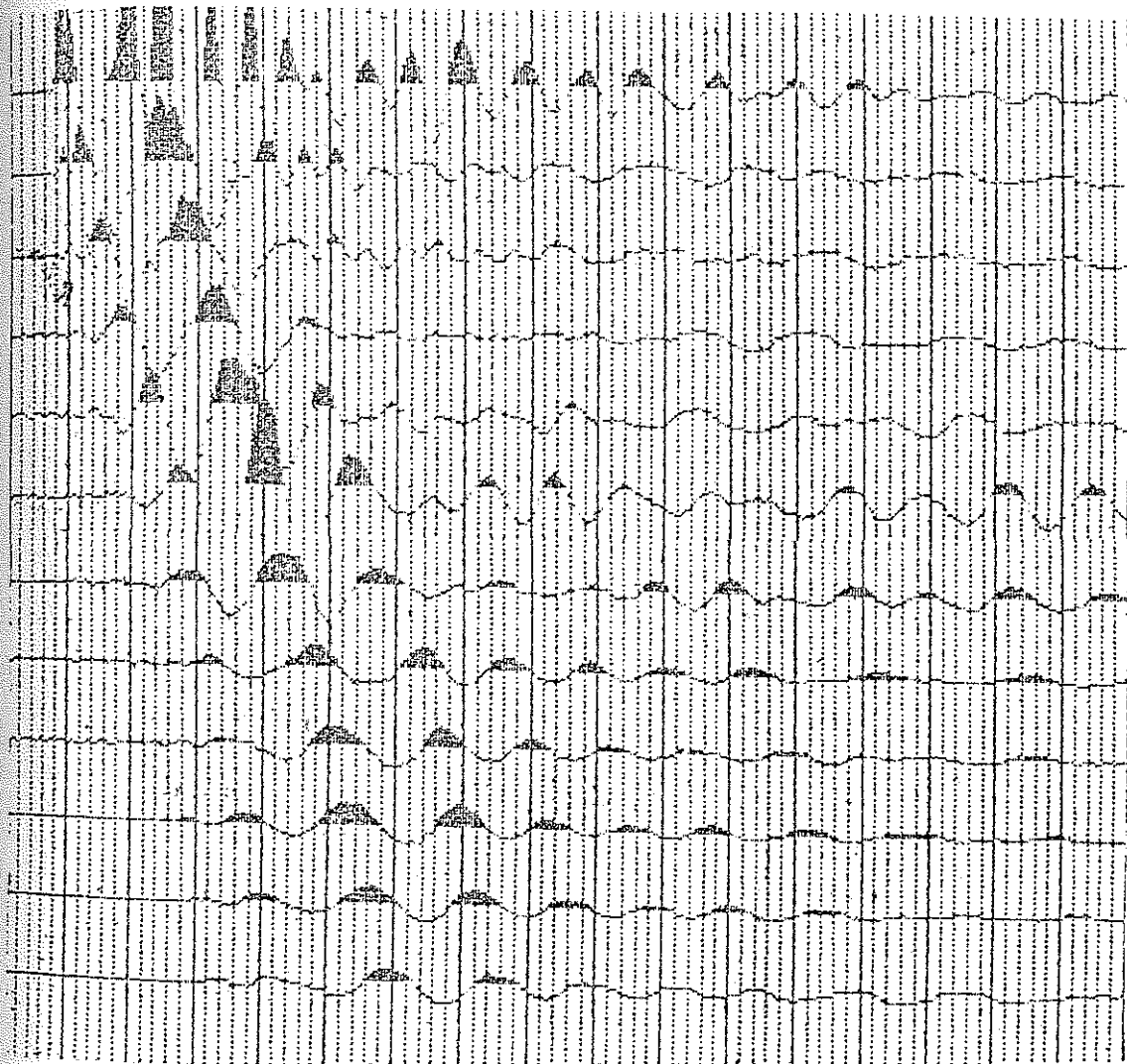
Şekil : 7.1 Çünür Andezit tepesi üzerinde alınan boyuna P sismik kırılma dalgası kaydı.

Andezit daykı üzerinde alınan verilerin değerlendirilmesi sonucu ileri derecede bozulmuş çok kırıklı bir geçiş zonu Andezitik yapıdan oluştugu saptanmıştır.



Şekil : 7.2 (Şekil : 7.1)'e ait yol-zaman grafiği.

Burada boyuna sismik kayıtlarından $V_{p1} = 780 \text{ m/sn}$ bulunmuştur



Şekil :7.3. Sismik sönmü belirlemek için alınan sıç boyuna sismik kırılma kaydı.

Sismik refraksiyonun kaydından okunan ilk gelen sinyallerin genlik değerlerinin yarısı bulunarak (Puls genişliği $\lambda/2$) değerlendirilmiş ve Qp değerleri bulunmuştur (Tablo:7.1).

Tablo : 7.1

P Sismik kırılma kaydının $t-\lambda/2$ korelasyonu

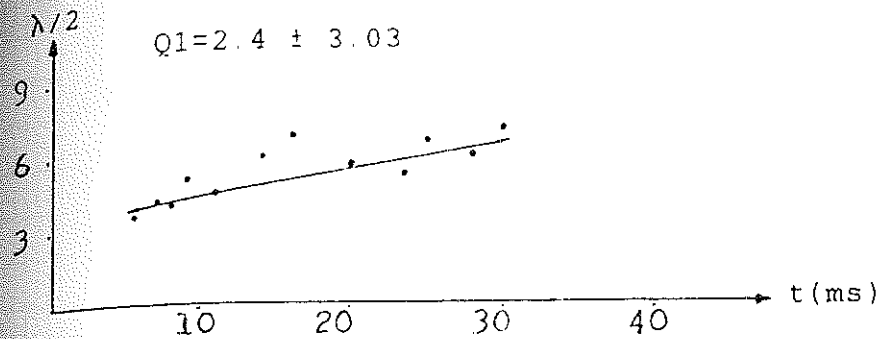
YATIRIM m ² (X)	PERİYOD GÜN (Y)	PERİYOD İNDİRİMİ		PERİYOD YÖNÜ 1/2	PERİYOD YÖNÜ Y1/2
		PERİYOD 1/2	PERİYOD 2		
5.7000	7.0000	3.5000	3.5000	3.4824	3.4824
7.0000	8.0000	3.5000	3.5000	4.1830	4.1830
8.0000	8.0000	3.5000	3.5000	4.1830	4.1830
9.0000	10.0000	3.5000	3.5000	4.4571	4.4571
11.0000	9.0000	4.5000	4.5000	4.5902	4.5902
14.0000	12.0000	5.0000	5.0000	4.8741	4.8741
16.0000	14.0000	5.0000	5.0000	5.2056	5.2056
20.0000	14.0000	5.5000	5.5000	5.4518	5.4518
23.0000	14.0000	5.0000	5.0000	5.5441	5.5441
25.0000	15.0000	4.5000	4.5000	6.3134	6.3134
28.0000	12.0000	4.0000	4.0000	5.6827	5.6827
30.0000	14.0000	7.0000	7.0000	5.9288	5.9288

REGRESYON K. SAYILARI

$$\begin{aligned} A_0 &= 3.482407 \\ A_1 &= .1230865 \\ D &= 2.404814 \end{aligned}$$

	X	Y
MARİMETİK ORTALAMA	15.48	6.17
STANDART SAFMA	8.57	3.02

	X	Y
KORELASYON FAKTORU	0.72	



Şekil: 7.4 Tablo: 7.1 e ait $\lambda/2-t$ grafiği.

Şekilde görüldüğü gibi Çümür andezit tepesinde yazılan sismik refraksiyon kaydının değerlendirilmesi sonucu $Q_1 = 2,4$ ve ortamın yoğunluğu $= 1,73 \text{ gr/cm}^3$ bulunmuştur. Çümür andezit tepesi üzerinde farklı bir noktada alınan P ve S kayıtlarına göre :

B) Boyuna (P) Sismik Kırılma Kaydı

Kayıt uzunluğu : 200 ms

Offset Uzaklığı : 2 m

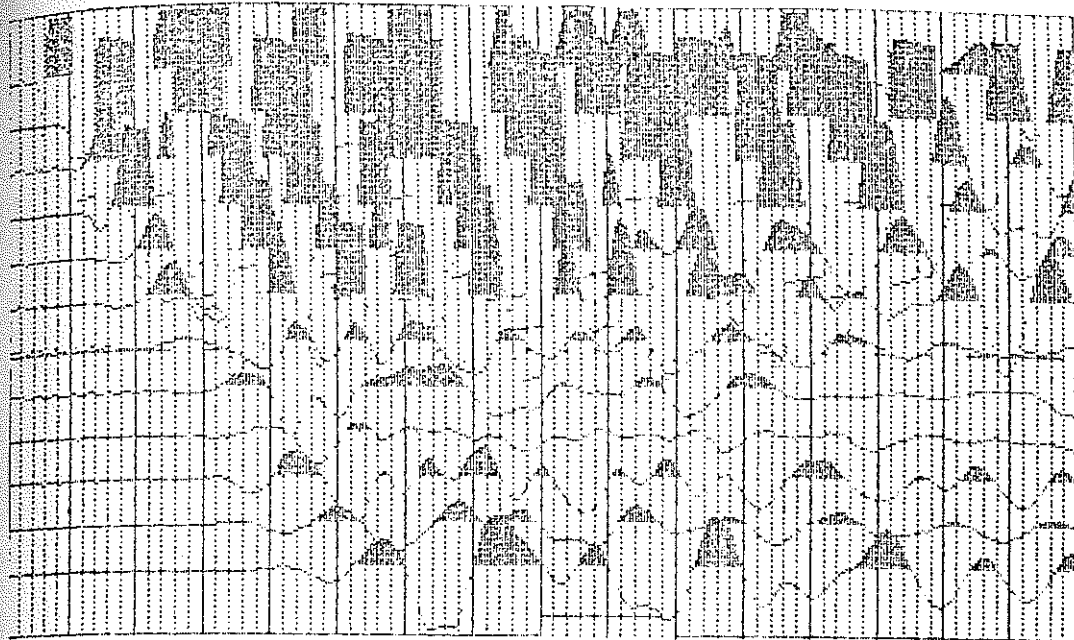
Jeofon Aralığı : 2 m

Trace Size : 2

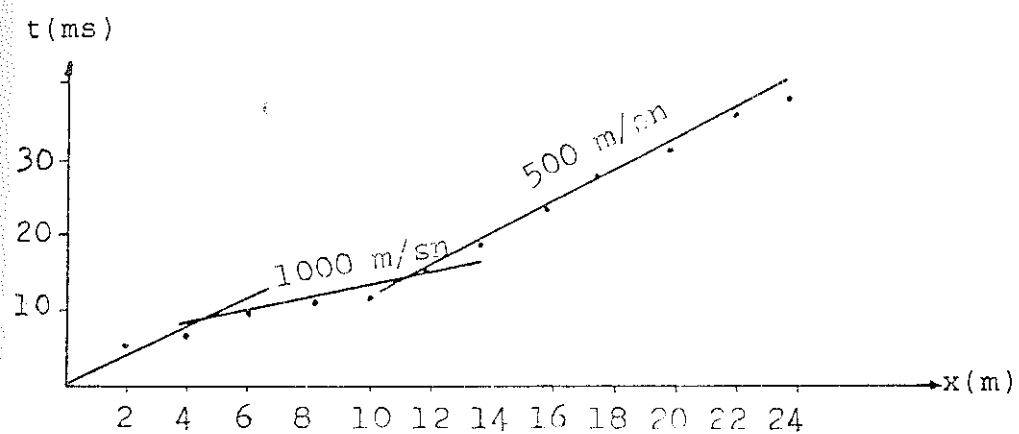
Gain : 36 dB

Kullanılan jeofon : P: 40 Hz, S: 20 Hz.

Allpass filtre



Sekil:7.5 Çümür Andezit tepesinde alınan boyuna (P) dalga kaydı.



Sekil:7.6. (Sekil:7.5)'deki kaydın yol-zaman grafiği

Bu yapıyla ilgili tüm veriler (tablo:7.2)'de verilmiştir

Tablo : 7.3.e

P Sismik kırılma kaydının $t-\lambda/2$ korelasyonu

VİTAY EI mE (X)	DİLLET Eİ		FİLSE Eİ		FİLSE + İHA Dİ	
	FİLSE, OLUŞTU (Y)	FİLSE, TİPTİ (Y)	FİLSE, TİPTİ (Y)	FİLSE, TİPTİ (Y)	FİLSE, TİPTİ (Y)	FİLSE, TİPTİ (Y)
10.000	12.000	12.000	12.000	12.000	12.000	12.000
12.000	13.000	13.000	13.000	13.000	13.000	13.000
14.000	14.000	14.000	14.000	14.000	14.000	14.000
15.000	15.000	15.000	15.000	15.000	15.000	15.000

REGRESYON K. SAYILARI

$$\begin{aligned} A_0 &= 2.076264 \\ A_1 &= .2881374 \\ B &= 1.027288 \end{aligned}$$

	X	Y	R
METRİMETİK ORİALAMA	12.75	6.75	
STANDART SİFİNA	2.12	0.65	

KORELASYON KATSASI İE | $\rho = 0.99$ |

Table : 7.3.b

P Sismik kırılma kaydının $t - \lambda/2$ korelasyonu

YATAY EFT ms (Y)	LUBE EFT PERIOD (sec)	FIRSETH PERIOD	REGRESYONLU T (T)
15.0000	15.0000	15.0000	6.5302
26.0000	15.0000	25.0000	7.4763
30.0000	14.0000	30.0000	7.2121
32.0000	12.0000	32.0000	7.8135
37.0000	16.0000	37.0000	7.7948
39.0000	17.0000	39.0000	8.5121

REGRESYON EFT SAYILARI

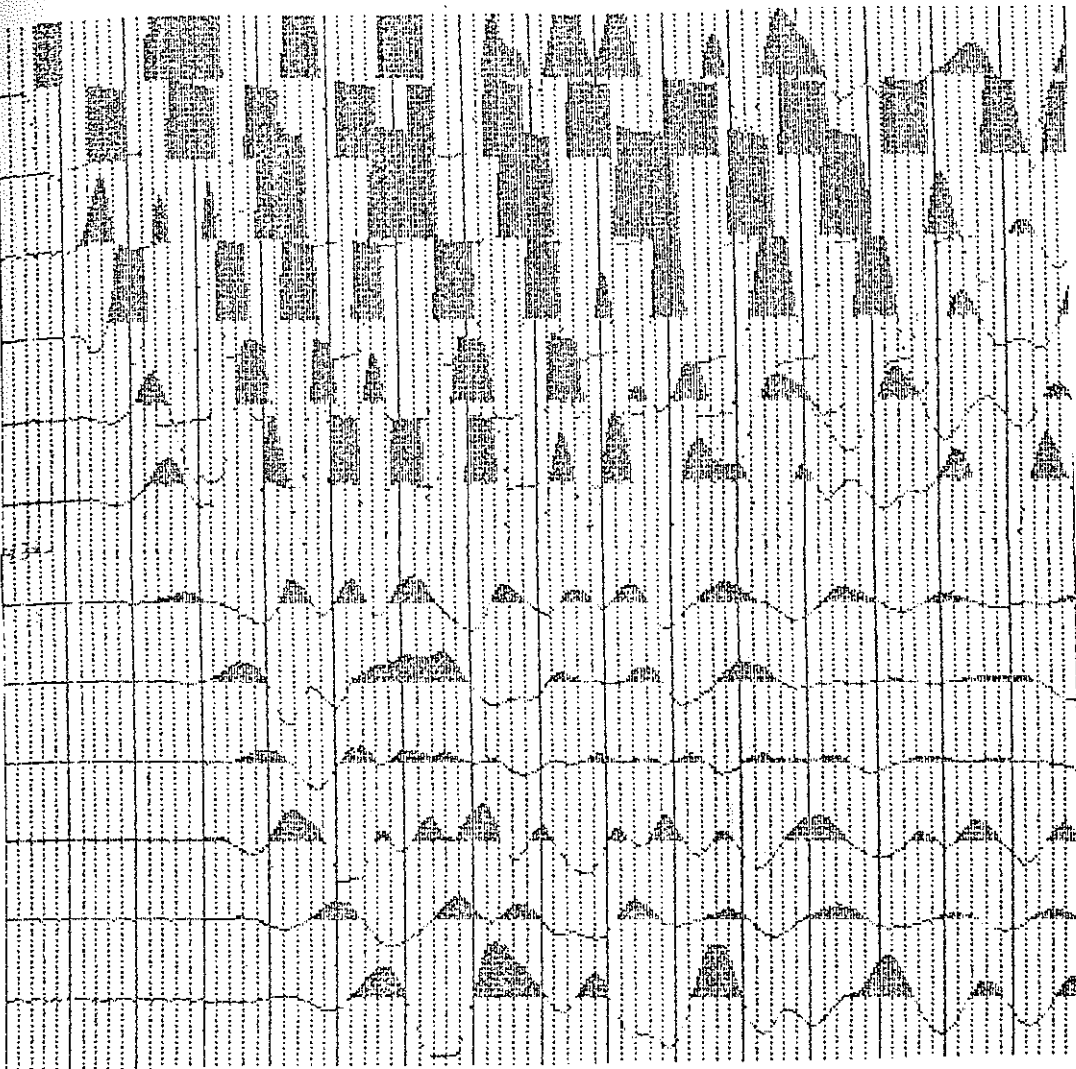
$$A0 = 6.530285$$

$$A1 = .0454545$$

$$B = 6.512007$$

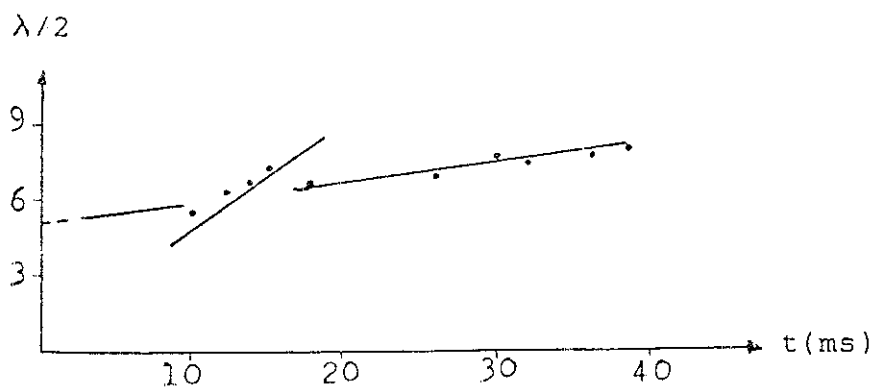
	X	Y
FIRSETH T (T) OF TABELA	30.00	6.75
STANDART SAFIMA	7.24	4.78

	X	Y
KORELASYON KATSAYISI	0.69	



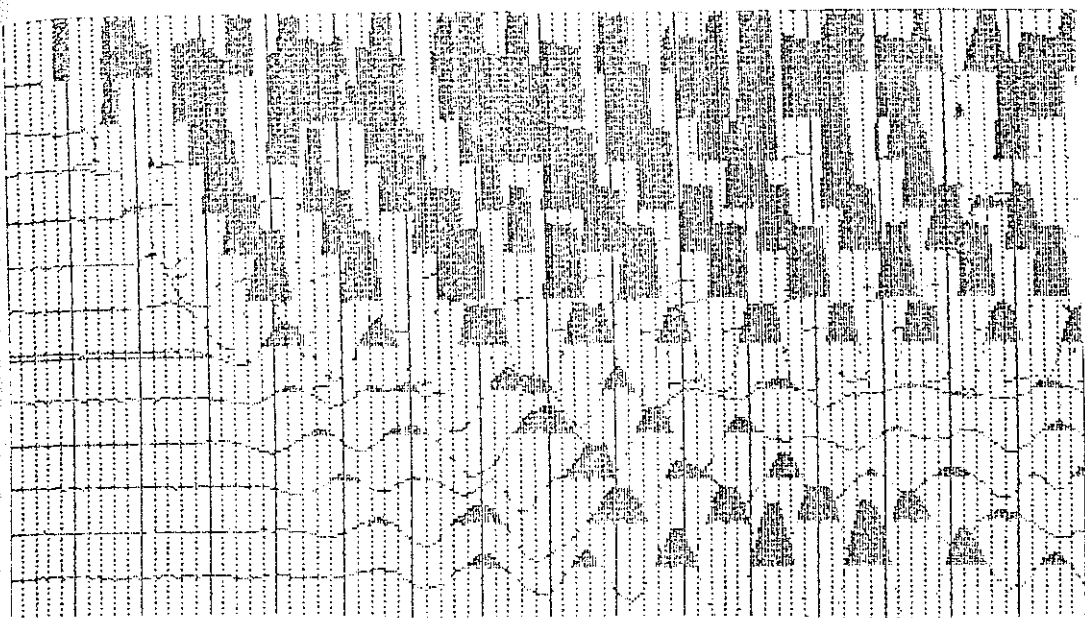
Şekil:7.7 Sismik sönüm için alınan boyuna (P) sismik kırılma kaydı.

(Şekil 7.7)'de okunan veriler (tablo: 7.3.a ve 7.3.b)'de görüldüğü gibidir.

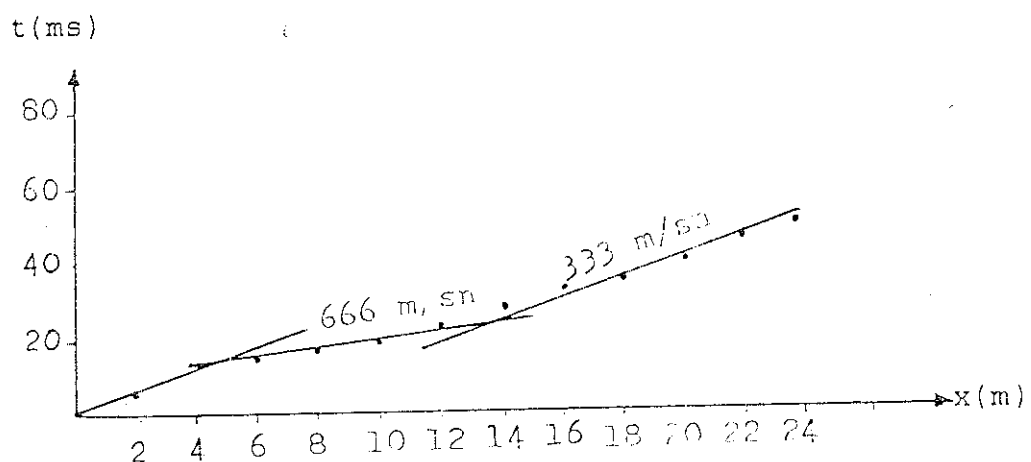


Sekil:7.8 (Tablo 7.3.a ve b)'ye ait $\lambda/2$ -t grafiği

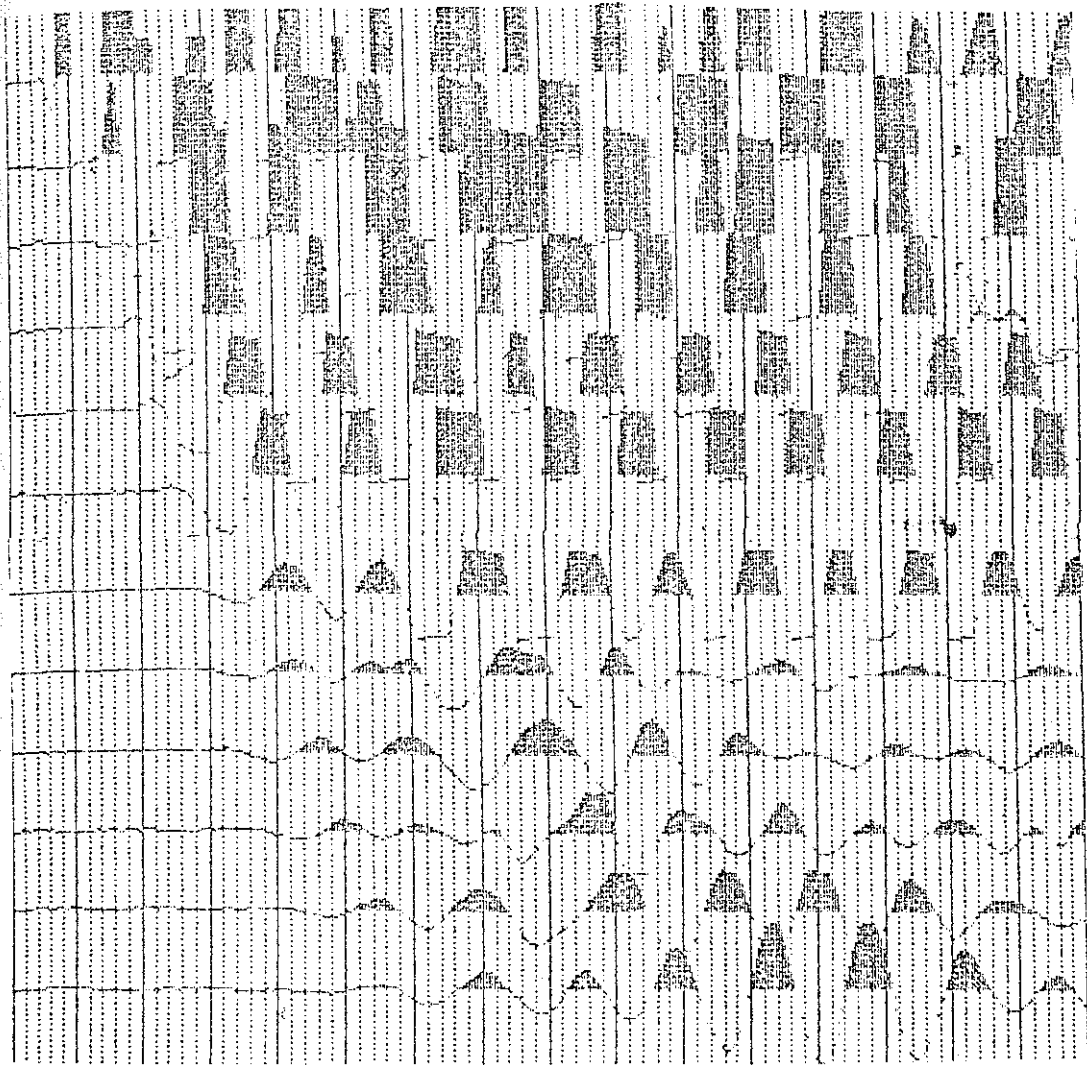
C) Enine (S) Sismik Kırılma Kaydı



Şekil :7.9 Enine (S) sismik kırılma kaydı

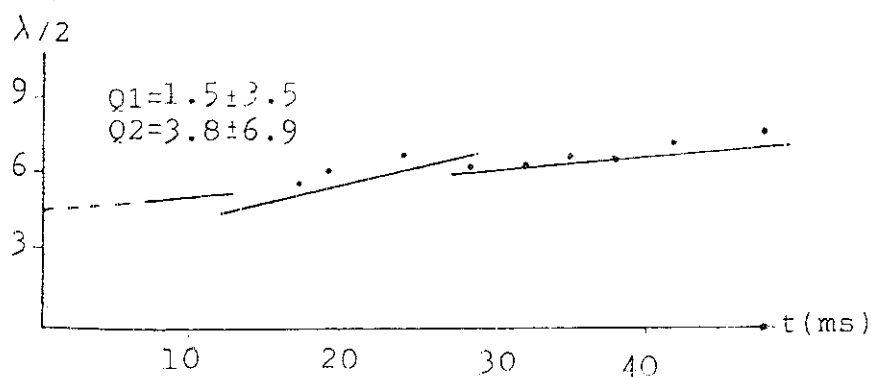


Şekil:7.10 Şekil:7.9'a ait yol-zaman grafiği.



Şekil :7 11 Sismik sönüm için alınan enine (S) sismik kırılma kaydı

(Şekil 7 11)'de okunan veriler (tablo 7.4.a ve b)'de verilmiştir.



Şekil:7.12 (Tablo:7.4 a ve b)'ye ait $\lambda/2-t$ grafiği

Table : 7.4.a
S Sismik kırılma kaydının $t - \lambda/2$ korelasyonu

YATIRIM EKI mE	TUTUM EKI PERCENTAGE	FİLM İNDEKSİ PERCENTAGE	KORELASYON %		KORELASYON %
			Y	X	
14,00±0	100,00%	100,00%	5,800	7,5472	
12,00±0	100,00%	100,00%	5,700	6,2517	
19,00±0	100,00%	100,00%	6,000	6,8343	
24,00±0	100,00%	100,00%	7,000	7,6717	

REGRESYON EKI SAHİPLİĞİ

$$\begin{aligned} A_0 &= 21547153 \\ A_1 &= 11933766 \\ Q &= 11530534 \end{aligned}$$

ARİTMETİK ORTALAMA	X		Y	
	ORTA DEĞER	STANDART SİPARİS	ORTA DEĞER	STANDART SİPARİS
18,50	7,30	4,20	3,15	

KORELASYON KATSAYISI	X - Y	
	DEĞERİ	STANDART SİPARİS
0,96		

Tablo : 7.4.b

S Sismik kırılma keydi $t - \lambda/2$ korelasyonu

VATASI EKI Time (X)	GÜZEL EKI PERIOD (ms.) (Y)	PULSE WIDTH		REGRESSION COEFF.
		T-2	T+2	
23.000	13.0000		5.5000	4.1213
32.000	13.0000		6.5000	4.5411
35.000	14.0000		7.0000	4.5422
38.000	14.0000		7.0000	4.6411
44.000	15.0000		7.5000	7.1214
48.000	15.0000		8.0000	7.5412

REGRESYON EKI GÖRÜLME

R= 4.232285
 R²= 7.60287E-01
 S= 3.893285

	X	Y
MİTİHETİN ORTALAMA	27.52	7.75
STANDART SİFİMA	7.32	4.55

	X	Y
KORELASYON TABAKASI	1.72	1

Tablo: 7.2.

Çünür andezit tepesi üzerinde kaydedilen P ve S sismik kırılma kayıtlarının sonuçları.

	Vp m/sn	Vs m/sn	Qp	Qs	G kg/km ²	E kg/cm ³	gr/cm ³	qu kg/cm ²	qs kg/cm ²
1.T.	500	333	6.5	3.8	18851	41526	1,7	0,85	0,57
2.T.	1000	666	1	1.5	79840	175877	1,8	1,8	1,29

T: Tabaka

Olarak bulunmuştur.

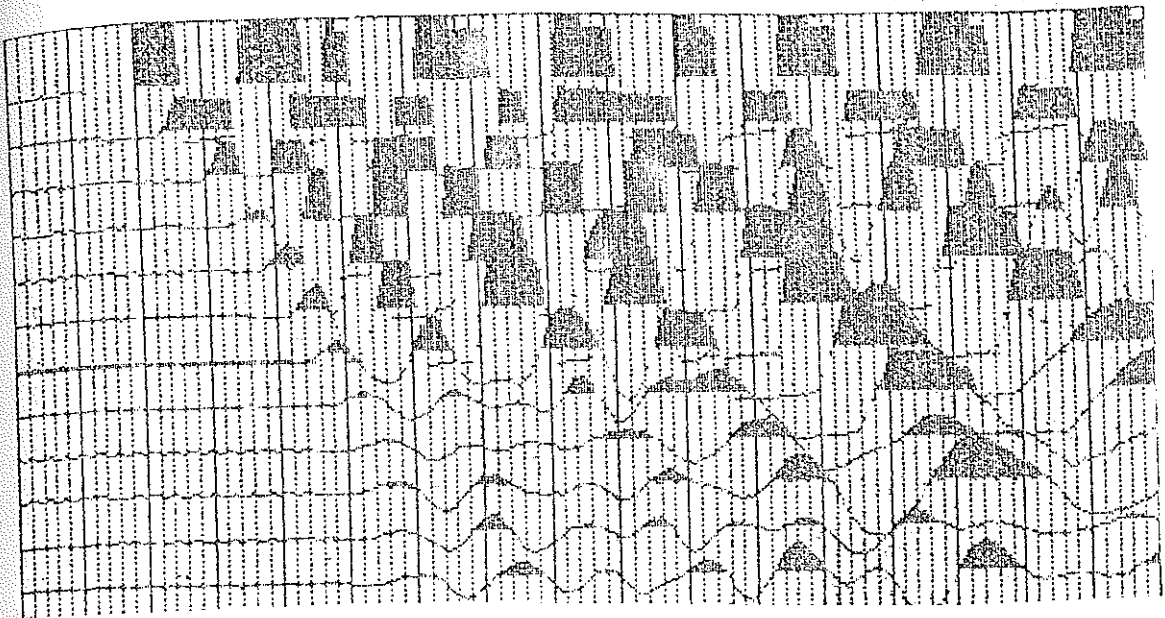
Aynı noktada alınan P ve S kaydının değerlendirilmesi sonucunda da görüldüğü gibi andezit profil doğrultumuz içerisinde bir dayk gibi kaydedilmiştir. Bu özellikle Q kalite faktörünün düşmesine neden olmuştur.

7.2. Isparta-Ankara Yolu Üzerinde (Isparta Mensucat Yanı) Alınan Boyuna Sismik Refreksiyon Kayıtları.

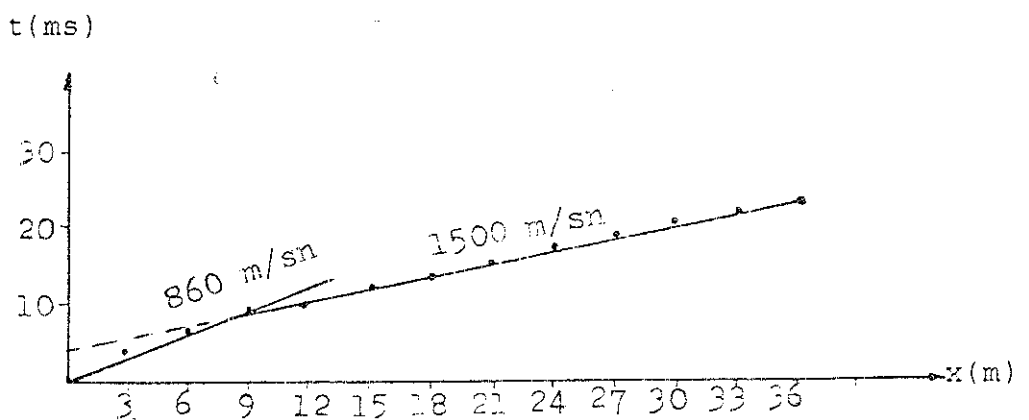
Plaketli kireç taşı üzerinde birbirine paralel iki sismik kayıt alınmıştır. Bu kayıtlardan birincisi yola paralel ikincisi yola dik doğrultudadır.

A. Yola Paralel Olarak Alınan Sismik Kırılma Kaydı

Bu kayıtla : Ofset uzaklığı : 3m. Jeofen aralığı : 3m.
Kayıt uzunluğu 100 ms dir. Kullanılan jeofen : 40 Hz dir



Şekil :7.13 Yola paralel olarak alınan boyuna sismik kırılma kaydı.



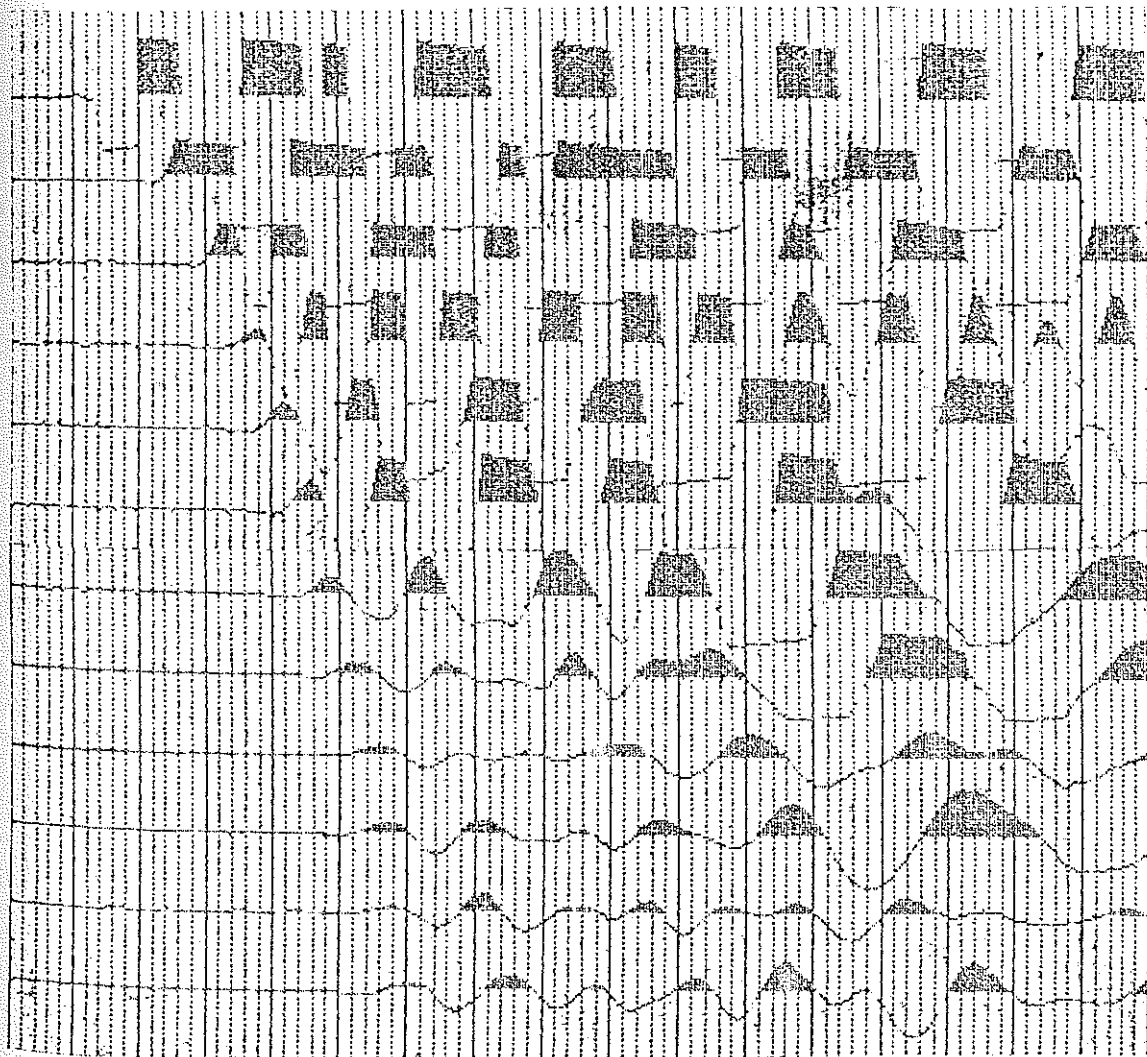
Şekil:7.14 (Şekil 7.13)'e ait yol-zaman grafiği.

Söbü dağı formfasyonunun tabanını temsil eden Masif kireçtaşı birimi genellikle gri, koyu gri, beyaz, krem renkli masif kireçtaşına nazaran daha az dayanımlı, yer yer kırılınan yer sert özelliktedir. 3 cm ile 1 m arasında değişen tabakalanma gösteren bu kireçtaşı biriminin üst

seviyeleri killi ve çört yumruludur. Birimin yaşı üst kretase olarak saptanmıştır.

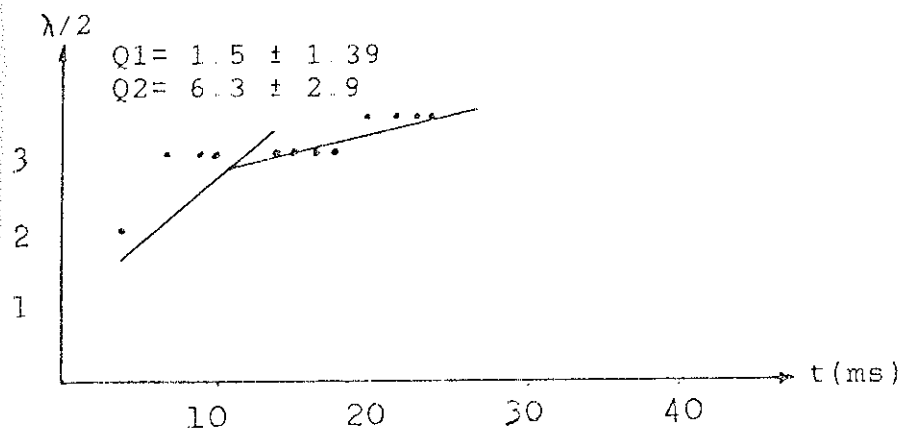
Elde edilen verilerin değerlendirilmesi sonucu bu kayıtlarımızda iki tabaka tesbit edilmiştir. Birinci tabaka killi ve çört yumrulu nebatı toprak içeren ortamdır. Bu birimin sismik hızı $V_p:860$ m/sn. dir Tabaka kalınlığı:2,2m dir. ikinci katman ise daha az dayanıklı ve çatlıaklı birimdir. Bu birimin sismik hızı $V_{pz}:1500$ m/sn bulunmuştur.

Kalite faktörünü belirlemek için alınan boyuna sismik kırılma kaydı (Şekil:7.15)



Şekil :7.15. Sismik sönm için alınan sismik kayıt.

(Şekil 7.15) 'de okunan veriler (tablo 7.5) 'de verilmiştir.



Şekil:7.16 (Tablo 7.5.a ve b)'ye ait $\lambda/2$ -zaman grafiği.

Burada görüldüğü gibi $Qp1:1,5$ ve $Qp2:6,36$ 'dır.

Yola dik olarak alınan sismik refraksiyon kayıtlarını değerlendirirsek,

Tablo : 7.5.a

P Sismik kırılma kaydının $t-\lambda/2$ korelasyonu

APRIL EPI NO.	LAJİT EPI NO.	PULSE WIDTH ms	PERIOD s	PERIOD ms
7.0000	4.0000	2.0000	1.3333	1.3333
7.0000	4.0000	3.0000	2.1374	2.1374
7.0000	4.0000	3.0000	2.6976	2.6976

REGRESYON HESAPLARI

$$\hat{y}_0 = 1.37 \cdot 112$$

$$\hat{A}_1 = .1846131$$

$$Q = 1.554471$$

Y	X	Y	X
6.92	1	3.25	1
2.75	1	1.39	1

VARİANSİYUM ORTALAMA
STANDART SİFİNA

Y	X
6.92	1

KORELASYON KATENİ (6)

Table : 7.5.b

P Sismik kırılma kaydının $t-\lambda/2$ korelasyonu

MARTİNEK EP ms (X)	DÜZELT EP PEFİYOT ms (Y)	PULSE WIDTH PEFİYOT/ λ (Z)	REGRESYONLU Y (L)
10.000	6.0000	3.0000	1.3973
12.500	6.0000	3.0000	1.8418
14.000	6.0000	3.0000	2.5793
16.000	6.0000	3.0000	3.6450
18.000	5.0000	3.0000	5.1421
20.000	7.0000	3.5000	7.2152
22.000	7.0000	3.5000	9.3282
25.000	7.0000	3.5000	11.4213
24.000	7.0000	3.5000	10.4676

REGRESYON L. SAYILARI

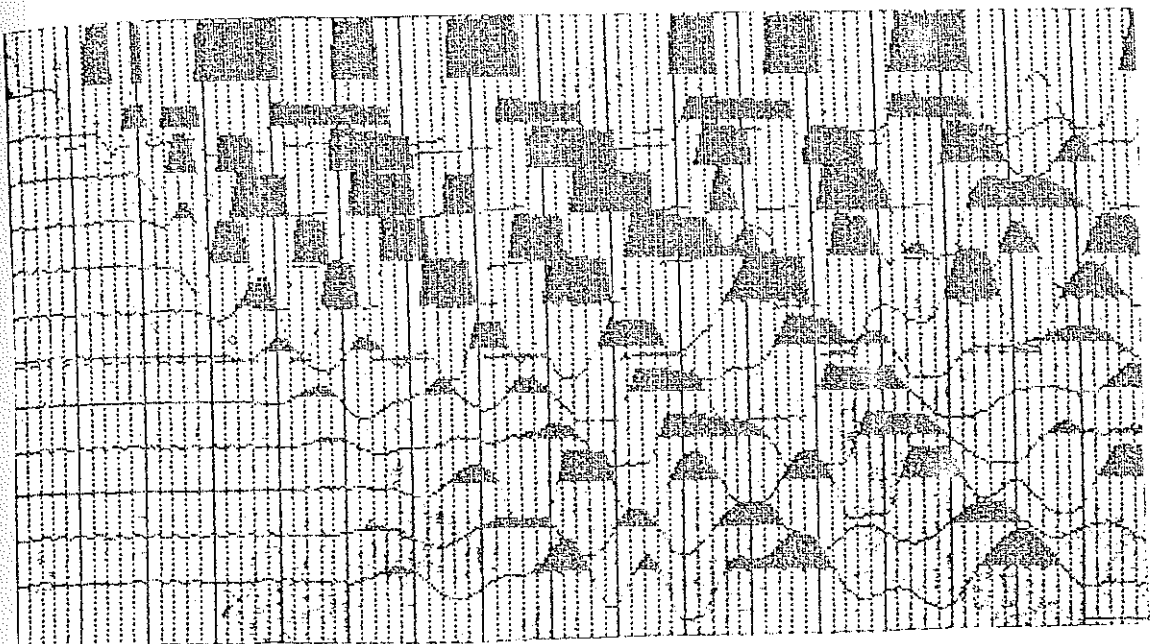
$$A_0 = 2.397347$$

$$A_1 = 4.654475E+08$$

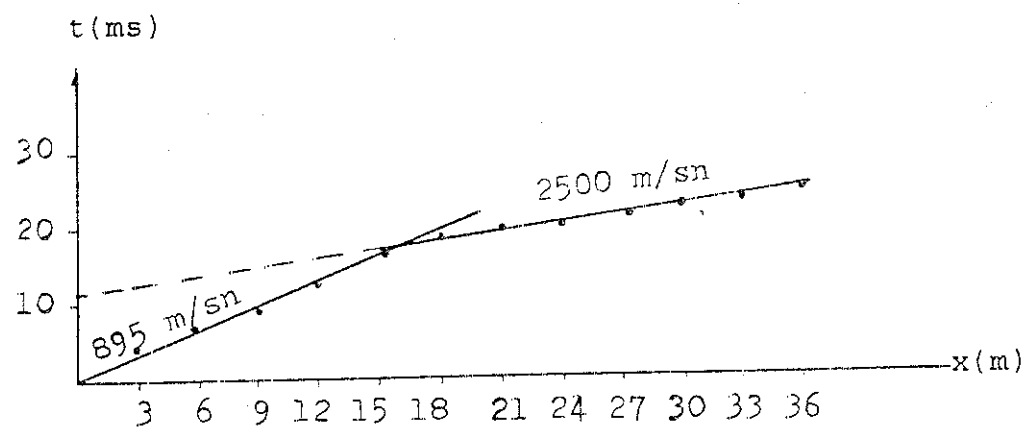
$$Q = 6.329465$$

	X	Y
MARTİNETIK ORTALAMA	17.72	4.17
STANDART SAHNA	4.53	2.95

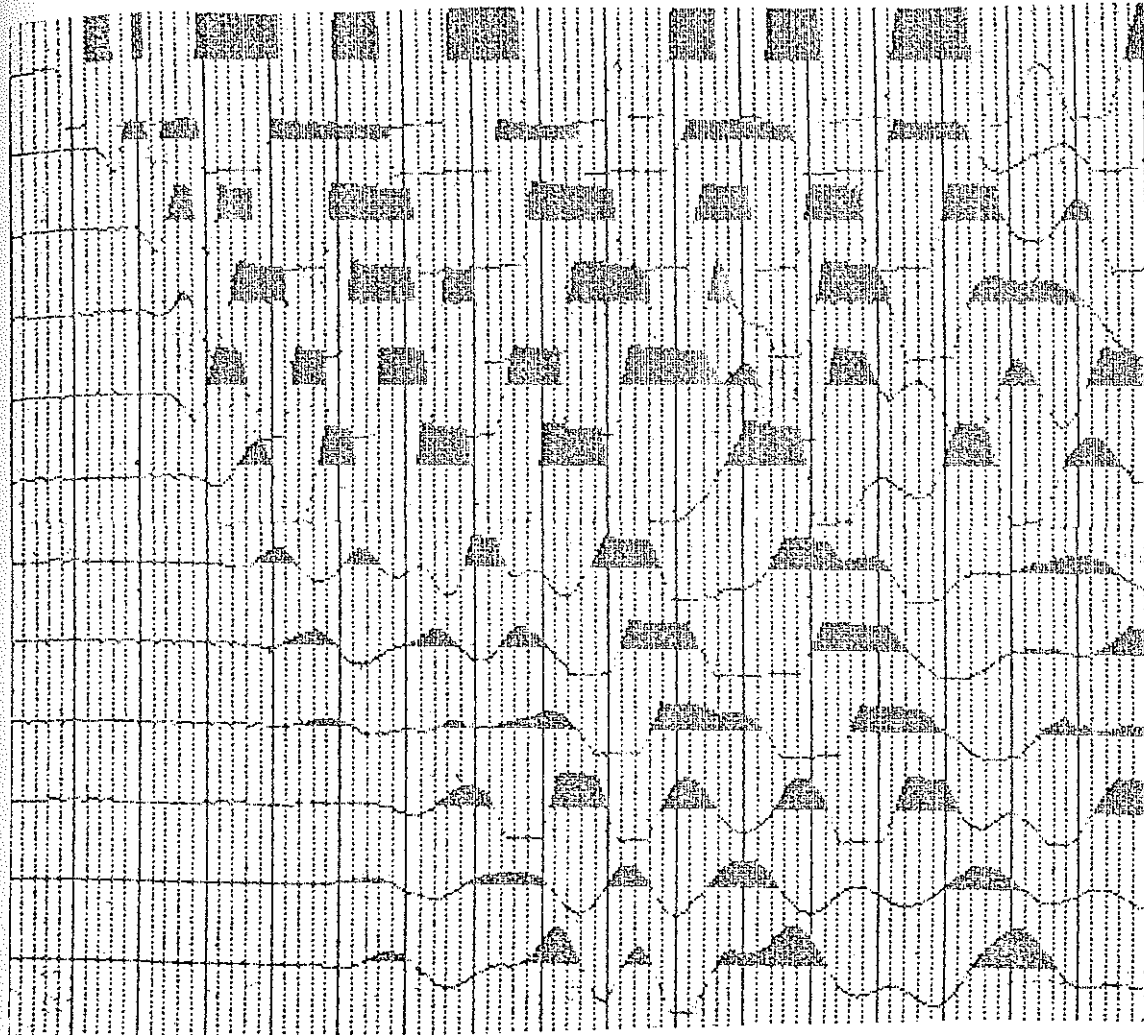
	X	Y
KORELASYON KATSAYISI	0.54	



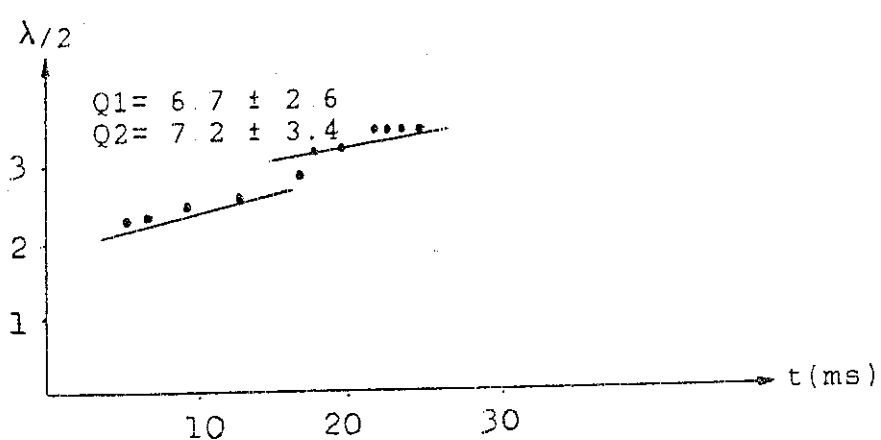
Şekil :7.17 Yola dik olarak alınan sismik kırılma kaydı.



Şekil:7.18 (Şekil 7.17)'ye ait yol-zaman grafiği.



Şekil :7.19 Sismik söñüm için alınan boyuna sismik kırılma kaydı.



Şekil :7.20 (Tablo 7.6 a ve b)'ye ait $\lambda/2$ -zaman grafiği.

Tablo : 7.6.a

P Sismik kırılma kaydının $t-\lambda/2$ korelasyonu

YIL	DEĞİŞİM İLE PERİYOT	PULSE İNTEZİTİ PERİYOT	PULSE İNTEZİTİ PERİYOT
1970	5.000	2.500	1.500
1971	5.000	2.500	1.500
1972	5.000	2.500	1.500
1973	5.000	2.500	1.500
1974	5.000	2.500	1.500
1975	5.000	2.500	1.500
1976	5.000	2.500	1.500
1977	5.000	2.500	1.500
1978	5.000	2.500	1.500
1979	5.000	2.500	1.500
1980	5.000	2.500	1.500
1981	5.000	2.500	1.500
1982	5.000	2.500	1.500
1983	5.000	2.500	1.500
1984	5.000	2.500	1.500
1985	5.000	2.500	1.500
1986	5.000	2.500	1.500
1987	5.000	2.500	1.500
1988	5.000	2.500	1.500
1989	5.000	2.500	1.500
1990	5.000	2.500	1.500
1991	5.000	2.500	1.500
1992	5.000	2.500	1.500
1993	5.000	2.500	1.500
1994	5.000	2.500	1.500
1995	5.000	2.500	1.500
1996	5.000	2.500	1.500
1997	5.000	2.500	1.500
1998	5.000	2.500	1.500
1999	5.000	2.500	1.500
2000	5.000	2.500	1.500
2001	5.000	2.500	1.500
2002	5.000	2.500	1.500
2003	5.000	2.500	1.500
2004	5.000	2.500	1.500
2005	5.000	2.500	1.500
2006	5.000	2.500	1.500
2007	5.000	2.500	1.500
2008	5.000	2.500	1.500
2009	5.000	2.500	1.500
2010	5.000	2.500	1.500
2011	5.000	2.500	1.500
2012	5.000	2.500	1.500
2013	5.000	2.500	1.500
2014	5.000	2.500	1.500
2015	5.000	2.500	1.500
2016	5.000	2.500	1.500
2017	5.000	2.500	1.500
2018	5.000	2.500	1.500
2019	5.000	2.500	1.500
2020	5.000	2.500	1.500
2021	5.000	2.500	1.500
2022	5.000	2.500	1.500
2023	5.000	2.500	1.500
2024	5.000	2.500	1.500
2025	5.000	2.500	1.500
2026	5.000	2.500	1.500
2027	5.000	2.500	1.500
2028	5.000	2.500	1.500
2029	5.000	2.500	1.500
2030	5.000	2.500	1.500
2031	5.000	2.500	1.500
2032	5.000	2.500	1.500
2033	5.000	2.500	1.500
2034	5.000	2.500	1.500
2035	5.000	2.500	1.500
2036	5.000	2.500	1.500
2037	5.000	2.500	1.500
2038	5.000	2.500	1.500
2039	5.000	2.500	1.500
2040	5.000	2.500	1.500
2041	5.000	2.500	1.500
2042	5.000	2.500	1.500
2043	5.000	2.500	1.500
2044	5.000	2.500	1.500
2045	5.000	2.500	1.500
2046	5.000	2.500	1.500
2047	5.000	2.500	1.500
2048	5.000	2.500	1.500
2049	5.000	2.500	1.500
2050	5.000	2.500	1.500
2051	5.000	2.500	1.500
2052	5.000	2.500	1.500
2053	5.000	2.500	1.500
2054	5.000	2.500	1.500
2055	5.000	2.500	1.500
2056	5.000	2.500	1.500
2057	5.000	2.500	1.500
2058	5.000	2.500	1.500
2059	5.000	2.500	1.500
2060	5.000	2.500	1.500
2061	5.000	2.500	1.500
2062	5.000	2.500	1.500
2063	5.000	2.500	1.500
2064	5.000	2.500	1.500
2065	5.000	2.500	1.500
2066	5.000	2.500	1.500
2067	5.000	2.500	1.500
2068	5.000	2.500	1.500
2069	5.000	2.500	1.500
2070	5.000	2.500	1.500
2071	5.000	2.500	1.500
2072	5.000	2.500	1.500
2073	5.000	2.500	1.500
2074	5.000	2.500	1.500
2075	5.000	2.500	1.500
2076	5.000	2.500	1.500
2077	5.000	2.500	1.500
2078	5.000	2.500	1.500
2079	5.000	2.500	1.500
2080	5.000	2.500	1.500
2081	5.000	2.500	1.500
2082	5.000	2.500	1.500
2083	5.000	2.500	1.500
2084	5.000	2.500	1.500
2085	5.000	2.500	1.500
2086	5.000	2.500	1.500
2087	5.000	2.500	1.500
2088	5.000	2.500	1.500
2089	5.000	2.500	1.500
2090	5.000	2.500	1.500
2091	5.000	2.500	1.500
2092	5.000	2.500	1.500
2093	5.000	2.500	1.500
2094	5.000	2.500	1.500
2095	5.000	2.500	1.500
2096	5.000	2.500	1.500
2097	5.000	2.500	1.500
2098	5.000	2.500	1.500
2099	5.000	2.500	1.500
20100	5.000	2.500	1.500

REGRESYON EŞİYATLARI

$$\text{40 = } 0.211 \cdot N^2 + \\ 4.1 \cdot 10^{-4} \cdot N + 2.1 \\ \text{D = } 0.77 \cdot N^{0.5}$$

	X	Y
1	10.40	3.78
2	21.48	4.57
3	31.66	5.34

$$R^2 = 0.997 \quad \text{KORELASYON İLİŞKİSİ}$$

Tablo : 7.6.b

P Sismik kırılma kaydının $t-\lambda/2$ korelasyonu

YATIRIŞ EKI NO:	DÜZEN EKİ NO:	FERRYOT (m/s)	FERRYOT/2	REGRESYONLU	
				X	Y
12.000	6.5000		3.2500		2.5328
13.000	4.5000		3.2500		3.2705
21.0000	7.0000		3.5000		3.3525
22.0000	7.0000		3.5000		3.3535
23.0000	7.0000		3.5000		3.4344
24.0000	7.0000		3.5000		3.4754
25.0000	7.0000		3.5000		3.5164

REGRESYONLU SAYILARI

$A_0 = 2.532807$

$A_1 = .405832$

$B = 7.222472$

	X	Y
ARİTMETİK ORTALAMA	21.86	4.71
STANDART SAFMA	2.41	3.44

	X	Y
KORELASYON KATSAYISI	0.60	

Burada $Qp1:6,7$, $Qp2:7,2$ $V1=895$ m/sn, $V2= 2500$ m/sn ve $h1=5,7$ m. dir.

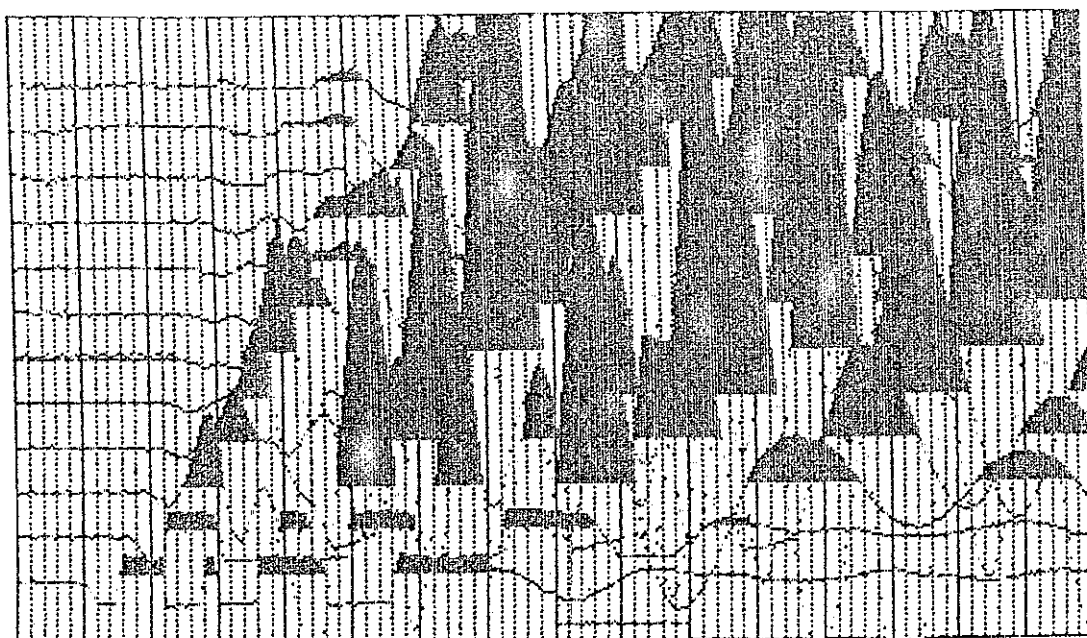
Yola dik olarak alınan kayıtlarda sismik hızlar ve kalite faktörü yüksektir. Bu da zemindeki çatlak ve kırıkların yola dik olduğunu gösterir.

7.3. Kampüs Sahası İçerisindeki İdari Binanın Önünde
Alınan Boyuna (P) ve Enine (S) Sığ Sismik Kırılma
Kaydı.

A) Boyuna (P) Sismik Kırılma Kaydı

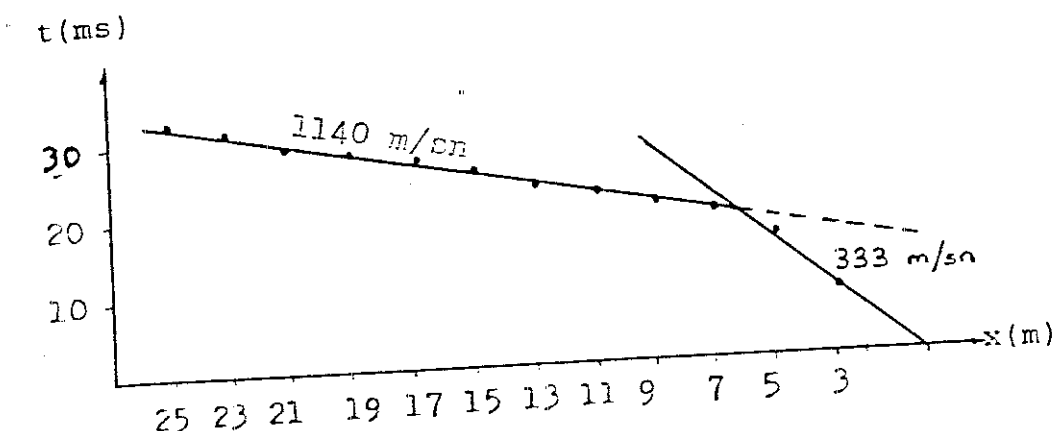
İdari binanın önünde yapılan sığ boyuna sismik refraksiyon kaydı yapıldı. Bu çalışmada Ofset uzaklığı: 3 m jeofon aralığı: 2 m, kayıt uzunluğu: 200 ms kullanılan jeofon P: 40 Hz., S:20 Hz.

Gain : 24 dB, Trace size: 3 birimdir.



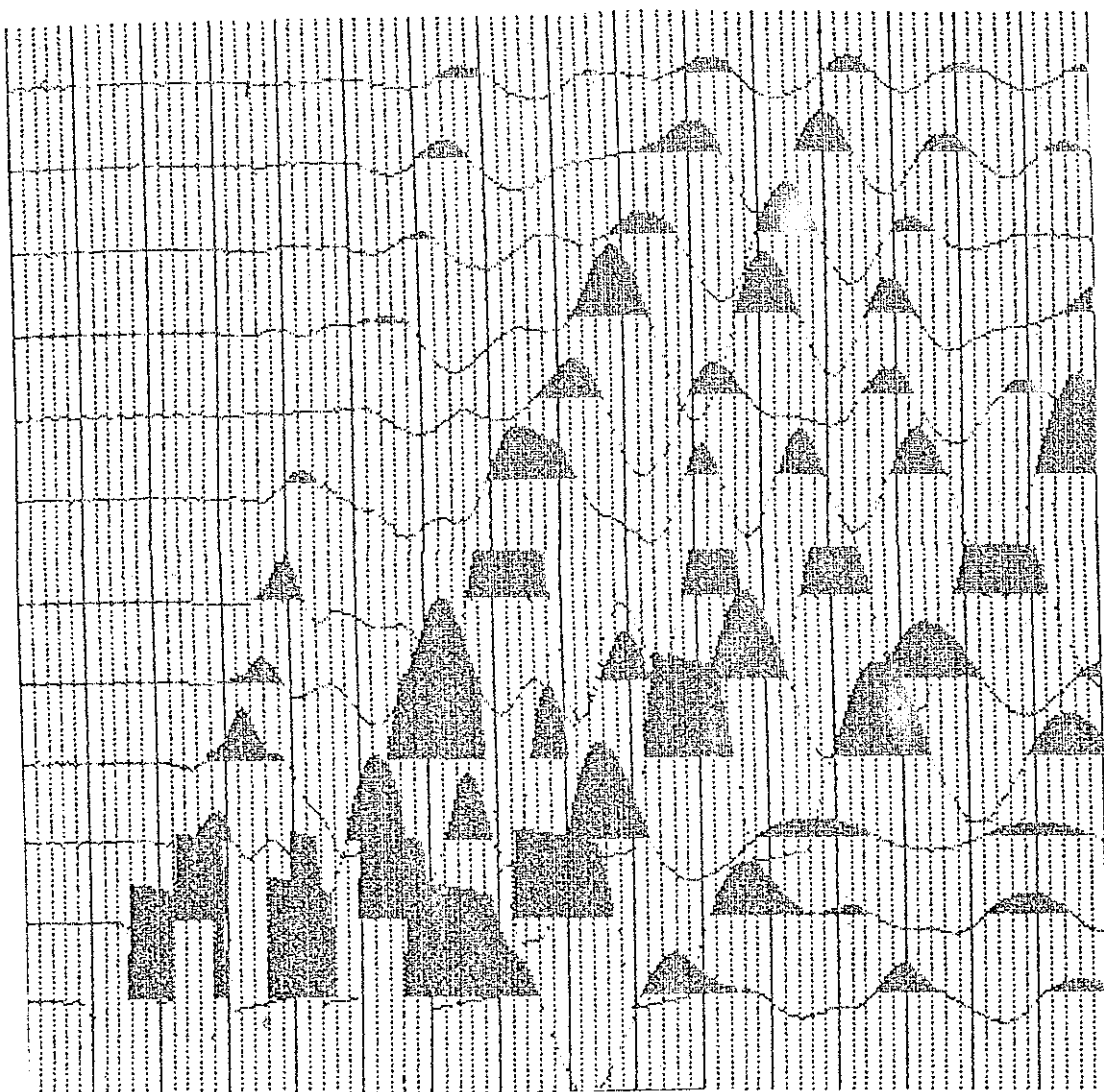
Şekil:7.21. Sığ boyuna (P) sismik refraksiyon kaydı.

Bu alandaki formasyon Kızılıkırma tepe formasyonu üzerindeki kayıköy formasyonudur. Bu birim orta-üst Eosen yaşlı, kumtaşı, şeyl, Çakıltaşı, mikro konglomerat detritik kireçtaşları ardalanmalıdır. Sismik kaydın yapıldığı noktası düşük hızlı nebatı toprak kalınlığı yüksek kumlu-şeyli ardalanmalı bir yapı mevcuttur.

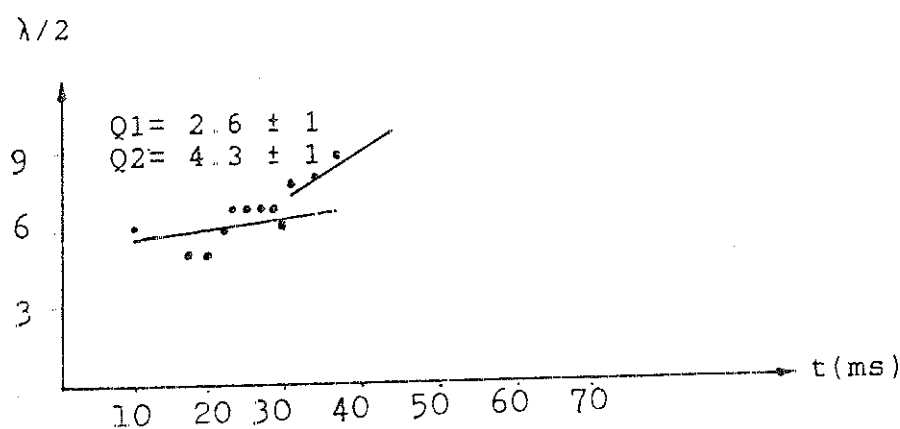


Şekil:7.22 (Şekil 7.21)'e ait yol zaman grafiği.

Bu değerlendirme sonucu sismik hız $Vp1: 333 \text{ m/sn}$, $Vp2: 1140 \text{ m/sn}$ olarak bulunmuştur. Diğer bulunan tüm parametreler (tablo 7.9)'da verilmiştir. Kalite faktörünü belirlemek için alınan sismik sönm kaydı:



Şekil:7.23 Sismik sönmü belirlemek için alınan boyuna sismik kırılma kaydı.



Şekil:7.24 Tablo 7.7.a ve b'ye ait $\lambda/2$ zaman grafiği.

Burada da görüldüğü gibi $Qp1=2,6$ $Qp2=4,3$ olarak tesbit edilmiştir. Zemin hızına bağlı olarak Q da değişmektedir.

Tabloda kalınlığı: 2,2 m olarak tesbit edilmiştir.

Tablo : 7.7.

P Sismik kırılma kaydının $t-\lambda/2$ korelasyonu

VATASI EKI n.m (X)	DUSEY EKI PERYCT (m/s) (Y)	FULSE WIDTH PERYCT/2 F:2	REGRESYONLU t (1)
29.0000	12.0000	6.0000	4.7395
28.0000	14.0000	7.0000	6.7343
26.0000	14.0000	7.0000	6.6655
24.0000	14.0000	7.0000	6.5175
22.0000	14.0000	7.0000	6.3904
21.0000	12.0000	6.0000	6.1528
19.0000	10.0000	5.0000	6.1640
18.0000	10.0000	5.0000	6.0464
7.0000	12.0000	6.0000	5.8401

REGRESYON K. SAYILARI

$$A0 = 4.739525$$

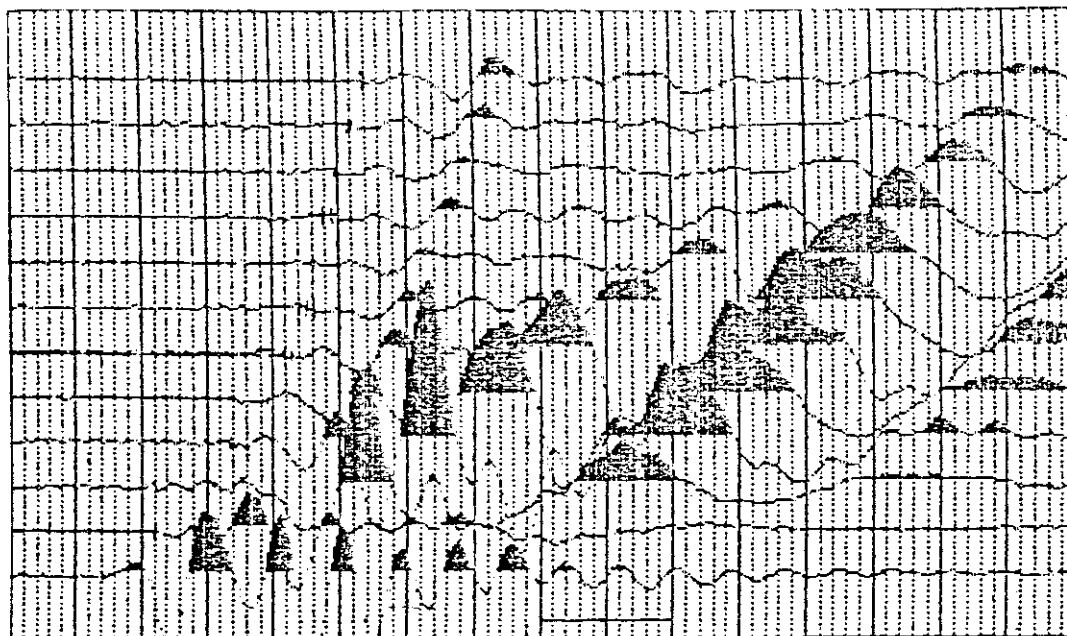
$$A1 = 6.678475E-02$$

$$Q = 4.303267$$

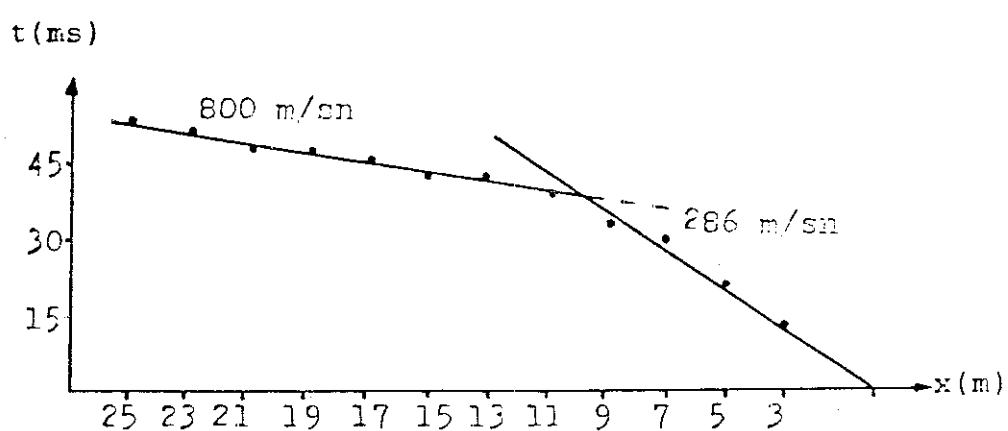
	X	Y
ARİTHMETİK ORTALAMA	21.89	5.06
STANDART SAFMA	6.05	1.01

	X - Y
REGRESYON KATSAYISI	0.77

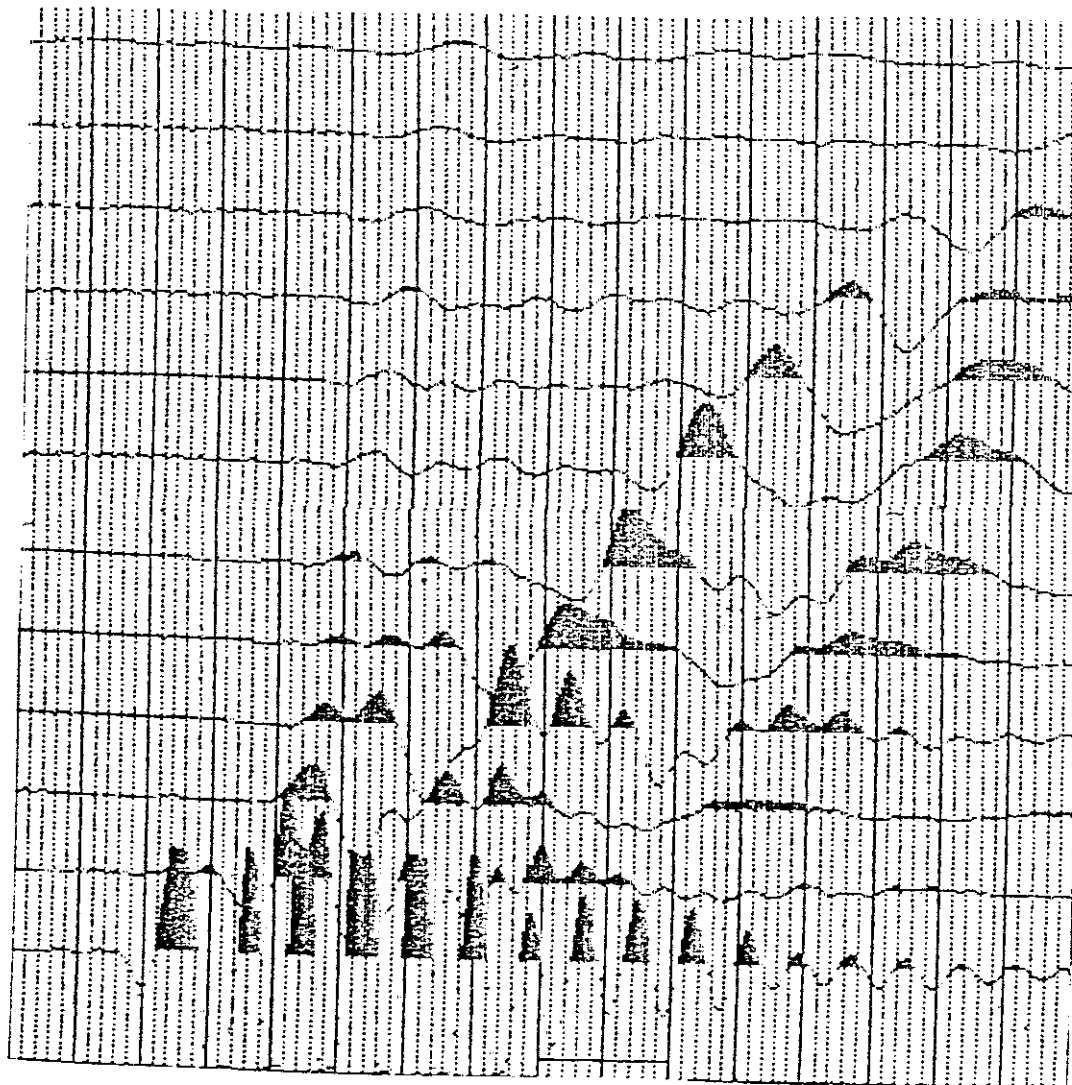
B) Enine (S) Sismik Kırılma Kaydı



Şekil:7.24. İdari bina önünde alınan enine (S) sismik kırılma kaydı.



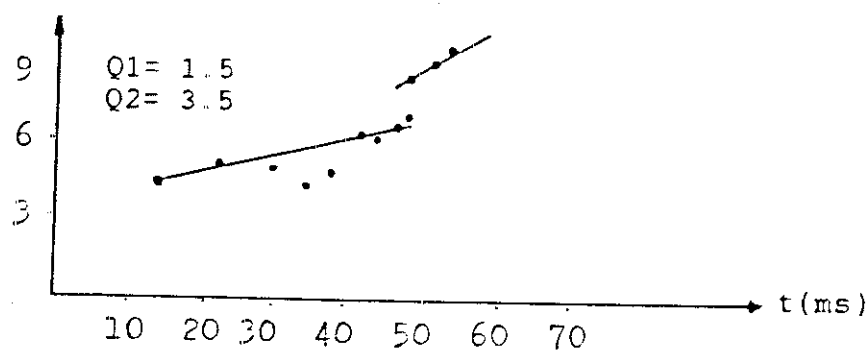
Şekil:7.25 (Şekil 7.24) 'deki enine sismik kırılma kaydının yol-zaman grafiği.



Şekil :7.26. Sismik söñüm için alınan enine(S) sismik kırılma kaydı.

Burada okunan veriler tablo 7.8.a ve b'de verilmiştir.

$\lambda/2$



Şekil:7.27 (Tablo 7.8.a ve b) 'ye ait $\lambda/2-t$ grafiği

Tablo: 7.9
Kampüs önünde alınan kayıtların sonuçları.

	Vp m/s	Vs m/s	Qp	Qs	G g/cm ³	E kg/cm ²	qu kg/cm ²	qs kg/cm ²
1.T.	333	230	2,6	1,5	1,66	8781	18332	0,55
2.T.	1140	800	4,3	3,8	1,82	116480	236421	2,07

T: Tabaka

Değerlendirmeler sonucunda elde edilen veriler bu tabloda verilmiştir.

Tablo : 7.8.a

S Sismik kırılma keydinin $t - \lambda/2$ korelasyonu

YATIRI EKI ms (X)	ILIBEY EKI PERYOT (ms) (Y)	FULSE WIDTH PERIOD/2 ms	REGRESYONLU r (I)
48.0000	15.0000	7.5000	2.8119
46.0000	14.0000	7.0000	6.7780
43.0000	13.0000	6.5000	6.6128
42.0000	13.0000	6.5000	6.33649
38.0000	10.0000	5.0000	4.2822
34.0000	7.0000	4.5000	5.7517
30.0000	10.0000	5.0000	5.4212
22.0000	10.0000	5.0000	5.2507
14.0000	9.0000	4.5000	4.6257

REGRESYON K. SAYILARI

$A_0 = 2.811943$

$A_1 = 8.26265E-02$

$B = 3.582393$

	X	Y
MARİTHETİK ORTALAMA	35.22	6.00
STANDART SAPMA	11.44	1.12

	X - Y
KORELASYON KATSAYISI	0.33

Tablo : 7.8.b

S Sismik kırılma kaydının $t_1 / 2$ korelasyonu

YATAY EK (ms)	DÜZEY EK FERYOL (ms)	PULSE WIDTH PERYOL/2	REGRESYONLU Y (D)
(X)	(Y)	F/2	
54.0000	19.0000	5.5000	-1.1973
52.0000	18.0000	9.0000	9.4408
49.0000	17.0000	9.5000	9.0861

REGRESYON K. SAYILARI

$A_0 = -1.197264$

$A_1 = .1973724$

$B = 1.499702$

	X	Y
HARİTMETİK ORTALAMA	51.67	14.33
STANDART SAHİMA	2.52	8.81

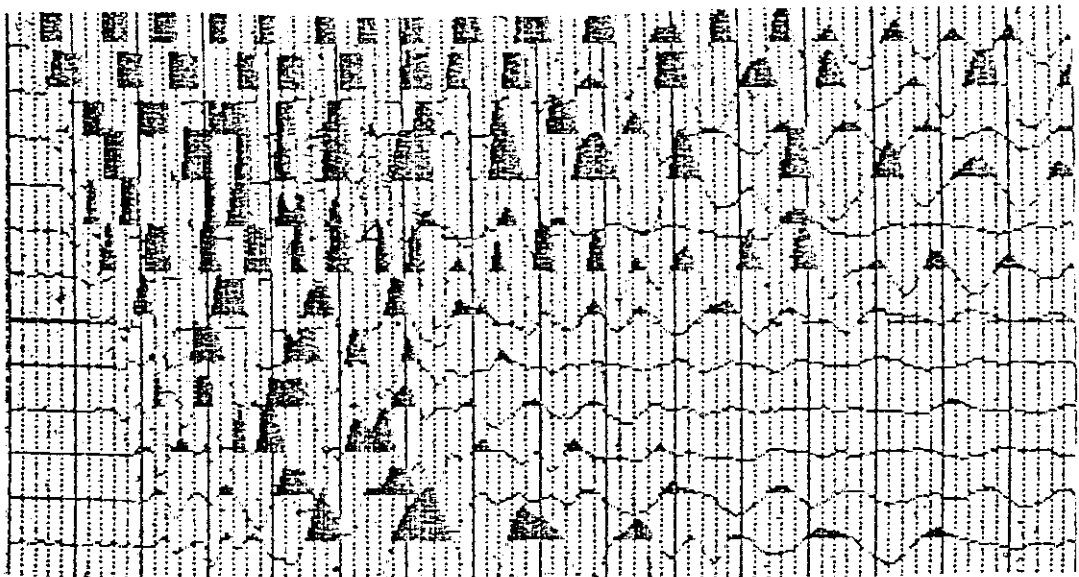
	X = Y
KORELASYON KATSAYISI	0.91

7.4. Söbü Kireçtaşı Üzerinde Yapılan Sığ Boyuna ve
Enine Sismik Refraksiyon Kaydı

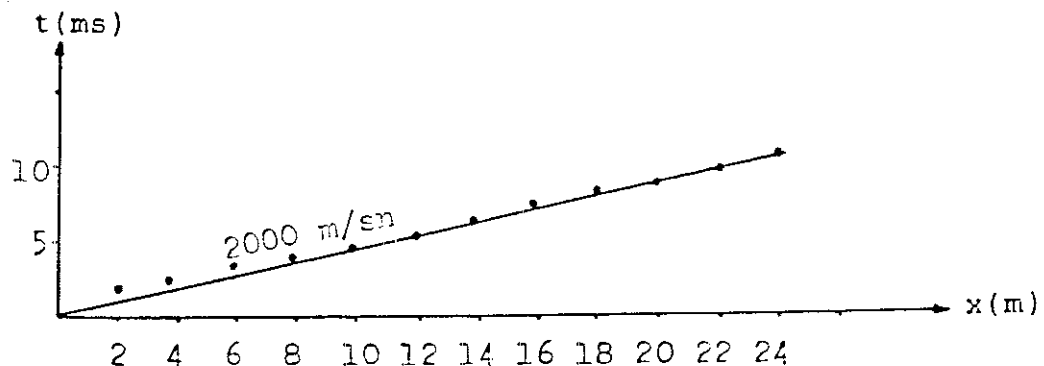
A). Sığ Boyuna (P) Sismik Kırılma Kaydı

Masif kireçtaşının en iyi gözlendiği yer söbüdağı ve çevresi olduğu için bu birime söbüdağı formasyonu denmiştir. Bu masif kireçtaşı kristalize sert, bol çatlaklı ve çatlaklar kalsit dolgudur. Yer yer 0,5 - 2 m arasındaki kalınlıklarda tabaka sunmalarıyla beraber bazı kesimlerde ise tabakalanma görülmez.

Burada offset uzaklığı : 2 m, jeofen aralığı: 2 m, kayıt uzunluğu: 100 ms ve kullanılan jeofen : 40 Hz dir.



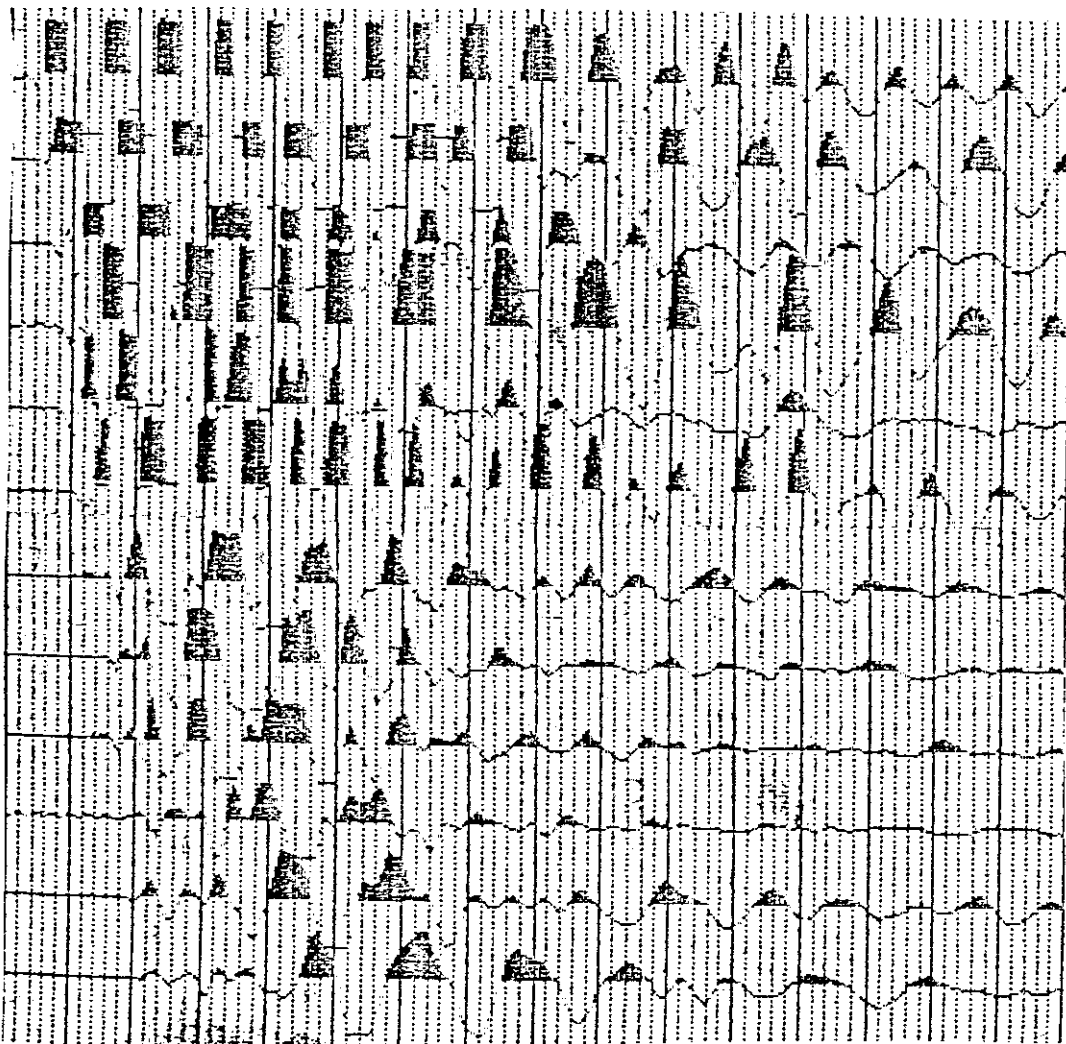
Şekil:7.29 Sığ boyuna sismik refraksiyon kaydı



Şekil:7.30 (Şekil 7.29)'a ait yol-zaman grafiği.

Bu değerlendirme sonucunda çalışma yapılan noktanın çatıaklı bir yapı içerdeği tesbit edilmiştir. Normalde sağlam bir kireçtaşının sismik hızı daha yüksektir. Bu çalışmada V_p : 2000 m/s olarak tesbit edilmiştir.

Sismik sönüm kaydımız ise



Şekil :7.30. Sismik sönüm belirlemek için alınan boyuna sismik kırılma kaydı.

Buradan okunan veriler tablo (7.10) 'da verilmiştir.

Tablo : 7.10
P Sismik kırılma keydinin $t-\lambda/2$ korelasyonu

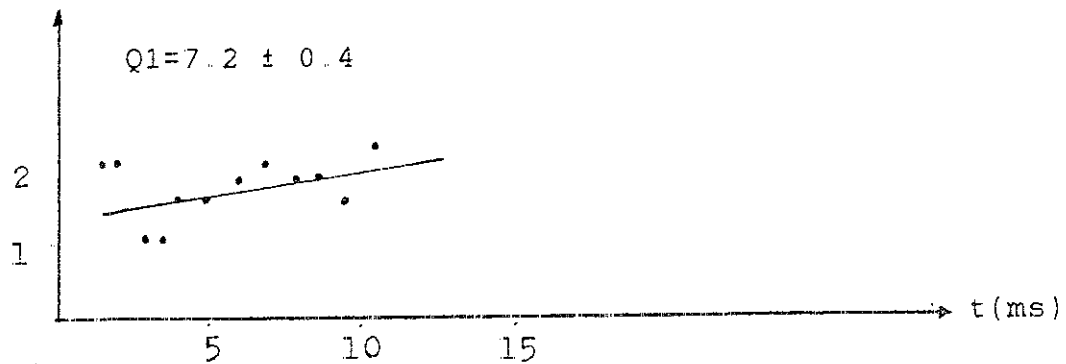
VATAY EFT ms (X)	DUSEY EFT PERIOD(ms) (Y)	PULSE WIDTH $\lambda/2$	REGRESYONU A(Y)
1.5000	4.0000	2.0000	1.4318
2.0000	4.0000	2.0000	1.4515
3.0000	2.0000	1.0000	1.5141
3.5000	2.0000	1.0000	1.5551
4.0000	2.0000	1.5000	1.5954
5.0000	2.0000	1.5000	1.6375
6.0000	2.5000	1.7500	1.6783
7.0000	4.0000	2.0000	1.7153
8.0000	3.5000	1.7500	1.7610
8.5000	3.5000	1.7500	1.7615
9.5000	3.0000	1.5000	1.8227
10.5000	4.5000	2.2500	1.8636

REGRESYON F. SAYILARI

$$\begin{aligned} A_0 &= 1.4317 \\ A_1 &= 4.115057 \times 10^{-2} \\ Q &= 7.193096 \end{aligned}$$

	X	Y
ARITMETIK ORTALAMA	5.71	1.67
STANDART SAFMA	3.00	0.42

	X - Y
KORELASYON KATSAYISI	0.27

$\lambda/2$ 

Şekil: 7.31 (Tablo 7.10) 'a ait $\lambda/2$ - zaman grafiği.

Burda Q_p : 7.19 , $\rho = 2$ gr/cm³ bulunmuştur. Masif kireç taşı için bu değer düşüktür. Sismik hızında düşük olması bu noktanın çatlaklı bir yapı içerdiğini gösterir.

Alınan ilk kayıttta sismik hız düşük olduğundan ikinci bir noktada yeni bir kayıt daha alınmıştır. Bunlar boyuna (P) ve enine (S) sıç sismik kırılma kaydıdır. Alınan bu kayıtlar küçük sökü tepenin batısındaki bir noktaya aittir. Burada kireçtaşısı çok iyi şekilde yüzeylenmiştir.

Alınan Boyuna (P) ve Enine (S) Sismik Kaydı

B) Boyuna (P) Sismik Kırılma Kaydı

Kayıt Uzunluğu : 100 ms.

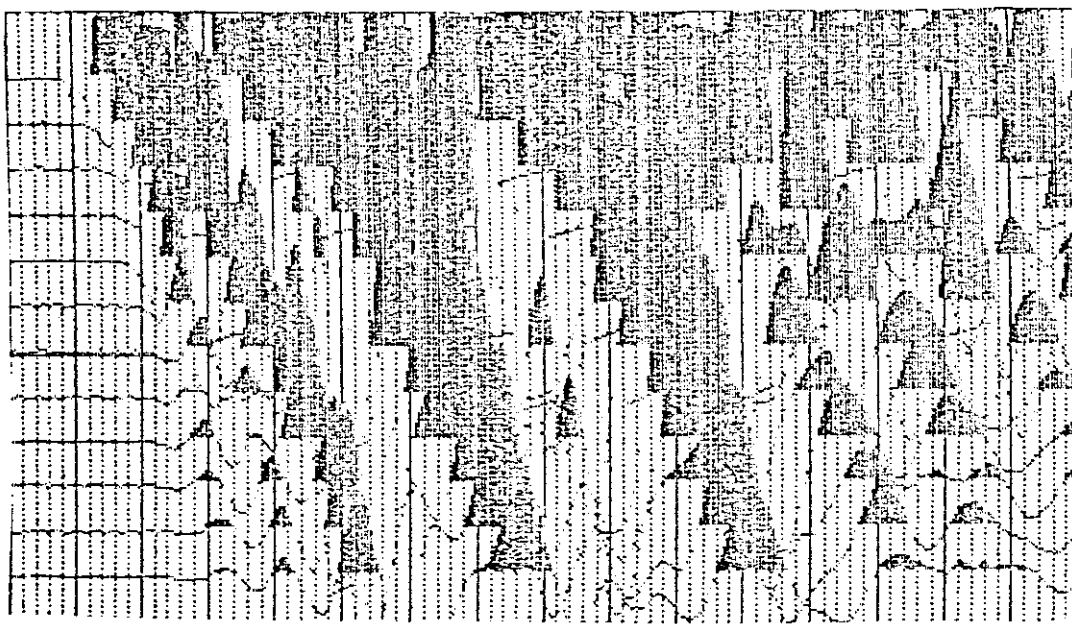
Offset Uzunluğu : 2 m.

Jeofon Aralığı : 2 m.

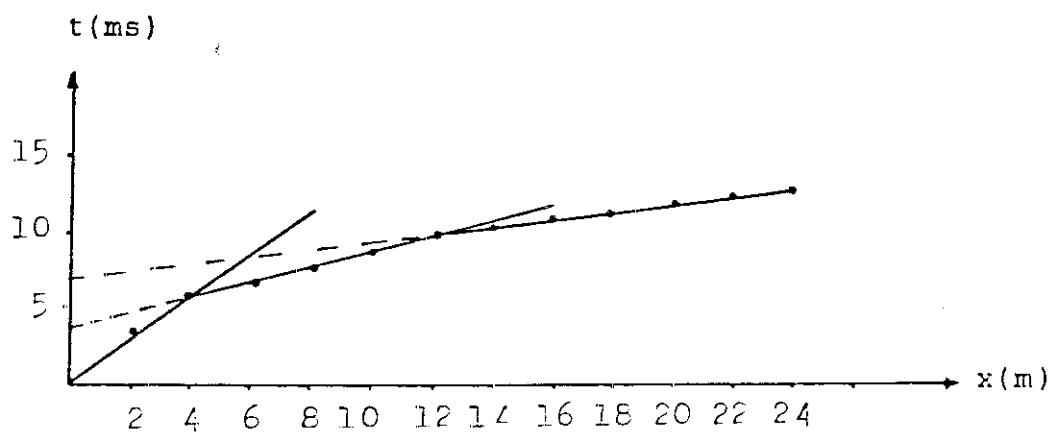
Trace Size : 2

Gain : 36 dB

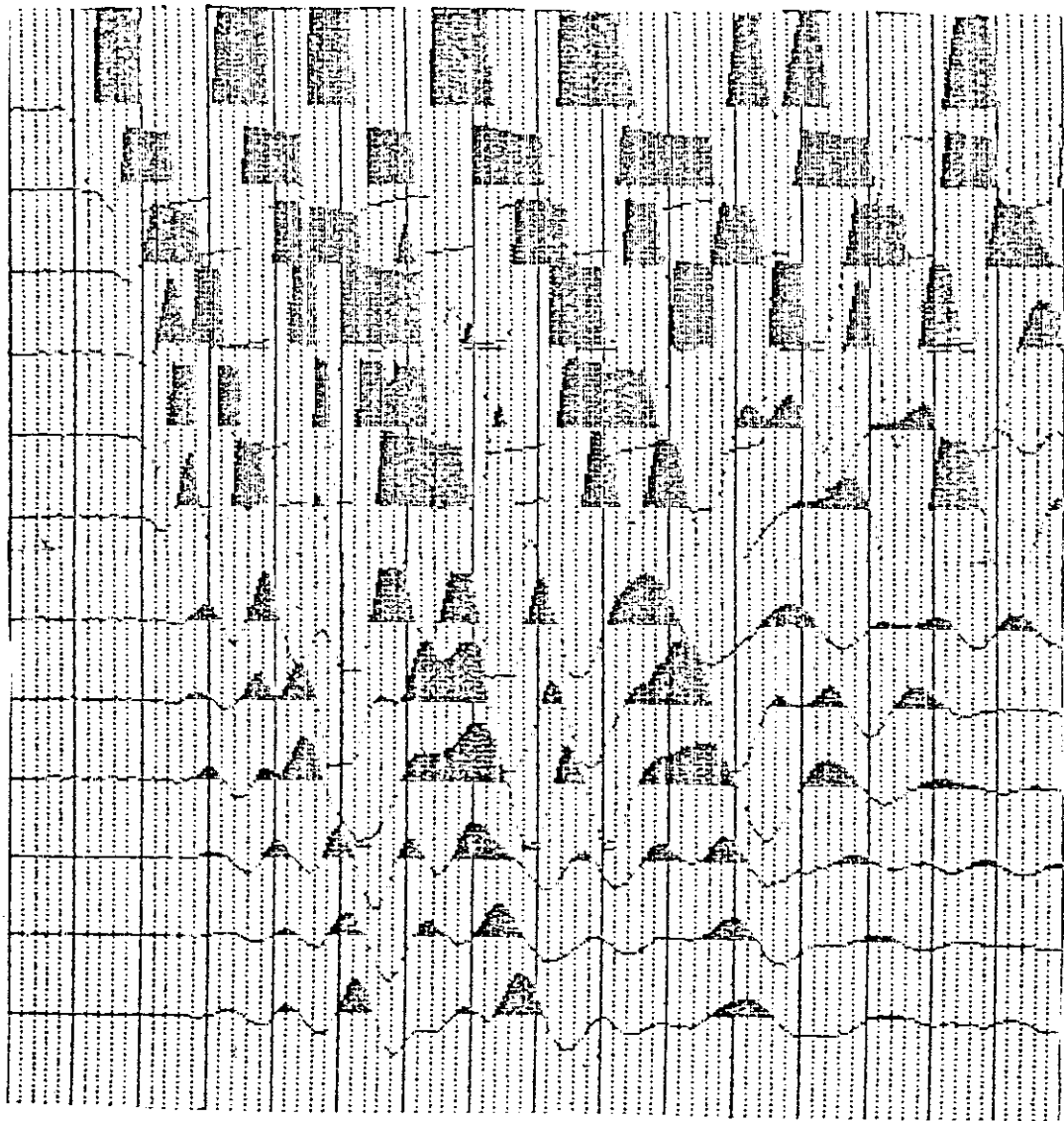
Kullanılan Jeofon: P=20 Hz, S=40 Hz.



Şekil:7.32 Küçük söbü tepede alınan boyuna (P) sismik kırılma kaydı.

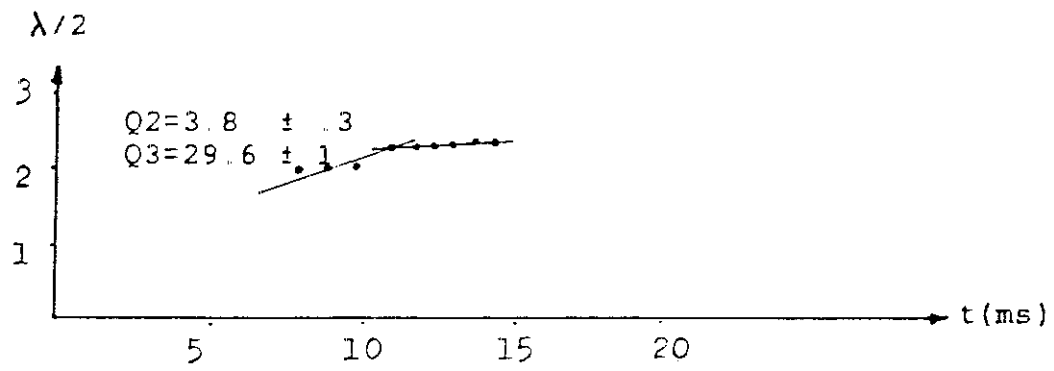


Şekil:7.33 (Şekil 7.32)'ye ait yol zaman grafiği.



Şekil:7.33. Boyuna Sismik söñüm kaydı

Buradan okunan veriler (tablo 7.11.a ve b) 'de verilmiştir.



Şekil :7.34 (Tablo 7.11.a ve b) 'ye ait $\lambda/2-t$ grafiği.

Table : 7.11.a
P Sismik kırılma kaydının $t - \lambda/2$ korelasyonu

PULSATİY PERİ ME (X)	PULSE Y EKİ PERİDİT (ms)	PULSE DURUMU F/2	REGRESYONLU Y(1)
2.000	4.0000	2.0000	1.3474
5.0000	4.0000	2.0000	1.5074
10.0000	4.0000	2.0000	2.0075
10.5000	4.5000	2.2500	2.1102

REGRESYON K. SAYILARI

$$\begin{aligned} A_0 &= 1.347443 \\ A_1 &= 7.627194E-02 \\ B &= 3.680856 \end{aligned}$$

	X	Y
ARİTHMETİK ORTALAMA	9.39	9.65
STANDART SİFMA	1.11	0.32

	X	Y
KORELASYON KATSAYISI	0.06	

Table : 7.11.b

P Sismik kırılma kaydının $t - \lambda/2$ korelasyonu

VATAY EKI ms (X)	DÜSEY EKI PERIOD (ms) (Y)	PULSE WIDTH PERIOD/2 (Z)	REGRESSION Y (f)
11.0000	4.4500	2.2250	2.1250
11.5000	4.5000	2.2500	2.2250
12.0000	4.5500	2.2500	2.2400
12.5000	4.6000	2.2500	2.2450
13.0000	4.6500	2.2500	2.2500

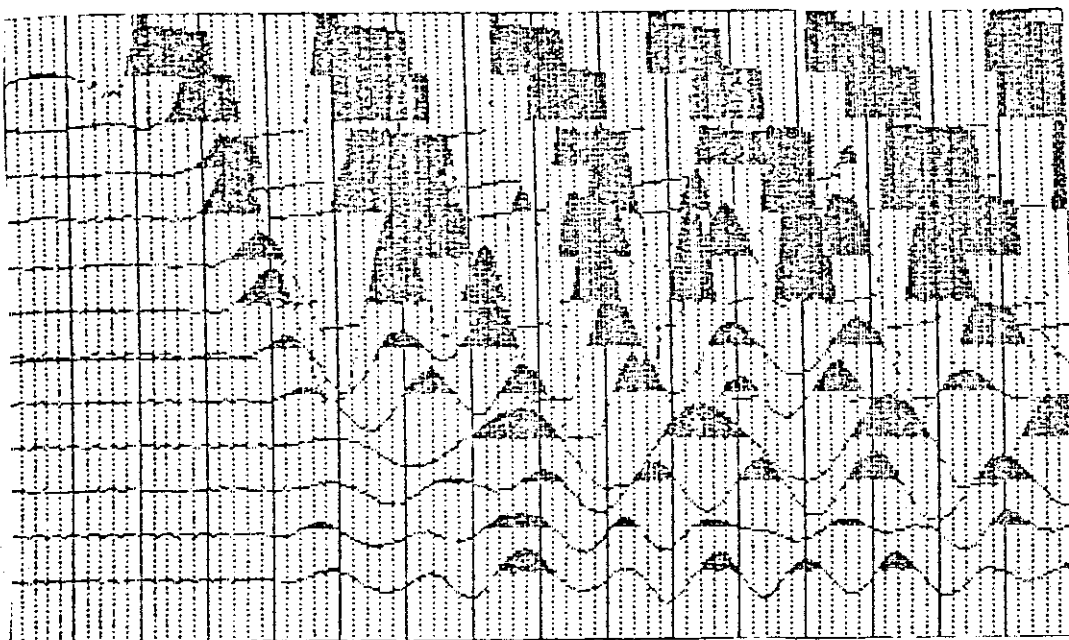
REGRESYON K. SAYILARI

$$\begin{aligned} A_0 &= 2.125 \\ A_1 &= 5.956321E-03 \\ b &= 29.40457 \end{aligned}$$

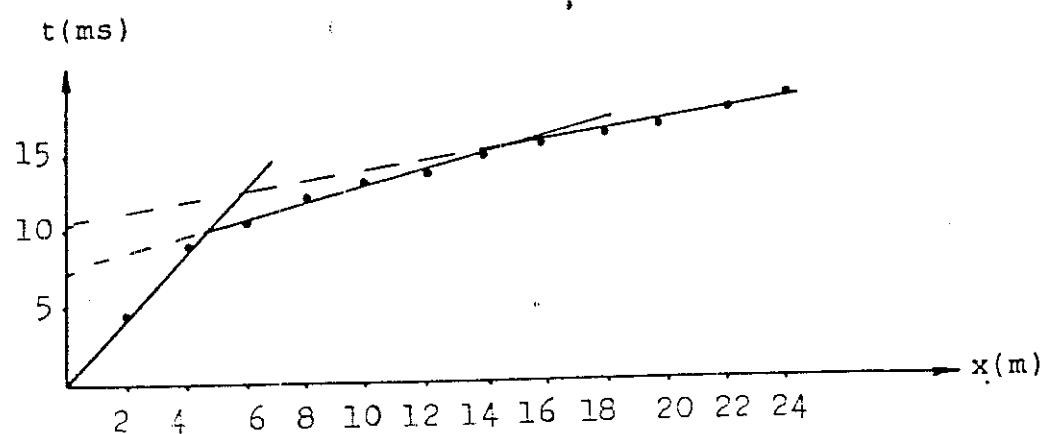
	X	Y
MİTMETİK ORTALAMA	12.00	2.10
STANDART SAFMA	0.79	1.90

	X = Y
KORELASYON KATSAYISI	0.71

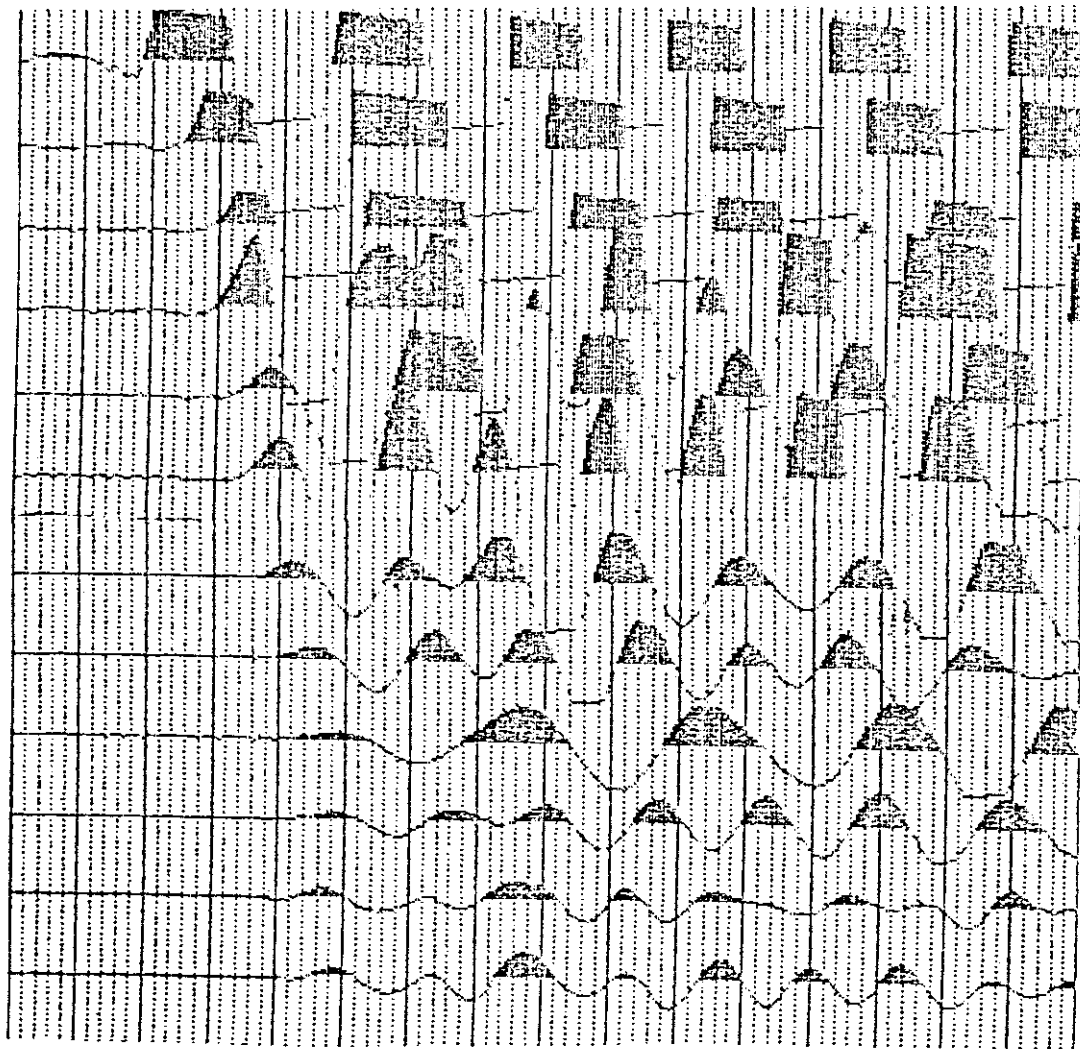
C) Enine (S) Sismik Kırılma Kaydı



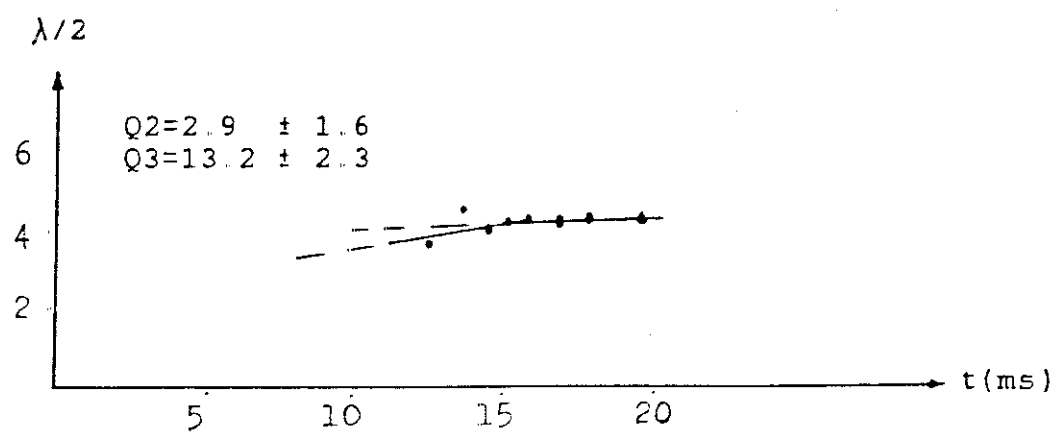
Şekil : 7.35 Küçük Söbü Tepe enine (S) sismik kırılma kaydı



Şekil:7.36 (Şekil 7.35) 'e ait yol-zaman grafiği.



Şekil :7.37 Sismik söñüm için alınan enine (S) sismik kırılma kaydı



Şekil :7.38 (Tablo 7.12.a ve b) 'ye ait $\lambda/2-t$ grafiği.

İkinci alınan kayıtların değerlendirilmesi sonucunda görüldüğü gibi kalınlığı çok az olan bir örtü tabakasının altında kireçtaşısı yakalanmıştır. Daha altta üçüncü tabaka olarak masif kireç taşı mevcuttur. Bu değerlendirmeler tablo halinde verilmiştir.

Tablo :7.13.

P ve S Sismik Kırılma Kayıtlarından Elde
Edilen Elastik Parametreler

	Vp m/sn	Vs m/sn	Qp	Qs	G gr/cm ³	E kg/cm ²	q _u kg/cm ²	q _s kg/cm ²
1.T.	660	440	-	-	1.72	32912	73251	0.75
2.T.	1670	1335	3.8	2.9	1.93	343969	422941	2.57
3.T	4000	2667	29.6	13.2	2.4	1707093	3754990	6.40

T: Tabaka

Tabloda görüldüğü gibi zemin kalite faktörü, zeminin yoğunluğu, Dinamik kesme modülü, dinamik elastisite modülü ve zeminin taşıma gücü sismik hızlara bağlı olarak değişmektedir.

Tablo :7.12.a.

S Sismik kırılma kaydının $t-\lambda/2$ korelasyonu

VATAY EKI:	DÜSEY EKİ	PULSE WIDTH	REGRESYONU
ms	FERRYOT(ms)	FERRYOT/2	Y(f)
(X)	(Y)	F/2	Y(f)
12.0000	8.0000	4.0000	2.9000
13.0000	9.0000	4.5000	4.1000
14.0000	8.0000	4.0000	4.2000
15.0000	9.0000	4.5000	4.3000

REGRESYON F. SAYILARI

$$A_0 = 2.90000$$

$$A_1 = 5.975842E-02$$

$$Q = 2.280046$$

	X	Y
MARİTHETIK ORTALAMA	13.50	8.00
STANDART SAFMA	1.27	1.68

	X - Y
KORELASYON KATEVİSİ	0.77

Table :7.12.b.

S Sismik kırılma kaydının $t-\lambda/2$ korelasyonu

GATIR EKI m (cm)	DUSEY EKI FERİYOT (cm) (Y)	PULSE WIDTH	REGRESİYON DURU Y (D)
		FERİYOT/2 F/2	
16.0000	8.8000	4.4000	4.0724
16.5000	9.0000	4.5000	4.4506
17.0000	9.0000	4.5000	4.4221
18.0000	9.0000	4.5000	4.4732
19.0000	9.0000	4.5000	4.4957

REGRESİYON İ. SAYILARI

$$\begin{aligned} A_0 &= 4.051407 \\ A_1 &= 2.1140753E-02 \\ Q &= 13.20985 \end{aligned}$$

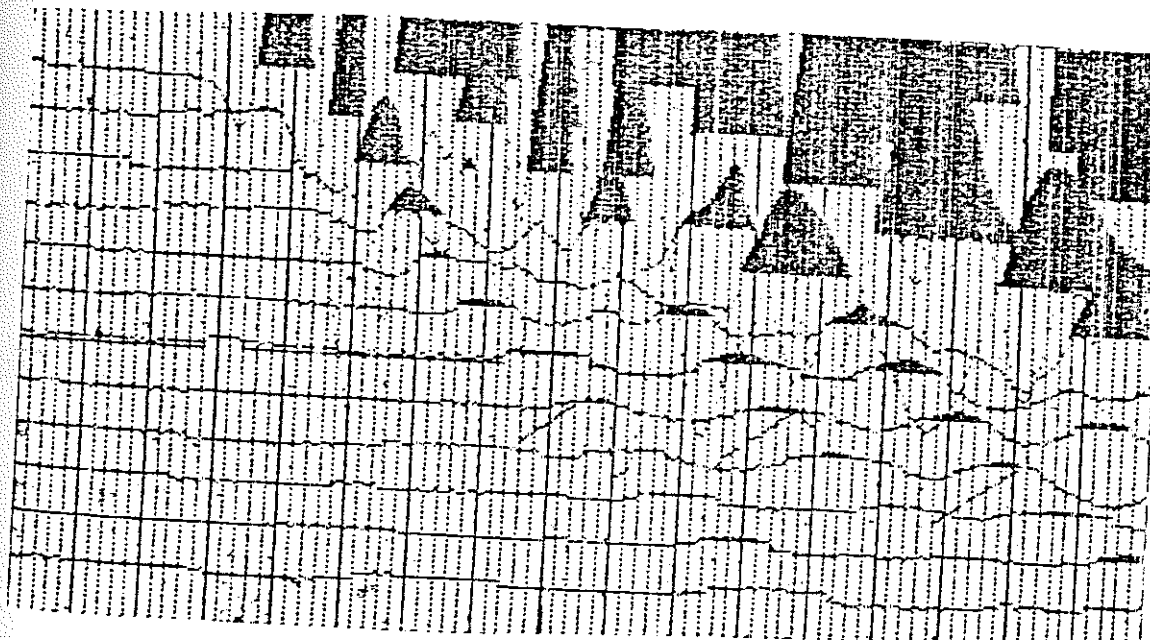
	X	Y
MİTİHETİK ORTALAMA	17.30	5.38
STANDART SƏRƏMƏ	1.20	2.31

	X - Y
KORELASYON KATSBAYISI	0.81

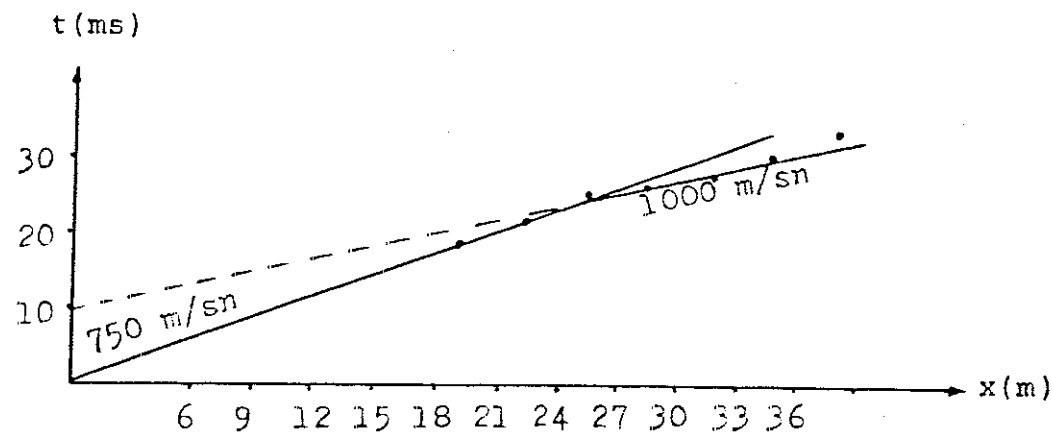
7.5. Kampüs Sahası İçindeki Fakülte Su Sondajının
Yanında Yapılan Sığ Boyuna Sismik Refraksiyon
Çalışması

Bu alan kızılkırma tepe formasyonu içinde yer alır. Bu formasyon kırmızı renkli şey, kumtaşı, killi kireçtaşısı, mikro konglomerat içerikli olup yaşılı üst paleosene ait Eosen yaşlıdır.

Burada ofset uzaklığı: 6m, jeofen aralığı, 3 m kayıt uzunluğu: 100 ms ve kullanılan jeofon : 20 Hz.dir.

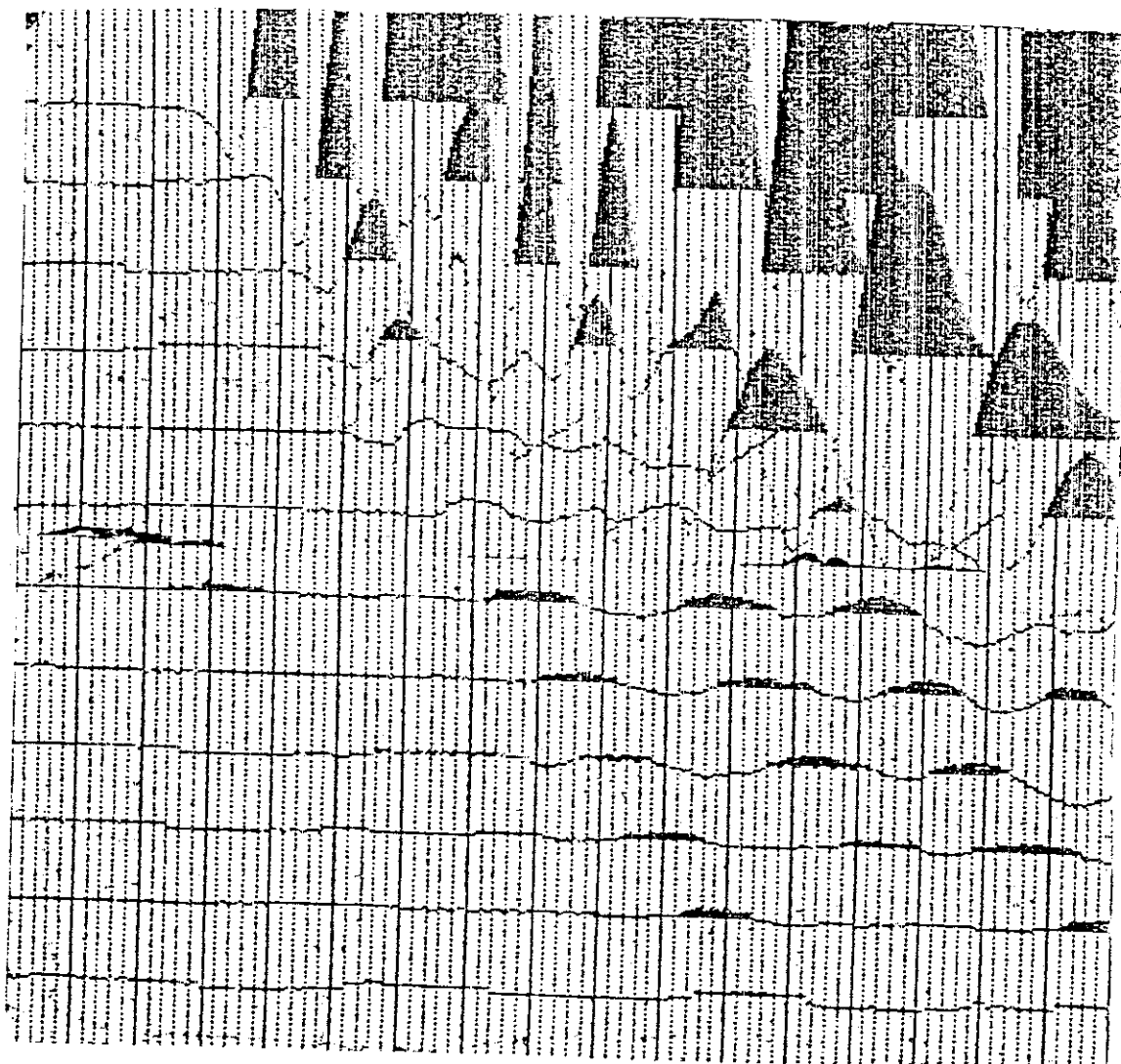


Şekil :7.39 Boyuna sismik refraksiyon kaydı.

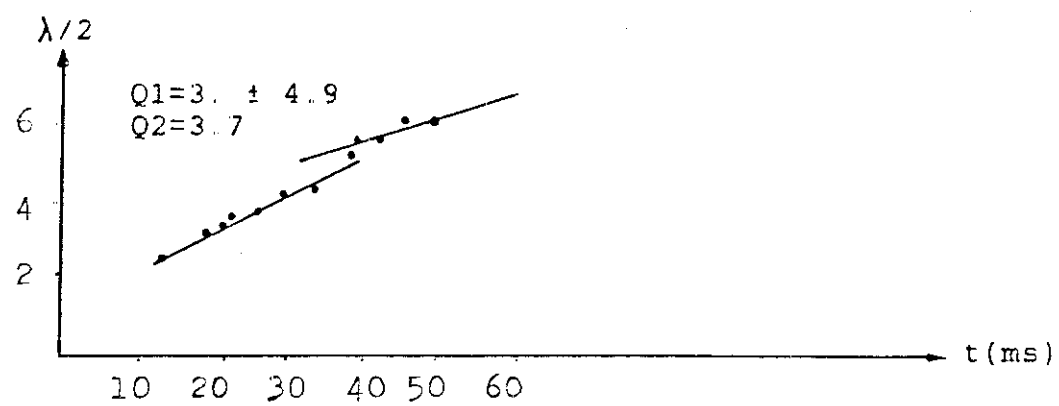


Şekil :7.40 (Şekil 7.49) 'a ait yol-zaman grafiği.

Değerlendirme sonucunda görüldüğü gibi kaydımız yol kenarında alındığı için ilk üç jeofon kayıtları sıhhatlı değildir. Daha sonraki jeofon kayıtlarına göre birinci tabaka hızı $Vp1=750$ m/sn dir. Bu katman kırmızı renkli şey ardalanmalı zayıf bir zemindedir. İkinci katmanın hızı $Vp2=1000$ m/sn dir.



Şekil :7.41. Sismik sönüm kaydı



Şekil:7.42 (tablo 7.14.a ve b) 'ye ait $\lambda/2$ - zaman grafiği

Tablo : 7.14.a.

P Sismik kırılma kaydının $t - \lambda/2$ korelasyonu

YATAY EKİ ME (X)	DÜZEN EKİ PERİOD (s) (Y)	PULSE WIDTH PERIOD/2 F/2	REGRESYONLU Y(I)
12.5000	6.0000	3.0000	2.1448
19.0000	7.0000	3.5000	3.0632
21.0000	7.5000	3.7500	3.5711
22.0000	8.0000	4.0000	3.7212
26.0000	8.0000	4.0000	3.7763
25.0000	5.0000	4.5000	4.0566
33.5000	5.0000	4.5000	4.3212

REGRESYON İ. SAYILARI

$A_0 = 2.144825$

$A_1 = 7.506871E-02$

$Q = 3.043054$

	X	Y
ARİMETİK ORTALAMA	23.29	5.64
STANDART SAFMA	6.90	4.92

	X	Y
KORELASYON KATSASI	0.72	

Tablo : 7.14.b.

P Sismik kirilma kaydinin $t-\lambda/2$ korelasyonu

VATAY EKI ms (%)	DUSEY EKI PERYOT (ms) (%)	PULSE WIDTH PERYOT/2 ms	REGRESYONLU r (%)
38,0000	11,0000	5,5000	2,7250
38,5000	12,0000	6,0000	5,7427
42,0000	12,0000	6,0000	5,8618
45,0000	13,0000	6,5000	6,0604
49,0000	13,0000	6,5000	4,2986

REGRESYON K. SAYILARI

$$AO = 2,725037$$

$$A1 = 7,941248E-02$$

$$Q = 3,727375$$

	X	Y
MARİTNETİK ORTALAMA	42,70	9,70
STANDART SADMMA	4,41	8,28

	X - Y
KORELASYON KATSAYISI	0,82

7.6. Bağkur Evleri Önünde Alınan Boyuna (P) ve Enine (S)
Sismik Kırılma Kayıtları

A) Boyuna (P) Sismik Kırılma Kaydı

Kayıt Uzunluğu :100 ms.

Offset Uzunluğu :3 m.

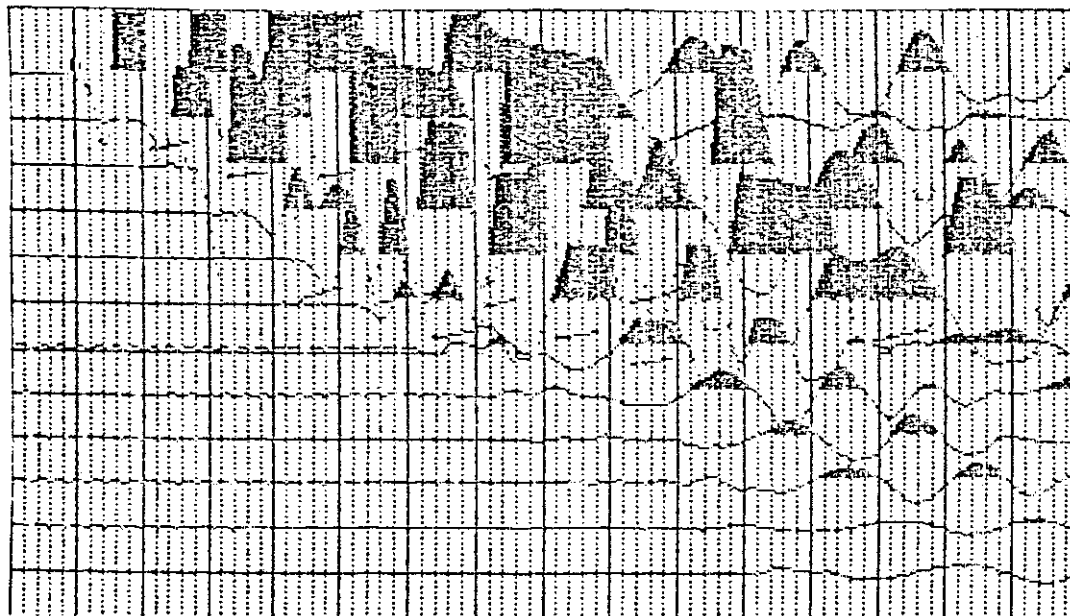
Jeofon Aralığı :3 m.

Trace Size :2

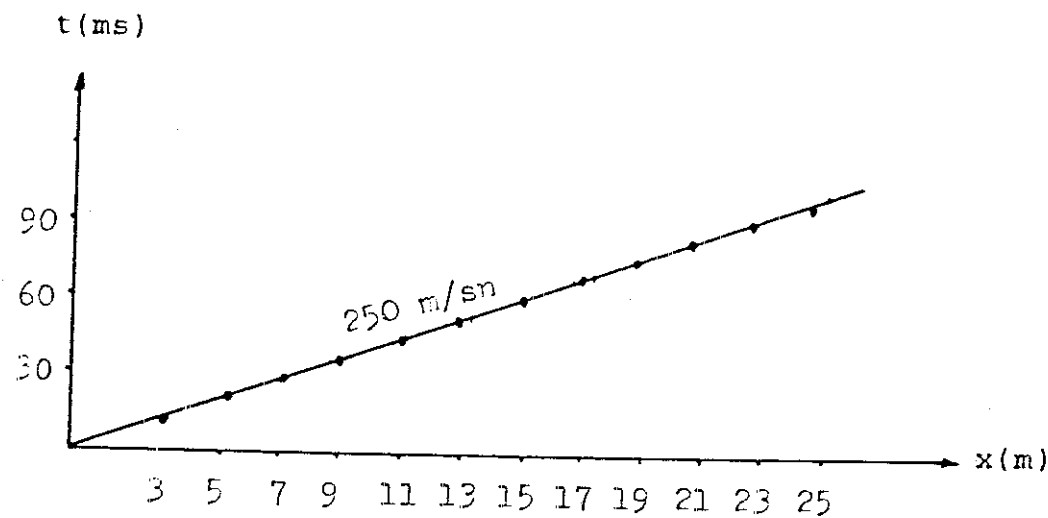
Gain :30 dB

Kullanılan jeofon:P:40 Hz., S:20 Hz.

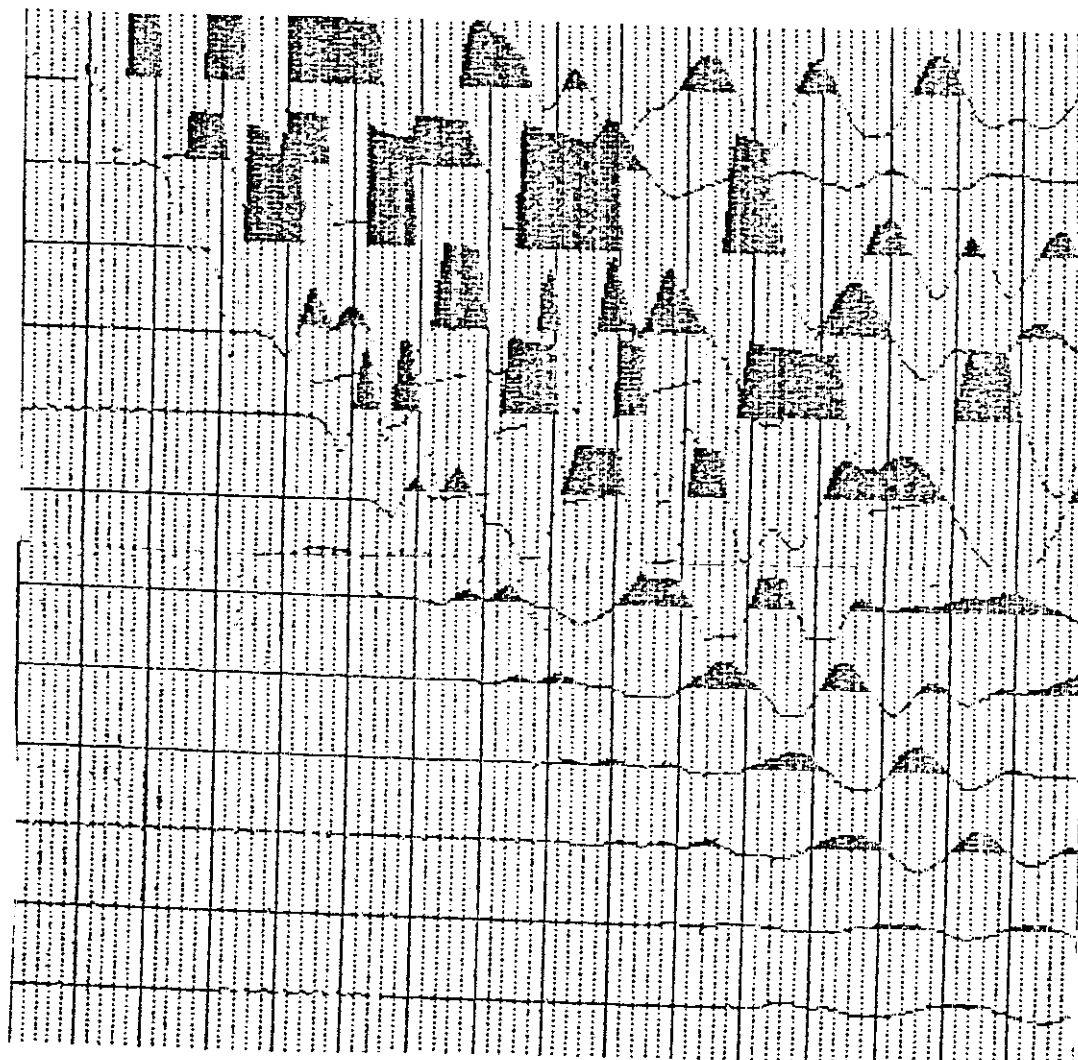
Allpass Filtre



Şekil:7.43 Bağkur Evleri önünde alınan boyuna (P) sismik kaydı.

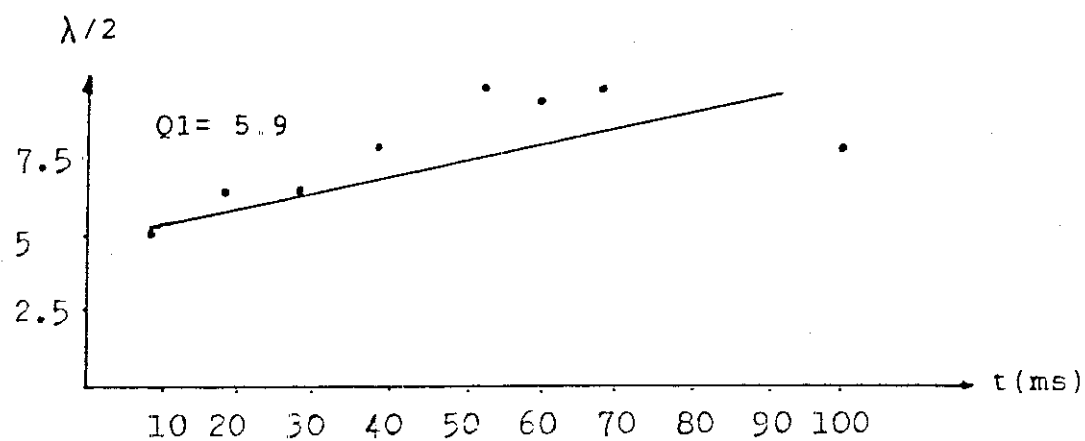


Şekil:7.44 (Şekil: 7.43) 'e ait kaydın yol-zaman grafiği.



Şekil:7.45 Sismik sönmü için alınan boyuna (P) Sismik kırılma kaydı.

Buradan okunan veriler (tablo 7.15)'te verilmiştir.

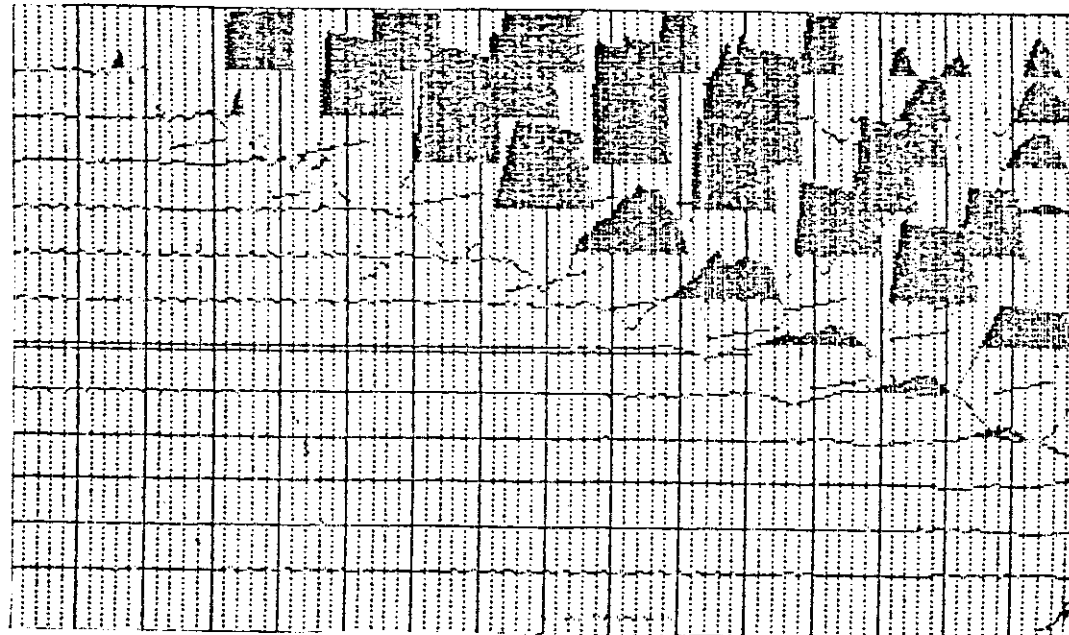


Şekil:7.46 (Tablo 7.15) 'deki kayda ait $\lambda/2-t$ grafiği.

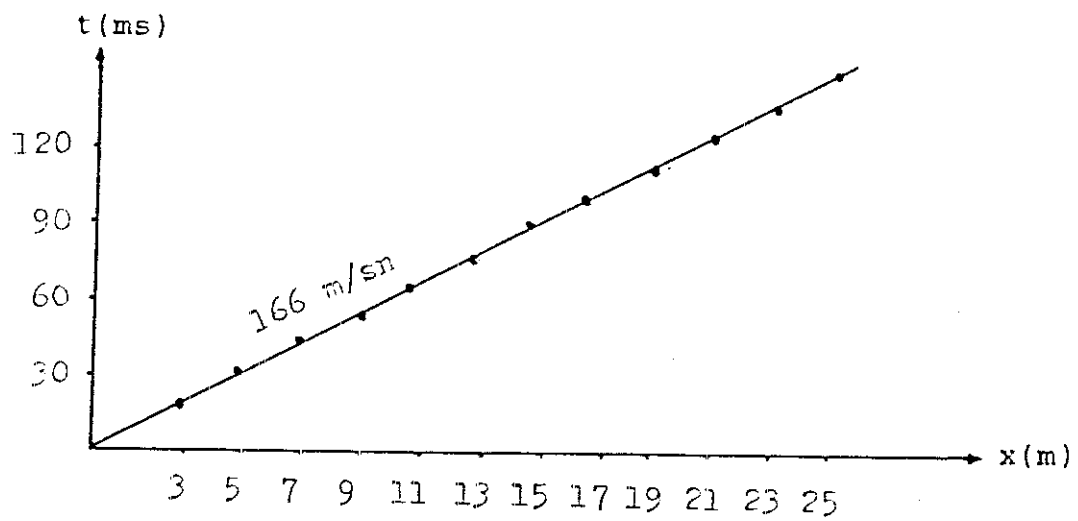
B) Enine (S) Sismik Kırılma Kaydı

Kayıt Uzunluğu :200 ms. Offset uzunluğu :3 m.

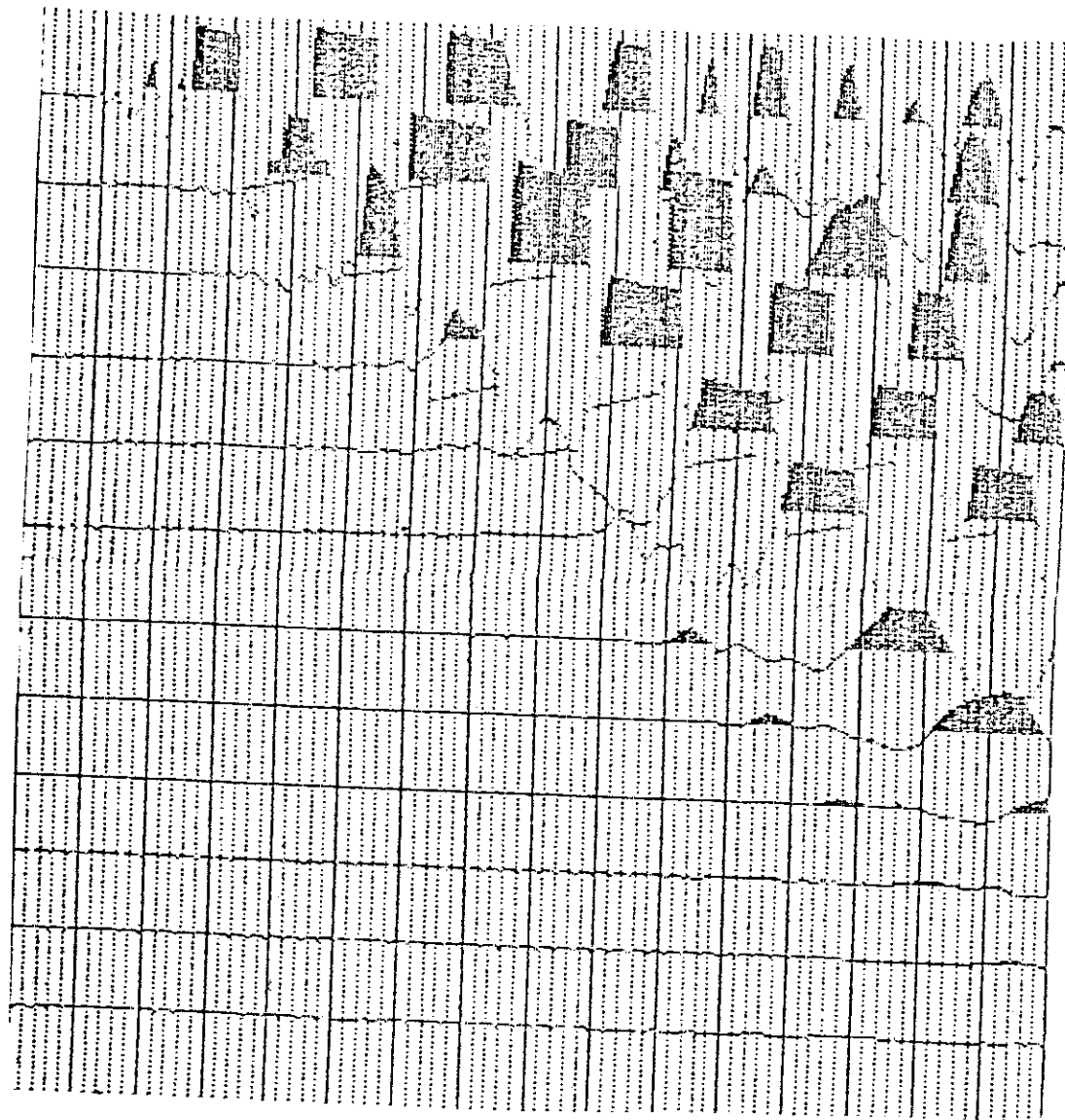
Jeofon Aralığı :3 m. Gain :36 dB.



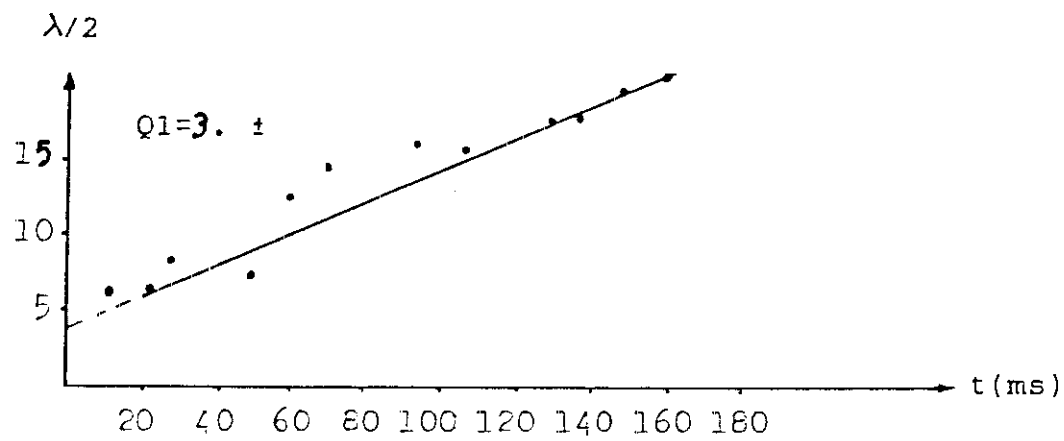
Şekil:7.47 Bağkur Evleri önünde alınan enine (S) sismik kırılma kaydı.



Şekil: 7.48 (Şekil 7.47)'deki enine sismik kırılma kaydının yol-zaman grafiği.



Şekil:7.50 Sismik söñüm için alınan enine (S) sismik kırılma kaydı.



Şekil:7.51 (Tablo 7.16)'ya ait $\lambda/2-t$ grafiği.

Tablo: 7.17.

P ve S Sismik Kırılma Kayıtlarından Elde
edilen Elastik Parametreler

	Vp m/sn	Vs m/sn	Qp	Qs	G gr/cm ³	E kg/cm ²	q _u kg/cm ²	q _s kg/cm
T.	250	165	5.9	3	1.66	4574	10115	0.41

T: Tabaka

Bölgelinin en genç birimi olan alüvyon üzerinde alınan
sig boyuna ve enine sismik kayıtların değerlendirilmesi
sonucu yukarıdaki tablo elde edilmiştir.

Tablo :7.15.

P Sismik kırılma kaydının $t-\lambda/2$ korelasyonu

ATAF EKI mE (X)	DÜZELT EKI PERYOT (ms) (Y)	PULSE WIDTH PERYOT/2 (Z)	REGRESYONU B ₀
8,0000	10,0000	5,0000	5,5894
16,0000	13,0000	6,5000	5,9846
28,0000	13,0000	6,5000	6,4763
36,0000	16,0000	8,0000	6,9727
44,0000	10,0000	5,0000	7,3670
52,0000	20,0000	10,0000	7,7459
60,0000	15,0000	9,5000	8,2049
68,0000	20,0000	10,0000	8,5826
78,0000	22,0000	11,0000	8,9969
84,0000	24,0000	12,0000	9,4413
100,0000	16,0000	8,0000	9,7376
107,0000	15,0000	5,5000	10,5277

REGRESYON K. SAYILARI

$A_0 = 5,589554$

$A_1 = 4,938195E-02$

$B = 5,754105$

	X	Y
TARİHMETİK ORTALAMA	57,25	12,17
STANDART SAFNA	32,00	13,52

	X	Y
KORELASYUN KATSAYISI	0,61	

Tablo :7.16.

S Sismik kırılma kaydının $t-t/2$ korelasyonu

YATAY EK I ms (X)	DÜSEY EK I FERYOT(ms) (Y)	PULSE WIDTH FERYOT/2	REGRESYONU T+T
11.0000	14.0000	7.0000	5.8265
25.0000	14.0000	7.0000	6.8957
30.0000	18.0000	5.0000	7.9654
50.0000	15.0000	7.5000	9.7431
59.0000	22.0000	13.0000	10.4875
70.0000	30.0000	15.0000	11.5625
64.0000	37.0000	16.5000	12.6220
108.0000	32.0000	16.0000	14.9553
124.0000	37.0000	18.5000	14.3224
118.0000	34.0000	18.0000	17.8819
148.0000	40.0000	20.0000	19.2430
150.0000	42.0000	21.0000	20.2152

REGRESYON K. SAYILARI

$A_0 = 5.826508$

$A_1 = 7.722081E-02$

$Q = 3.044e16$

	X	Y
TARİTMETİK ORTALAMA	151.17	18.96
STANDART SİFMA	212.82	19.80

	X - Y
KORELASYON PATSAYISI	0.05

TARTIŞMA

Bu çalışmada tablo (7.17) 'de görüldüğü gibi değişik jeolojik birimler üzerinde alınan sismik boyuna ve enine kırılma kayıtları değerlendirilerek ortamların elastik parametreleri, zeminin hakim titreşim peryodu, sismik aküstik empedans ve zemin kalite faktörleri (Q_p ve Q_s) tesbit edilmiştir.

Mühendislik jeolojisinde kayaşların Q kalite faktörü tesbit edilebilmektedir. Mühendislik jeofiziği yardımıyla hem kayaçların hem de zeminlerin Q kalite faktörü tesbit edilebilmştir. Mühendislik jeolojisi yardımıyla hesaplanan Q kalite faktörünün uzun zaman alması ve maliyetinin yüksek olması mühendislik yapılarının inşasında önemli olan zeminlerin kalite faktörünün tesbiti ancak mühendislik jeofiziği yöntemleriyle olması mühendislik jeofizinin önemini artırmaktadır.

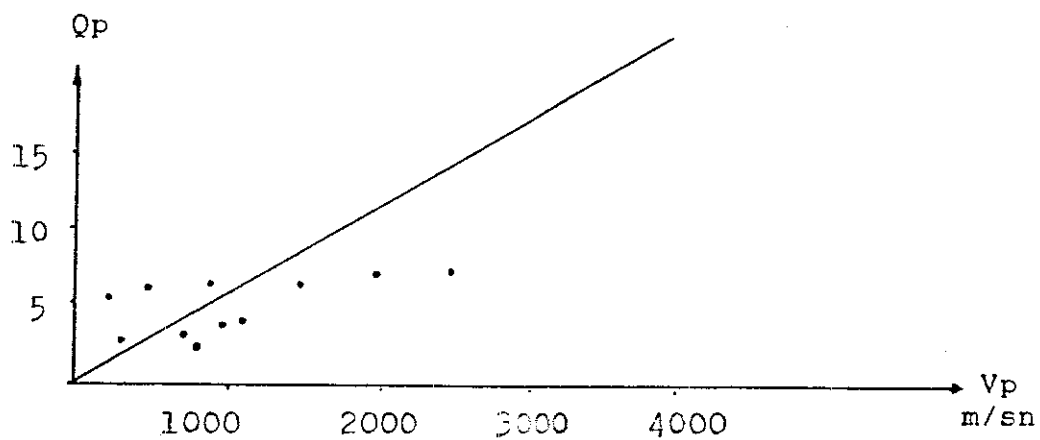
Q kalite faktörünün frekans ve sismik enerji sönmüne bağlı olması Q kalite faktörünün diğer elastik parametrelere göre daha duyarlı olduğunu gösterir. Bunun için uygulamada sismik boyuna (P) veya enine (S) kırılma kayıtlarından herhangi biri yardımıyla elde edilen Q kalite faktörü uygulamada kullanılabilir.

Mühendislik yapılarının projelerinde çok önemli olan bu parametreler deprem bölgelerinde hayatı önem tanır. Özellikle dinamik kayma modülü yalnız ortamın yoğunluğuna ve sismik enine dalga hızına bağlı olduğu için önemi daha büyütür. Depremlerde en büyük hasar yapan enine dalga yayılımındır. Bunun için bu çalışmada elde edilen sonuçlar arasında bir ilişki olup olmadığı tespit edilmeye çalışılmıştır ve Q_p-V_p , Q_s-V_s , Q_s-G , Q_s-E ve Q_p-Q_s parametrelerinin (şekil:7.51; şekil:7.52; şekil:7.53; şekil:7.54; şekil 7.55) 'de grafikleri çizilmiştir.

Tablo : 7.17

Tabakaların sisimik hızlarına bağlı olarak elastik parametrelerin değerini

Ortam K. Söbü	Tabaka (m/s)	V _p (m/s)	V _s (m/s)	n (m)	ρ (gr/cm ³)	Q _p	Q _s	G (kg/cm')	E (kg/cm')	q _s (kg/cm ²)	q _u (kg/cm ²)	S _i	T _o (s)
K. Söbü	1	660	440	0.24	1.72	-	-	32912	73251	0.1	0.75	1.14	0.0021
	2	1670	1335	6.24	1.93	3.8	2.9	343969	422941	-0.38	2.57	3.22	0.018
	3	4000	2667	50	2.4	29.6	13.2	1707093	3754990	0.09	6.40	9.6	0.07
Kam.Önü	1	333	230	2.2	1.66	2.6	1.5	8781	18332	0.044	0.38	0.55	0.5
	2	1140	800	50	1.82	4.3	3.8	116480	236421	0.015	1.45	2.07	0.25
Bağkur	1	250	165	50	1.66	5.9	3	4574	10115	0.23	0.27	0.41	0.41
Andezit	1	500	333	1.73	1.72	6.5	3.8	18851	41526	0.1	0.57	1.2	1.20
	2	1000	666	50	1.8	1	1.5	79840	175877	0.1	1.2	1.88	0.85
Su Sond.	1	750	8.5	1.75	3.09								0.02
	2	1000			3.7								1.8
1. Plk.Krc	1	860		2.1		1.77	1.5						0.29
	2	1500				1.9	6.36						
2. Plk.Krc	1	895		5.7		1.78	6.7						
	2	2500				2.1	7.2						
Andezit	1	780				1.73	2.4						
Söbü	1	2000				2.0	7.9						

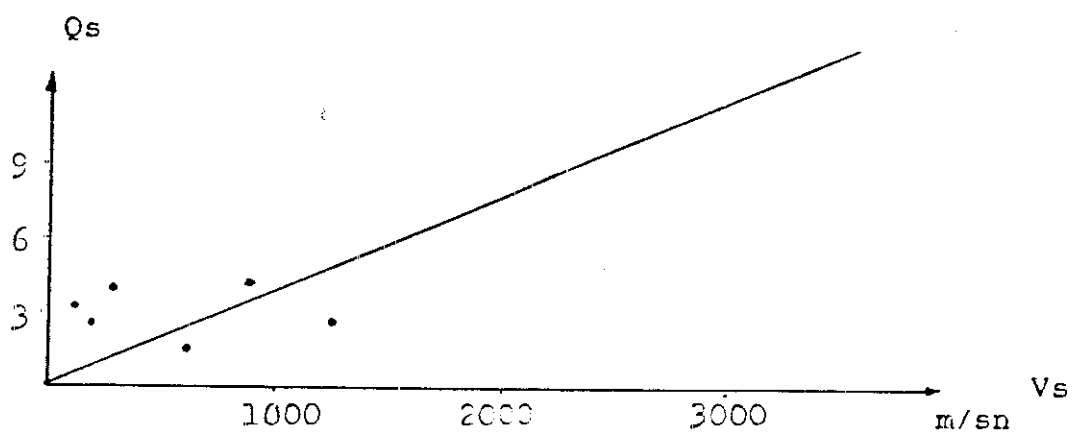


Şekil :7.51. (Tablo 7.18) 'e ait Qp-Vp grafiği.

Şekil 7.51'de görüldüğü gibi Q_p - V_p arasında lineer olarak değişen bir amprik bağıntı bulunmaktadır.

Bu empirik bağıntı;

$$Q_p = 0.0567 * V_p \text{ dir.} \quad (7.1)$$

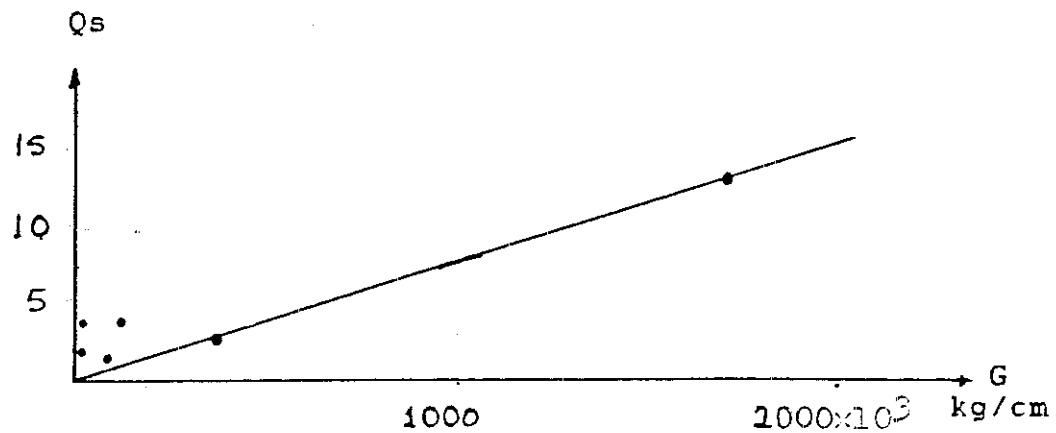


Şekil: 7.52. (Tablo 7.19) 'a ait Qs-Vs grafiği.

Şekil 7.52'de görüldüğü gibi regresyonlu enine dalga hızı ile Q_s arasında empirik bir bağıntı bulunmaktadır. Burada korelasyon katsayısı 0,96 dir.

Bu empirik bağıntı;

$$Q_s = 0.00388 * V_s \text{ dir.} \quad (7.2)$$



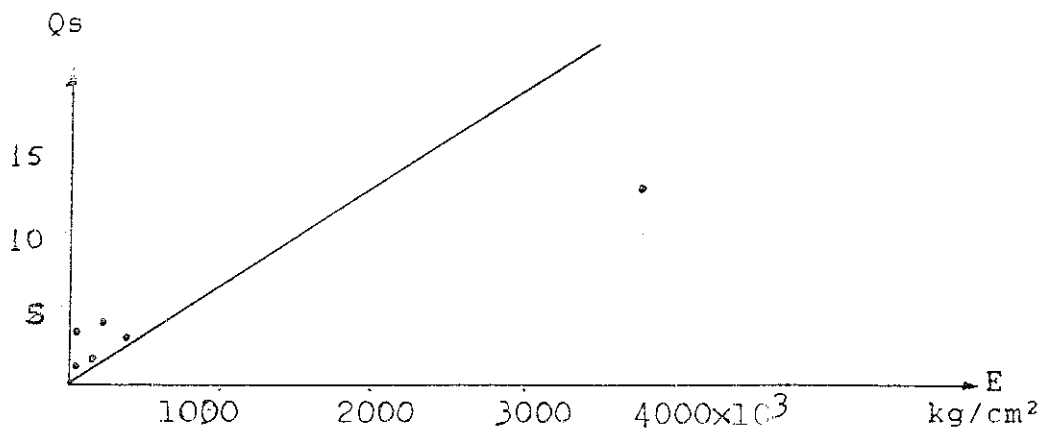
Şekil: 7.53. (Tablo 7.20) 'ye ait Qs-G grafiği.

Şekil 7.53 de görüldüğü gibi dinamik kayma modülü ile Q_s arasında empirik olarak $Q_s = 6.28 \times 10^{-6} G$ ilişkisi kurulmuştur. Burada regresyon katsayısı 0.98 bulunmuştur.

Şekil 7.52 ve 7.53 de regresyon katsayılarının bire yakın olması bu parametrelerin önemini artırmaktadır. Uygulamada dinamik kayma modülü ortamın yoğunluğuna ve sismik enine dalga hızına bağlıdır. Hayati bir önem taşıyan dinamik kayma modülünde ortamın enine dalga hızından hesaplanan Q_s kalite faktöründe kullanılabilir. Burada empirik olarak;

$$Q_s = 6.28 \times 10^{-6} G \text{ dir.} \quad (7.3)$$

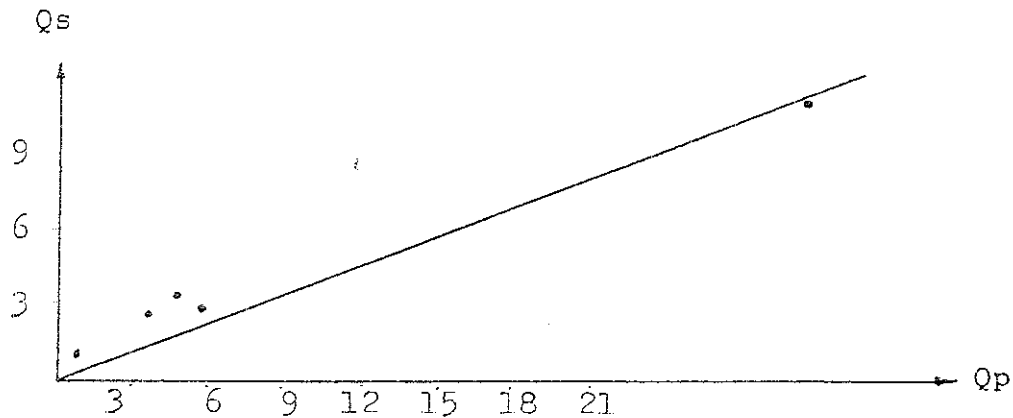
Dinamik kesme modülünün belirlenmesinde bu ifade daha sıhhatlı olabilir.



Şekil: 7.54. (Tablo 7.21) 'e ait Qs-E grafiği.

Burada zemin kalite faktörü Qs ile elastisite modülü E arasında empirik olarak;

$$Qs = 2.8 \times 10^{-6} * E \text{ ilişkisi bulunmuştur. } (7.4)$$



Şekil: 7.55. (Tablo 7.22) 'ye ait Qs-Qp grafiği.

Burada zemin kalite faktörü Qs ile Qp arasında empirik olarak;

$$Qs = 0.409 * Qp \text{ ilişkisi bulunmuştur. } (7.5)$$

Tablo : 7.18

V_P-Q_P Korelasyonu

TATAY EKI NIZ (m ² /er)	DÜZELÝ EKİ (Y)	RIDGE SYNTHETIC VERİ	
		Op	Y(1)
150,00	5,50	0,87	
313,00	2,60	0,54	
500,00	6,50	1,02	
750,00	3,10	1,46	
1000,00	2,40	3,33	
1500,00	1,50	3,46	
2000,00	0,70	4,14	
10.000,00	0,70	4,10	
15.000,00	0,70	4,80	
20.000,00	0,70	5,09	
25.000,00	0,80	7,64	
30.000,00	0,75	8,20	
35.000,00	1,5	10,47	
40.000,00	0,70	12,23	

DEĞİŞKENLERİN ETKİLLİ EKİ

ADRES : 37392224

FAX : 542 372-003

	X	Y
AРИТМЕТИК ОПТАЛАМА	125 + 43	4,80
STANDART SAHMA	100 + 63	0,31

KESİKLİ DEĞİŞKENLERİN KAT SAYISI

	X + Y
KESİKLİ DEĞİŞKENLERİN KAT SAYISI	117,72

Tablo :7.19
Vs-Qs Korelesyonu

YATAK ENİ		DÜSEY EKİ		REGRESYONLU VERİ
HİZ(m/s)		Qs		
(X)		(Y)		(I)
(X)	(Y)	(Y)	(I)	
166,00	3,04		0,97	
230,00	2,60		1,61	
333,00	3,80		1,86	
666,00	1,50		2,26	
800,00	3,80		2,55	
1335,00	2,90		4,07	
2667,00	12,20		6,15	

REGRESYON K. SARILARI

$$A_0 = -9594462$$

$$A_1 = 3.081536E+02$$

	X	Y
ARİTMETİK ORTALAMA	885,29	4,20
STANDART SİFMA	883,54	0,59

KORELASYON KATSAYISI

	X - Y
KORELASYON KATSAYISI	0,96

Tablo : 7.20
Qs-G Korelasyonu

YATAY EKİ G (kg/cm ²) (X)	DÜSEY EKİ REGRESYONLU VERİ	
	Qs (Y)	Qs Y (I)
4574	3	2.20
8781	2	2.23
16851	4	2.25
79840	2	2.31
116480	4	2.70
343565	3	2.93
1701053	1.5	4.02

REGRESYON İLE İLGİLİ AÇIKLAMALAR
HOM = 2.17426
A1 = 6.124347E-06

	X	Y
LAF I THE TIP OR TALANG	325655	4.01
L-E TALANG F. DARTA	620557	1.02

	X	Y
KORELASYON İLE YATAY EKİ	0.98	

Table : 7.21

Q_s-E Korelasyonu

YATAŞ EKİ		DÜSEY EKİ REGRESYONLU VERİ	
E (Fırmalar)	Q _s	Q _s	
(X)	(Y)	(Ȳ)	
101115	2,00	2,33	
153222	1,50	2,34	
413214	3,80	2,38	
378277	1,50	2,42	
201411	2,80	2,42	
411741	2,40	2,51	
1724100	17,20	21,54	

İşte bu verilerin doğrulanmış hali. Bu tabloda Q_s ve E'yi birbirine göre doğrulama yapılmıştır.

FİCİ İŞ EKİ KORELASYONU

Araç İ. SAYISI

Araç İ. SAYISI SAYEVEOLMA

İşte bu tabloda doğrulanmış hali. Bu tabloda Q_s ve E'yi birbirine göre doğrulama yapılmıştır.

İŞ EKİ İŞ EKİ KORELASYONU

İŞ EKİ İŞ EKİ KORELASYON KATSAYISI
1,95

İşte bu tabloda doğrulanmış hali. Bu tabloda Q_s ve E'yi birbirine göre doğrulama yapılmıştır.

İş EKİ İŞ EKİ KORELASYON KATSAYISI
1,95

İş EKİ İŞ EKİ KORELASYON KATSAYISI
1,95

İş EKİ İŞ EKİ KORELASYON KATSAYISI
1,95

İş EKİ İŞ EKİ KORELASYON KATSAYISI
1,95

İş EKİ İŞ EKİ KORELASYON KATSAYISI
1,95

İş EKİ İŞ EKİ KORELASYON KATSAYISI
1,95

İş EKİ İŞ EKİ KORELASYON KATSAYISI
1,95

İş EKİ İŞ EKİ KORELASYON KATSAYISI
1,95

İş EKİ İŞ EKİ KORELASYON KATSAYISI
1,95

İş EKİ İŞ EKİ KORELASYON KATSAYISI
1,95

İş EKİ İŞ EKİ KORELASYON KATSAYISI
1,95

İş EKİ İŞ EKİ KORELASYON KATSAYISI
1,95

İş EKİ İŞ EKİ KORELASYON KATSAYISI
1,95

İş EKİ İŞ EKİ KORELASYON KATSAYISI
1,95

İş EKİ İŞ EKİ KORELASYON KATSAYISI
1,95

İş EKİ İŞ EKİ KORELASYON KATSAYISI
1,95

İş EKİ İŞ EKİ KORELASYON KATSAYISI
1,95

İş EKİ İŞ EKİ KORELASYON KATSAYISI
1,95

İş EKİ İŞ EKİ KORELASYON KATSAYISI
1,95

İş EKİ İŞ EKİ KORELASYON KATSAYISI
1,95

İş EKİ İŞ EKİ KORELASYON KATSAYISI
1,95

İş EKİ İŞ EKİ KORELASYON KATSAYISI
1,95

İş EKİ İŞ EKİ KORELASYON KATSAYISI
1,95

İş EKİ İŞ EKİ KORELASYON KATSAYISI
1,95

İş EKİ İŞ EKİ KORELASYON KATSAYISI
1,95

İş EKİ İŞ EKİ KORELASYON KATSAYISI
1,95

Table :7.22
Q_s-Q_P Korelasyonu

YATAY EK		DİĞER EK		REGRESYONLU VERİ	
Q _P	Q _s	Q _s	Y (I)	Q _s	Y (I)
(X)	(Z)	(Z)	(Y)	(X)	(Y)
1.00	1.50	1.50	1.10	1.10	1.10
2.40	1.50	1.50	1.51	1.51	1.51
3.80	2.90	2.90	2.16	2.16	2.16
4.20	2.80	2.80	2.65	2.65	2.65
5.90	3.00	3.00	2.86	2.86	2.86
29.60	13.20	13.20	3.51	3.51	3.51

REGRESYON K. SAYILARI

$$\hat{A}_0 = 1.058268$$

$$\hat{A}_1 = .4091185$$

	X	Y
ARİTMETİK ORTALAMA	7.87	3.52
STANDART SİFMA	10.77	5.54

REGRESYON K. SAYILARI
 $\hat{A}_0 = 1.058268$
 $\hat{A}_1 = .4091185$

	X	Y
KORELASYON KATSAYISI	0.99	1

SONUÇ VE ÖNERİLER

Mühendislik jeofiziğinde yeni konulardan biri olan Q kalite faktörü sıg boyuna ve enine sismik kırılma (refraksiyon) kayıtlarından faydalananarak tesbit edilmiştir.

Çalışma yapılan tüm birimlerin sismik hızları (V_p, V_s), Q kalite faktörleri (Q_p, Q_s) Dinamik kesme modülü (G), Dinamik Elastisite modülü (E), zemin emniyet gerilmesi q_u , zemin taşıma gücü q_s , zeminin hakim titreşim peryodu (T_o) ve sismik aküstik empedans (S) tesbit edilmiştir.

Sonuç olarak:

1. Mühendislik jeolojisinde kayaçların Q kalite faktörü tesbit edilir. Mühendislik jeofiziği yardımıyla hem kayaçların hemde toprak zeminlerin kalite faktörü tesbit edilebilmiştir.

2. Mühendislik jeolojisi yöntemiyle hesaplanan Q kalite faktörünün maliyeti çok yüksektir ve çok zaman alıcıdır. Mühendislik jeofiziği yardımıyla hesaplanan Q kalite faktörünün maliyeti düşük ve pratik bir yöntemdir.

3. Mühendislik yapılarının inşasında önemli olan zeminlerin Q kalite faktörü mühendislik jeofiziği yöntemleriyle de tesbit edilebilir.

4. Zemin kalite faktörü Q_p ile boyuna sismik kırılma hızı V_p arasında lineer olarak değişen empirik bir bağıntı bulunmaktadır.

5. Zemin kalite faktörü Q_s ile enine sismik kırılma hızı V_s arasında $Q_s = 0.00388 * V_s$ gibi empirik olarak ifade edilen lineer bir ilişki vardır

6. Zemin kalite faktörü Q_s ile dinamik kesme modülü G arasında $Q_s = 6.28 * 10^{-6} * G$ ile ifade edilen empirik bir ilişki vardır.

7. Dinamik kesme modülünde ortamın yoğunluğu ve enine sismik hız önemli olduğu için burada zemin kalite faktörü kullanılabilir. Çünkü Q_s ortamın enine sismik hızına bağlıdır.

8. Zemin kalite faktörü Q_s ile elastisite modülü E arasında empirik olarak $Q_s = 2.8 \times 10^{-6} * E$ gibi bir ilişki vardır

9. Zemin kalite faktörü Q_p ile Q_s arasında empirik olarak $Q_s = 0.409 * Q_p$ gibi bir ilişki vardır.

10. Bu çalışma mühendislik jeolojisi yardımı ile hesaplanan Q kalite faktörü gibi sismik kırılma yöntemiyle hesaplanan Q_p - s kalite faktörünün kullanılabileceğini göstermiştir.

11. Q kalite faktörünün duyarlılığı nedeni ile (bir dalgı türü) sismik boyuna (P) veya enine (S) kırılma kaydından bulunarak kullanılabilir.

Bu özellikler nedeniyle sismik yöntemle tesbit edilen Q kalite faktörü çalışmalarımızda tercih nedeni olmalıdır.

KAYNAKLAR

- 1 Badri, M., ve Modney, H.N., 1987, Q measurements From Compressional Seismic Waves in Uncansolidated Sediments, Geophysics, V:52, no:6, p:772-784
- 2 Barton, N., Lien, R., and Lunde, J., 1974, Engineering Classification of Rock Masses for the Desing of Tunnel Support, Rock Mechanics, Vol: 6, no:4, pp:183-236. Springer Verlag.
- 3 Blair, D.P., and Spathis, A.T., 1984, Seismic Source Influence in Pulse Attenuation Studies. J. Geophys. Res., V:89: 9253-9258
- 4 Bolt, B.A., 1982, Inside the Earth Freeman, San Francisco.
- 5 Bracinaç, Z., and Janjic, M., 1978. Engineering Geological Maps of Seismic Regions. Bulletin of the International Association of Engineering Gedog, No:16, pp:27-32
- 6 Büyüksakıkoğlu, S., 1982, Sismoloji, ITU Maden Fakültesi, Jeofizik Mühendisliği, S:70, İstanbul
- 7 Deere, D.O., Merrit, A.H., Cording, E.S., 1974, Engineering Geology and Underground Structure proceeding of the 2. nd. Int. Cong. of the IAEG, São Paulo, Brazilia
- 8 Dobrin, M.B., 1982, Introduction to Geophysical Prospect
- 9 Geospace Report., 1986, Velocity Detectors for a Variety of Applications
- 10 Gladwin, M.I., and Stacey, P.D., 1974, Anelastic Dissipation of Acoustic Pulses in Rock, Phys. Earth Planet, Int., 8, 322-336
- 11 Hatherly, P. J., 1986, Attenuation Measurements on Shallow Seismic Refraction Data, Geophysics, Vol:51, no:2, p:250-254
- 12 Hizmetli, I., 1990, Mühendislik Jeofizigi Bitirme Tezi Akdeniz Üniversitesi, Isparta Müh. Fak., S:45 Isparta

- 13 Imai, T., and Yoshimura, M., 1976, The Relation of Mechanical Properties of Soils to P and S Wave Velocities for Soil Ground in Japan, Oyo Corporation
- 14 Jonston, D.H., Tosöz, N. M., ve Timur, A., 1979, Attenuation of Seismic Waves in Dry and Starutated Rocks, Geophysics, V:44,p:691-711
- 15 Jongmans, D.I., 1990, In-Situ Attenuation Measurament in Soils, Engineering Geology,no:29, p:99-118
- 16 Kamaci, Z.,1987, Kayacların Elastik Özelliklerinin Söñümle Tanınması, Doktora Semineri,1, A.U. Fen Bilimleri Enstitüsü, Isoarta
- 17 Kamaci, Z., 1991, Zemin Özelliklerinin Saptanmasında P-SV Dönüşmüs Sismik Dalgaların (Convertet Waves) Elde Edilmesi İcin Yeni Bir Yöntem, Doktora Tezi, S:322, Akdeniz Üniversitesi Fen Bilimleri Enstitüsü, Isparta
- 18 Kanai, K., 1983, Engineering Sismology, S:110, Tokyo
- 19 Karaman, M.E., ve Diğerleri, 1988, Cunur-Isoarta Dolaylarında Kretase-Tersiyer Geçisi, Akdeniz Üniversitesi, Isparta Muh. Fak. Dergisi, S:4, s:90-98, Isparta
- 20 Keceli, D.A., 1990, Sismik Yöntemlerle Müsaade Edilebilir Dinamik Zemin Taşıma Kapasitesi ve Oturmanın Saptanması, Jeofizik, Cilt:4, S:2, S:85-92
- 21 Mjartanson, F., 1979, Constant Q-Wave Propagation and Attenuation, J. Geophys Res., 84, 4737-4748
- 22 Mutluturk, M., 1989, Trabzon Erzurum Karayolu Kapıdağı 1 ve Kapıdağı 2 Tunel Güzergahları Mühendislik Jeolojisi ve Jeoteknik İncelemesi Doktora Tezi, S:256, A.U:Fen Bil.ENS.,Isparta
- 23 Newman, P.J., and Worthington, M.H., 1982, In-Situ investigation of Seismic Body Wave Attenuation in Heterogenous Media,Geophys, Prospect., no:377-400
- 24 Pracila-Seismos Report., 1986, Shear Wave Seismic, Pracila-Seismos Company, Germany
- 25 Tanif, P., and Bourbie, T., 1987, Experimental Comparison Between Soektral Ration and Rise -time Techniques for Attenuation Measurament, Geophys., Prospect., 35: 668-680

- 26 Trappe, H., 1988, Seismic Attenuation in the Vicinity
of geothermal anomaly at Urach Obtained From
Near-Vertical Refraction profiles, Geophysics
Properties, 36: 149-166
- 27 Turker, A.E., 1988, Zemin Taşıma Gücünün Sismik Yön-
temlerle Saptanması, Doktora Tezi, S:205, A.U
Fen Bil. Ens., Isparta

TEŞEKKÜR

Böyle bir konunun belirlenmesinde incelenip araştırılmasında yardımcılarını esirgemeyen ve yeni konulara yönlendirerek bir yüksek lisans tezi hazırlamama yardımcı olan değerli hocam sayın Prof. Dr. D Ali Keçeli'ye şükranlarımı ve saygılarımı sunmayı bir borç bilirim.

Tezimin hazırlanmasında her fedakarlığa katlanan ve bana rehberlik yapan hocam sayın Yrd. Doç. Dr. Züheyr Kamacı'ya çok teşekkür ederim.

Çalışmalarım sırasında yardımcı olan diğer arkadaşlarım Murat Çiftlikçi, Altay Erbulak, Hüseyin Çelik'e, iş arkadaşım Ayhan Baran'a, Recep Erciyaslıoğlu'na ve Bilgisayar çıktı düzenlemesini yapan Hizmet-Bim'e teşekkür ederim.

ÖZGEÇMİŞ

Burdur ili Akyayla köyünde 3 Mayıs 1968'de doğmuş. İlk öğrenimini Akyayla köyü ilkokulunda, orta öğrenimini Burdur Lisesi Orta bölümünde, lise öğrenimini Burdur Endüstri Meslek Lisesinde tamamlamıştır. 1984-1985 öğretim yılında İTÜ Maden Fakültesi Jeofizik Mühendisliği Bölümünü kazanmıştır Prof. Dr. Muzaffer SANVER yönetiminde "Aeromanyetik Haritaların Değerlendirilmesi" konusunda hazırladığı diploma tezi ile Haziran 1989 döneminde İTÜ Maden Fakültesi Jeofizik Mühendisliği bölümünden iyi derece ile jeofizik mühendisi ünvanı ile mezun olmuştur. 1989-1990 öğretim yılında İTÜ Fen Bilimleri Enstitüsü Uygulamalı Jeofizik Anabilim Dalında Yüksek Lisans kazanmasına rağmen özel nedenlerinden dolayı devam edememiştir. 1990-1991 öğretim yılında Akdeniz Üniversitesi Fen Bilimleri Enstitüsü Jeofizik Anabilim Dalında Prof. Dr. D. Ali KEÇELİ denetiminde yeniden yüksek lisansa başlamıştır. Şükrü ARI orta derecede ingilizce bilmektedir.